



การสะท้อนและการส่งผ่านจากรอยต่อรากเรียบของทวีป semi infinite media

REFLECTION AND TRANSMISSION FROM RANAR

BOUNDARY OF SEMI INFINITE MEDIA



นางสาวสุนิยา สารจีนพงษ์ รหัส 50364867

ห้องสาขาวิชาและวิชาเอก วันที่รับ.....	1.2.๗๙ ๒๕๕๖
เลขทะเบียน.....	๑๖๔๓๙๕๔๓
เลขเรียกห้องชั้น.....	๘๘
ภาควิชาที่ต้องการ	วิศวกรรมศาสตร์

๒๕๕๔

ปริญญาในพนธน์เป็นส่วนหนึ่งของการศึกษาหลักสูตรปริญญาวิศวกรรมศาสตรบัณฑิต

สาขาวิชาวิศวกรรมไฟฟ้า ภาควิชาวิศวกรรมไฟฟ้าและคอมพิวเตอร์

คณะวิศวกรรมศาสตร์ มหาวิทยาลัยแม่ข่าย

ปีการศึกษา 2554



## ใบรับรองปริญญาบัณฑิต

ชื่อหัวข้อโครงงาน	การสะท้อนและการส่งผ่านจากรออกต่อรำเรียนของศิลปะที่ไม่จำกัด
ผู้ดำเนินโครงการ	นางสาวสุนิมา สาตรจินพงษ์ รหัส 50364867
ที่ปรึกษาโครงงาน	ดร.ชัยรัตน์ พินทอง
สาขาวิชา	วิศวกรรมไฟฟ้า
ภาควิชา	วิศวกรรมไฟฟ้าและคอมพิวเตอร์
ปีการศึกษา	2554

คณะวิศวกรรมศาสตร์ มหาวิทยาลัยราชภัฏเชียงใหม่ อนุมัติให้ปริญญาบัณฑิตบันทึกเป็นส่วนหนึ่ง  
ของการศึกษาตามหลักสูตรวิศวกรรมศาสตรบัณฑิต สาขาวิศวกรรมไฟฟ้า

.....ที่ปรึกษาโครงงาน  
(ดร.ชัยรัตน์ พินทอง)

.....กรรมการ  
(ผู้ช่วยศาสตราจารย์ ดร.สุรเชษฐ์ กานต์ประชา)

.....กรรมการ  
(ผู้ช่วยศาสตราจารย์ ดร.อัครพันธ์ วงศ์กังແหม)

ชื่อหัวข้อโครงการ	การสะท้อนและการส่งผ่านจากการอยต่อรับเรียนของตัวกลางกึ่งไม่จำกัด
ผู้ดำเนินโครงการ	นางสาวสุนิญา สารจีนพงษ์ รหัส 50364867
ที่ปรึกษาโครงการ	ดร.ชัยรัตน์ พินทอง
สาขาวิชา	วิศวกรรมไฟฟ้า
ภาควิชา	วิศวกรรมไฟฟ้าและคอมพิวเตอร์
ปีการศึกษา	2554

---

### บทคัดย่อ

คุณลักษณะการสะท้อนและการส่งผ่านระหว่างตัวกลางที่ไม่มีการสูญเสีย บนรูปแบบแบบเรียนได้รับการเสนอขึ้น คลื่นแม่เหล็กไฟฟ้าตามของไว้ได้รับการพิจารณาให้ตกลงแบบตั้งจากกันโดยต่อแบบเรียนเรียนระหว่างสองตัวกลางที่ไม่มีการสูญเสียที่เพียงขยายออกไปไม่จำกัด โดยแต่ละตัวกลางมีคุณลักษณะของวัสดุที่แตกต่างกัน การสะท้อนและการส่งผ่านจะเกิดขึ้นซึ่งสัมประสิทธิ์สามารถหาได้โดยใช้เงื่อนไขของบทบาท สำหรับการโพลาไรซ์แบบบานานาและตั้งจากพบว่าสัมประสิทธิ์การสะท้อนและการส่งผ่าน จะเป็นพังก์ชันของพารามิเตอร์ปัจจุบันแต่ของตัวกลางทั้งสอง สัมประสิทธิ์การสะท้อนจะเพิ่มขึ้นเมื่อความไม่ต่อเนื่องของวัสดุสูงขึ้นในขณะที่สัมประสิทธิ์การส่งผ่านจะลดลง สำหรับการตกลงทำนุ่มนิยม เมื่อในของบทบาทแล้วความเข้ากันได้ของเฟสของคลื่นจะได้รับการบังคับเพื่อหาสัมประสิทธิ์การสะท้อน สัมประสิทธิ์การส่งผ่านมุมของการสะท้อน และมุมของการส่งผ่านของสนามคลื่น ผลลัพธ์ของการโพลาไรซ์ทั้งสองแบบภายในได้เงื่อนไขของตัวกลางที่ไม่มีการสูญเสียแสดงให้เห็นว่าเมื่อความไม่ต่อเนื่องระหว่างตัวกลางเพิ่มขึ้น ในขณะที่มุมตกลงคงที่ สัมประสิทธิ์การสะท้อนจะเพิ่มขึ้น ในขณะที่สัมประสิทธิ์การส่งผ่านจะลดลง การสะท้อนกลับหมุนจะเกิดขึ้นเมื่อคลื่นเพร่กระจากตัวกลางที่หนาแน่นมากกว่าไปยังตัวกลางที่หนาแน่นน้อยกว่า สำหรับการโพลาไรซ์ทั้งสองแบบมุมตกลงทำนุ่มนิยมตกลงสำหรับการสะท้อนกลับหมุน จะมีรูปแบบสูตรเดียวกันและขึ้นกับความสัมพันธ์ปัจจุบันแต่ของตัวกลาง มุมบริเวณที่คือมุมหนึ่งที่ซึ่งคลื่นสะท้อนสูญไป มุมบริเวณที่จะเกิดขึ้นก็ต่อเมื่อการโพลาไรซ์ของคลื่นเป็นแบบบานานาเท่านั้น การสะท้อนและการส่งผ่านสำหรับอยต่อเดียวได้รับการขยายไปยังตัวกลางที่มีหลายอยต่อ วิธีสองวิธีซึ่งได้แก่ การติดตามรังสีและความไม่ต่อเนื่องของอินพีเดนซ์ จะได้รับการใช้เพื่อหาสัมประสิทธิ์การสะท้อน สำหรับวิธีการติดตามรังสี การทำซ้ำสองครั้งสำหรับสนามคลื่นที่เคลื่อนที่ไปข้างหน้าและไปข้างหลังจะได้รับการพิจารณาเพื่อคำนวณ

## บทคัดย่อ (ต่อ)

เป็นสัมประสิทธิ์การสะท้อน วิธีคิดตามรังสีแสดงการขึ้นอยู่กับความตื่นของสัมประสิทธิ์ การสะท้อนที่สอดคล้องเป็นอย่างดีกับผลที่ได้จากวิธีความไม่ต่อเนื่องของอินพิเดนซ์ โปรแกรม แมทเดบิ ได้รับการพัฒนาขึ้นสำหรับตัวกลางที่ไม่มีการสูญเสียและสามารถขยายออกไปได้ สำหรับตัวกลางที่มีการสูญเสีย



**Project title** Reflection and Transmission from Planar Boundary  
of Semi Infinite Media

**Name** Miss Sunisa Sartgeenpong ID. 50364867

**Project advisor** Chairat Pinthong, Ph.D.

**Major** Electrical Engineering

**Department** Electrical and Computer Engineering

**Academic year** 2011

### Abstract

The characteristics of the reflection and transmission from planar boundary are proposed. Under consideration is the transverse electromagnetic wave normally incident to the planar interface formed by two semi-infinite lossless media, each of which having different characteristic of material. The reflection and transmission occur for which their coefficients can be derived by applying boundary condition. For parallel and perpendicular polarizations, the result shows that the reflection and transmission coefficients are function of the constitutive parameters of two media. The reflection coefficient is increased when the discontinuity of materials is higher, meanwhile the transmission coefficient is reduced. For oblique of incidence, boundary condition and phase-matching of wave fields are imposed to find the coefficients and the angle of reflection and transmission of wave fields. The results for both polarizations under the condition of losses media show that when the discontinuity of two media is increased, while the angle of incidence is fixed, reflection coefficient is increased whereas the transmission coefficient is decreased. The total reflection occurs when wave propagates from a more dense to a less dense medium. For both polarizations, the angle of incidence for total reflection takes same form of formula and depends on constitutive relation of media. Brewster angle is an angle of incidence such that the reflection wave vanishes. Brewster angle exists only if the polarization of the wave is parallel. Reflection and transmission for single interface are extended to media with multiple interfaces. Two methods, i.e., ray-tracing and discontinuity of impedance methods are used to find reflection coefficient. For the ray-tracing method, two iterations for forward and

## **Abstract (continue)**

ray-tracing and discontinuity of impedance methods are used to find reflection coefficient. For the ray-tracing method, two iterations for forward and backward progression wave fields are considered to account for reflection coefficient. The ray-tracing method shows the dependence of frequency on reflection coefficient owning good agreement with that from method of discontinuity of impedance. Matlab program is developed for lossless media and can be extended further to include lossy media.



## กิตติกรรมประกาศ

ปริญญา尼พนธ์ฉบับนี้เป็นการศึกษาเกี่ยวกับเรื่องการสะท้อนและการส่งผ่านชีวะไม่มีทางสำเร็จไปได้ถ้าไม่ได้รับการช่วยเหลือจากบุคคลดังต่อไปนี้

ขอขอบพระคุณ ดร.ชัยรัตน์ พินทอง อาจารย์ภาควิชาศึกษาฯ ไฟฟ้าและคอมพิวเตอร์ มหาวิทยาลัยนเรศวร ผู้เป็นอาจารย์ที่ปรึกษาโครงการที่ได้ให้ความรู้ ให้คำแนะนำ ให้ความกรุณาในการตรวจสอบปริญญา尼พนธ์ และให้ความช่วยเหลือแก่ผู้จัดทำเป็นอย่างดีตลอดมา

ขอขอบพระคุณ ผู้ช่วยศาสตราจารย์ ดร.อุรเชษฐ์ กานต์ประชา และผู้ช่วยศาสตราจารย์ ดร.อัครพันธ์ วงศ์กังแห อาจารย์ภาควิชาศึกษาฯ ไฟฟ้าและคอมพิวเตอร์ มหาวิทยาลัยนเรศวร ผู้เป็นกรรมการคุณสอบโครงการนี้ซึ่งเสียสละเวลาในการคุณสอบโครงการและให้คำแนะนำเป็นอย่างดี

ขอขอบพระคุณอาจารย์ทุกท่านที่ประสิทธิ์ประสาทวิชาความรู้ให้กับผู้จัดทำ

นอกจากนี้ยังต้องขอขอบพระคุณภาควิชาศึกษาฯ ไฟฟ้าและคอมพิวเตอร์ที่เอื้อเพื่อสถานที่ในการจัดทำโครงการ

และที่สำคัญที่สุดขอขอบพระคุณบิคานารดา ผู้นำความรักความเมตตา สติปัจ្ឞา รวมถึง เดียงคูและอบรมสั่งสอนแก่ผู้จัดทำจนทำให้ผู้จัดทำมีวันนี้ได้ ซึ่งเป็นพระคุณอันหาที่เบริ่งไม่ได้ รวมถึงขอขอบพระคุณทุกๆ คนในครอบครัวของผู้จัดทำที่กอบกันสนับสนุนและเป็นกำลังใจให้ผู้จัดทำ โครงการเป็นอย่างดี

ท้ายนี้ผู้จัดทำได้รับขอขอบพระคุณผู้ที่มีส่วนเกี่ยวข้องทุกท่านที่ไม่ได้กล่าวนามมา ณ ที่นี่ ที่มีส่วนร่วมในการให้ข้อมูลเป็นที่ปรึกษาในการทำปริญญา尼พนธ์ฉบับนี้ จึงขอขอบพระคุณไว้ ณ ที่นี่

นางสาวสุนิยา สารจีนพงษ์

# สารบัญ

หน้า

ใบรับรองปริญษานิพนธ์.....	ก
บทคัดย่อภาษาไทย.....	ข
บทคัดย่อภาษาอังกฤษ.....	ง
กิตติกรรมประกาศ.....	จ
สารบัญ.....	ช
สารบัญรูป.....	ฉ
บทที่ 1 บทนำ.....	1
1.1 ที่มาและความสำคัญของโครงการ.....	1
1.2 วัตถุประสงค์ของโครงการ .....	1
1.3 ขอบเขตของโครงการ .....	1
1.4 ขั้นตอนการดำเนินงาน.....	2
1.5 ประโยชน์ที่คาดว่าจะได้รับ.....	2
1.6 งบประมาณของโครงการ .....	2
บทที่ 2 ทฤษฎีและหลักการที่เกี่ยวข้อง.....	3
2.1 การตอกกระสอบตั้งจาก.....	3
2.2 การตอกกระสอบทำมุมเอียง.....	7
2.2.1 การโพลารைซ์แบบตั้งฉาก .....	7
2.2.2 การโพลารைซ์แบบบนนา.....	12
2.3 การส่งผ่านห้องหมกและนูมนิริสวัสดิ์ .....	15
2.3.1 การโพลารைซ์แบบตั้งฉาก .....	15
2.3.2 การโพลารைซ์แบบบนนา .....	16
2.4 การสะท้อนกลับหมกและนูมวิกฤติ .....	18
2.4.1 การโพลารைซ์แบบตั้งฉาก .....	18
2.4.2 การโพลารைซ์แบบบนนา .....	19
2.4.3 ความหนาแน่นพลังงาน ผลของค่าคงตัวไฟฟ้า และค่าคงตัวการลดทอน .....	20

## สารบัญ (ต่อ)

	หน้า
2.5 การสะท้อนและการส่งผ่านคดีในภายรอยต่อ .....	22
2.5.1 ความไม่ต่อเนื่องของอิมพีเดนซ์ .....	23
2.5.2 การติดตามรังสี .....	24
 บทที่ 3 ผลการวิเคราะห์การสะท้อนและการส่งผ่าน .....	 27
3.1 การตอกย้ำแบบตั้งฉาก .....	27
3.2 การโพลาร่าช์แบบตั้งฉาก .....	30
3.3 การโพลาร่าช์แบบบนnan .....	33
3.4 ผลของค่าคงตัวเฟส .....	36
3.5 ผลของค่าคงตัวการลดทอน .....	38
3.6 การสะท้อนและการส่งผ่านคดีในภายรอยต่อ .....	39
3.6.1 การสะท้อนโดยอาศัยความไม่ต่อเนื่องของอิมพีเดนซ์ .....	39
3.6.2 การสะท้อนโดยอาศัยการติดตามรังสี .....	41
 บทที่ 4 สรุปผลการวิเคราะห์และข้อเสนอแนะ .....	 44
4.1 สรุปผลการวิเคราะห์ .....	44
4.2 ข้อเสนอแนะ .....	44
 เอกสารอ้างอิง .....	 45
ภาคผนวก ก สัมประสิทธิ์การสะท้อนและการส่งผ่าน .....	46
ภาคผนวก ข การสะท้อนและการส่งผ่านคดีในภายรอยต่อ โดยอาศัยวิธีความไม่ต่อเนื่อง ของอิมพีเดนซ์ .....	50
ภาคผนวก ค การหาสัมประสิทธิ์การสะท้อนและการส่งผ่าน เมื่อคลื่นตอกย้ำแบบทำมุนอึบกับรอยต่อ .....	54
ภาคผนวก ง โปรแกรมวิเคราะห์สัมประสิทธิ์การสะท้อนและการส่งผ่าน .....	61
 ประวัติผู้ดำเนินโครงการ.....	 75

## สารบัญรูป

รูปที่	หน้า
2.1 คลื่นสะท้อนและคลื่นส่งผ่านเมื่อคลื่นต่อกลับตั้งฉากอยู่ต่อของตัวกล่างสองชนิด.....	4
2.2 คลื่นระนาบสมม่าเสมอเมื่อมีการ โพลาไรซ์แบบตั้งฉากเดินทางทำมุนเอียงมาต่อกลับรอขต่อ .....	8
2.3 คลื่นระนาบสมม่าเสมอเมื่อมีการ โพลาไรซ์แบบบนนาเดินทางทำมุนเอียงมาต่อกลับรอขต่อ .....	12
2.4 ระนาบเฟสและนาคองที่ในกรณีที่มุนต่อกลับมีค่าเท่ากับมุนวิกฤติ.....	21
2.5 ระนาบเฟสและนาคองที่ในกรณีที่มุนต่อกลับมีค่ามากกว่ามุนวิกฤติ.....	22
2.6 สัมประสิทธิ์การสะท้อนที่เกิดขึ้นจากความไม่ต่อเนื่องของอินพีเดนซ์ .....	24
2.7 สัมประสิทธิ์การสะท้อนและการส่งผ่านที่เกิดขึ้นจากการติดตามรังสี .....	26
3.1 คลื่นสะท้อนและคลื่นส่งผ่านเมื่อคลื่นต่อกลับตั้งฉากอยู่ต่อของตัวกล่างสองชนิด.....	28
3.2 สัมประสิทธิ์การสะท้อนและการส่งผ่านของคลื่นที่ต่อกลับรอขต่อในลักษณะตั้งฉาก.....	29
3.3 คลื่นระนาบสมม่าเสมอเมื่อมีการ โพลาไรซ์ตั้งฉากเดินทางทำมุนเอียงมาต่อกลับรอขต่อ .....	30
3.4 ขนาดของสัมประสิทธิ์การสะท้อน $\Gamma_{\perp}^b$ เป็นพังก์ชันของมุนต่อกลับ .....	31
3.5 ขนาดของสัมประสิทธิ์การส่งผ่าน $T_{\perp}^b$ เป็นพังก์ชันของมุนต่อกลับ .....	32
3.6 คลื่นระนาบสมม่าเสมอเมื่อมีการ โพลาไรซ์แบบบนนาเดินทางทำมุนเอียงมาต่อกลับรอขต่อ .....	33
3.7 ขนาดของสัมประสิทธิ์การสะท้อน $\Gamma_{\parallel}^b$ เป็นพังก์ชันของมุนต่อกลับ .....	34
3.8 ขนาดของสัมประสิทธิ์การส่งผ่าน $T_{\parallel}^b$ เป็นพังก์ชันของมุนต่อกลับ .....	35
3.9 ผลของค่าคงตัวเฟส ต่อสถานีไฟฟ้า .....	37
3.10 ผลของค่าคงตัวการลดทอน.....	38
3.11 โครงสร้างฐานตัวกล่าง สองรอยต่อพร้อมคลื่นมาตรฐานจากค้าน้ำชา .....	40
3.12 ขนาดสัมประสิทธิ์การสะท้อน ณ อินพุท กับพังก์ชันของความถี่.....	41
3.13 ขนาดสัมประสิทธิ์การสะท้อน ณ อินพุท กับพังก์ชันของความถี่.....	42
3.14 ขนาดสัมประสิทธิ์การสะท้อนจากวิธีความไม่ต่อเนื่องของอินพีเดนซ์ .....	43

## บทที่ 1

### บทนำ

#### 1.1 ที่มาและความสำคัญของโครงการ

ปรากฏการณ์การสะท้อนและการส่งผ่านเป็นปรากฏการณ์ที่เกิดขึ้น เมื่อคลื่นแม่เหล็กไฟฟ้า เดินทางผ่านตัวกลางที่มีคุณลักษณะทางไฟฟ้า หรือแม่เหล็กไม่ต่อเนื่อง ปรากฏการณ์นี้สามารถพบเห็นได้ทั้งในธรรมชาติ เช่น ในชั้นบรรยากาศ บนพื้นผิวโลก และในระบบสื่อสาร เช่น ในสายนำสัญญาณ เกเบิลไยแก้ว และตัวกรองต่างๆ

โครงการนี้นำเสน�建การวิเคราะห์การสะท้อนและการส่งผ่านโดยอาศัยทฤษฎีคลื่นแม่เหล็กไฟฟ้า โดยสมมติให้ตัวกลางมีรูปต่อตัวลักษณะเรียบ และเพ่งหมายออกไปในจำกัดผลลัพธ์ที่ได้ทำให้ทราบถึงคุณลักษณะและพารามิเตอร์ต่างๆ รวมถึงสามารถประยุกต์ในสภาวะกรณีจริงได้

#### 1.2 วัตถุประสงค์ของโครงการ

- ศึกษาทฤษฎีคลื่นแม่เหล็กไฟฟ้าทั่วไป
- ศึกษาการเพริ่งกระจายคลื่น
- ศึกษาและวิเคราะห์การสะท้อนและการส่งผ่านของคลื่นแม่เหล็กไฟฟ้า

#### 1.3 ขอบเขตของโครงการ

- ศึกษาและวิเคราะห์คุณลักษณะของการสะท้อนและการส่งผ่านในตัวกลางที่มีพื้นผิวเรียบ
- ศึกษาและพัฒนาโปรแกรม MATLAB ที่ใช้ในการวิเคราะห์การสะท้อนและการส่งผ่าน
- การเพริ่งกระจายคลื่นที่มีโคลาไฟเซ็นเชิงเส้น

## 1.4 ขั้นตอนการดำเนินงาน

กิจกรรม	ปี 2553		ปี 2554		ปี 2555		ปี 2556	
	มิ.ย.- ก.ย.	ต.ค.- ธ.ค.	ม.ค.- ก.พ.	มี.ค.- ธ.ค.	ม.ค.- ส.ค.	ก.บ.- ธ.ค.	ม.ค.- ก.พ.	
1. ศึกษาทฤษฎีคลื่นแม่เหล็กไฟฟ้า ทั่วไป	↔							
2. ศึกษาหลักการพื้นฐานและ วิเคราะห์คุณลักษณะของ การสะท้อนและการส่งผ่าน		↔						
3. ศึกษาและพัฒนาโปรแกรม MATLAB ที่ใช้ในการวิเคราะห์ การสะท้อนและการส่งผ่าน			↔	↔				
4. รวบรวมข้อมูลที่ได้จากการ วิเคราะห์การสะท้อนและการ ส่งผ่าน					↔	↔		
5. สรุปคุณสมบัติและคุณลักษณะ ของ การสะท้อนและการส่งผ่าน						↔	↔	

## 1.5 ประโยชน์ที่คาดว่าจะได้รับ

- เข้าใจคุณสมบัติและคุณลักษณะของการสะท้อนและการส่งผ่าน
- สามารถนำความรู้ทางคณิตศาสตร์ มาประยุกต์ใช้กับการวิเคราะห์การสะท้อน  
และการส่งผ่าน ได้
- ได้โปรแกรม MATLAB สำหรับวิเคราะห์การสะท้อนและการส่งผ่าน

## 1.6 งบประมาณของโครงการ

- ค่าเอกสารในการค้นคว้าทำโครงการและค่าเข้าเล่นโครงการ 700 บาท
- ค่าวัสดุคอมพิวเตอร์ 300 บาท

รวม (หนึ่งพันบาทถ้วน) 1,000 บาท  
หมายเหตุ (ถัวเฉลี่ยทุกรายการ)

## บทที่ 2

### ทฤษฎีและหลักการที่เกี่ยวข้อง

ในบทนี้จะกล่าวถึงการสะท้อนและการส่งผ่านของคลื่นระหว่างตัวกลางที่ไม่มีการสูญเสีย ร้อยละ 0% ระหว่างกันมีลักษณะราบเรียบ ในลำดับแรกคลื่นจะได้รับการทำหน้าที่ให้ตัดกระแทบอยู่ต่อในลักษณะตั้งฉาก จากนั้นจะพิจารณาการตัดกระแทบทามมุมเอียงกับรอยต่อ ซึ่งแยกการศึกษาเป็นสองกรณีคือ คลื่นตัดกระแทบที่มีการโพลาไรซ์แบบตั้งฉากและที่มีการโพลาไรซ์แบบขนาน รายละเอียดแสดงได้ดังต่อไปนี้

#### 2.1 การตัดกระแทบทั่งฉาก (Normal Incidence)

พิจารณาบริเวณสองบริเวณ บริเวณที่หนึ่งอยู่ทางด้านซ้ายของรอยต่อ (interface) และมีค่าความชื้นชานได้และค่าสภาพยอนเท่ากับ  $\mu_1$  และ  $\epsilon_1$  ตามลำดับ และบริเวณที่สองอยู่ทางด้านขวาของรอยต่อ และมีค่าความชื้นชานได้และค่าสภาพยอนเท่ากับ  $\mu_2$  และ  $\epsilon_2$  ตามลำดับ ดังแสดงในรูปที่ 2.1 รอยต่อ มีลักษณะราบเรียบและแผ่นบางออกไปในทำกัด

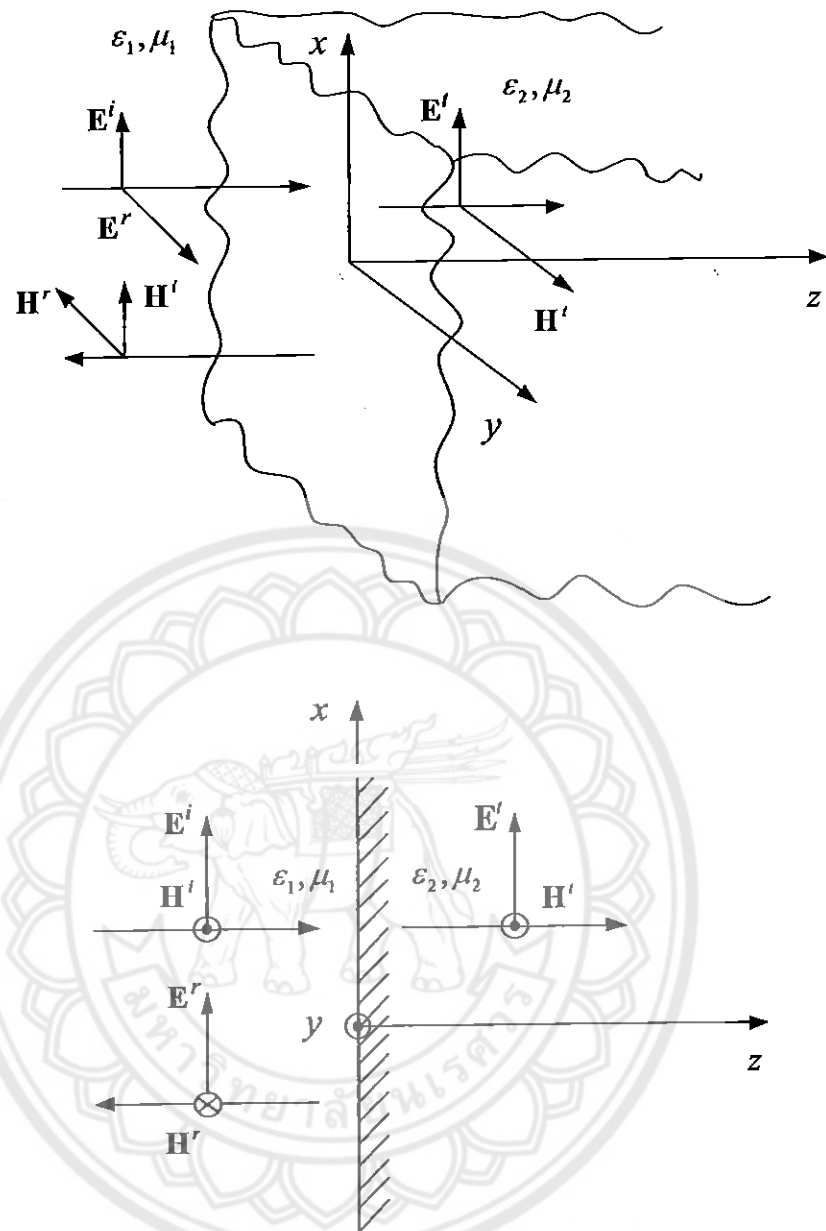
กำหนดให้สนามไฟฟ้าอยู่ในทิศทางของ  $x$  มีขนาดเป็น  $E_0$  เนื่องจากรอยต่อ มีลักษณะราบเรียบสนามไฟฟ้าสะท้อนและสนามส่งผ่านเจิงนิองค์ประกอบแห่งเดียวกันกับสนามตัดกระแทบ และมีโพลาไรซ์แบบเชิงเดิน สนามทั้งสองนี้จะได้รับการสมมติให้มีทางเดียวกันกับสนามตัดกระแทบ สนามไฟฟ้าเชิงօวากาศ (spatial electric field) ของคลื่นตัดกระแทบ คลื่นสะท้อน และคลื่นส่งผ่าน สามารถเขียนเป็นสมการได้เป็น

$$\mathbf{E}^I = \hat{\mathbf{a}}_x E_0 e^{-j\beta_1 z} \quad (2.1)$$

$$\mathbf{E}^R = \hat{\mathbf{a}}_x \Gamma^b E_0 e^{+j\beta_1 z} \quad (2.2)$$

$$\mathbf{E}' = \hat{\mathbf{a}}_x T^b E_0 e^{-j\beta_2 z} \quad (2.3)$$

เมื่อ  $\Gamma^b$  และ  $T^b$  คือสัมประสิทธิ์การสะท้อน (reflection coefficient) และสัมประสิทธิ์การส่งผ่าน คลื่น (reflection coefficient) ณ รอยต่อระหว่างตัวกลางทั้งสอง ตามลำดับ  $\omega$  คือความเร็วเชิงนุ่นของคลื่น และ  $\beta_1$  คือค่าคงที่วัสดุสำหรับตัวกลางที่หนึ่ง  $\beta_2$  คือค่าคงที่วัสดุสำหรับตัวกลางที่สอง



รูปที่ 2.1 คลื่นสะท้อนและคลื่นส่งผ่านเมื่อคลื่นตกกระทบตั้งฉากรอยต่อของตัวกลางสองชนิด

สนามแม่เหล็กเชิงวากาศ ที่สอดคล้องกับสนามไฟฟ้า สามารถหาได้จากสมการแม่กล้าวลดรูปเวลา ชาร์มอนิก (time-harmonic Maxwell's equation) ข้างล่างนี้

$$\nabla \times \mathbf{E} = -j\omega\mu\mathbf{H} \quad (2.4)$$

เมื่อแทนสนามไฟฟ้าตามส่วนต่างๆตามสมการ ทำให้ได้ สนามแม่เหล็กในแต่ละองค์ประกอบเป็น

$$\mathbf{H}^i = \hat{\mathbf{a}}_y \frac{E_0}{\eta_1} e^{-j\beta_1 z} \quad (2.5)$$

$$\mathbf{H}' = -\hat{\mathbf{a}}_y \frac{\Gamma^b E_0}{\eta_1} e^{+j\beta_1 z} \quad (2.6)$$

$$\mathbf{H}' = \hat{\mathbf{a}}_y \frac{T^b E_0}{\eta_2} e^{-j\beta_2 z} \quad (2.7)$$

เมื่อ  $\eta_1$  และ  $\eta_2$  เป็นอินเพดนซ์อินทริบิก ของตัวกลางที่หนึ่งและตัวกลางที่สอง ตามลำดับ สัมประสิทธิ์การสะท้อนและสัมประสิทธิ์การส่งผ่านสามารถหาได้โดยการบังคับความต่อเนื่องของ สนามไฟฟ้า  $E$  และสนามแม่เหล็ก  $H$  ในแนวสัมผัสนับรอยต่อ ซึ่งองค์ประกอบเหล่านี้แสดงได้ ตามสมการ (2.1) และ (2.3) เมื่อบังคับความต่อเนื่องที่ร้อยต่อ ณ  $z = 0$  ดังที่แสดงใน ภาคผนวก (ก) ข้างหลังให้ได้สองสมการข้างล่างนี้

$$1 + \Gamma^b = T^b \quad (2.8)$$

$$\frac{1}{\eta_1} (1 - \Gamma^b) = \frac{1}{\eta_2} T^b \quad (2.9)$$

แก้สมการ (2.8) และ (2.9) ได้

$$\Gamma^b = \frac{\eta_2 - \eta_1}{\eta_2 + \eta_1} = \frac{E'}{E^i} = -\frac{H'}{H^i} \quad (2.10)$$

$$T^b = \frac{2\eta_2}{\eta_1 + \eta_2} = 1 + \Gamma^b = \frac{E'}{E^i} = \frac{\eta_2}{\eta_1} \frac{H'}{H^i} \quad (2.11)$$

จะเห็นได้ว่า สำหรับการคัดกระบนแนวตั้งกลาง พารามิเตอร์ทั้ง  $\Gamma^b$  และ  $T^b$  มีค่าขึ้นอยู่กับ คุณสมบัติประจำตัวของตัวกลางทั้งสอง และจะไม่มีการปรากฏของคลื่นสะท้อน  $\Gamma^b = 0$  เมื่อ  $\eta_2 = \eta_1$

สมการ (2.10) และ (2.11) เป็นสัมประสิทธิ์การสะท้อน สัมประสิทธิ์การส่งผ่าน ณ รอยต่อของตัวกลาง ถ้าพิจารณา ณ ตำแหน่งใดที่ห่างจากรอยต่อ ค่าเหล่านี้สามารถหาได้โดย การหาอัตราส่วนของสนามที่คำนวณนั้น ดังนี้

$$\Gamma(z = -\ell_1) = \frac{E^r(z)}{E^i(z)} \Big|_{z=-\ell_1} = \frac{\Gamma^b E_0 e^{+j\beta_1 z}}{E_0 e^{-j\beta_1 z}} \Big|_{z=-\ell_1} = \Gamma^b e^{-j2\beta_1 \ell_1} \quad (2.12)$$

$$T \left( \begin{matrix} z_2 = \ell_2, \\ z_1 = \ell_1 \end{matrix} \right) = \frac{E^t(z)}{E^i(z)} \Big|_{z_2=\ell_2, z_1=\ell_1} = \frac{T^b E_0 e^{-j\beta_2 \ell_2}}{E_0 e^{+j\beta_1 \ell_1}} = T^b e^{-j(\beta_2 \ell_2 + \beta_1 \ell_1)} \quad (2.13)$$

โดยที่  $\ell_1$  และ  $\ell_2$  เป็นระยะทางจากรอยต่อที่ 1 ไปยังรอยต่อที่ 2

สามารถไฟฟ้าและสนามแม่เหล็กสมการ (2.1) ถึง (2.3) และ (2.5) ถึง (2.7) สามารถดำเนินการคำนวณหาความหนาแน่นพลังงานเฉลี่ยของคลื่นในส่วนต่างๆที่สอดคล้องกัน ซึ่งมีค่าดังนี้

$$S_{av}^i = \frac{1}{2} \operatorname{Re}(\mathbf{E}^i \times \mathbf{H}^{i*}) = \hat{\mathbf{a}}_z \frac{|E_0|^2}{2\eta_1} \quad (2.14)$$

$$S_{av}^r = \frac{1}{2} \operatorname{Re}(\mathbf{E}^r \times \mathbf{H}^{r*}) = -\hat{\mathbf{a}}_z |\Gamma^b|^2 \frac{|E_0|^2}{2\eta_1} = -\hat{\mathbf{a}}_z |\Gamma^b|^2 S_{av}^i \quad (2.15)$$

$$S_{av}' = \frac{1}{2} \operatorname{Re}(\mathbf{E}' \times \mathbf{H}'^*) = \hat{\mathbf{a}}_z |\Gamma^b|^2 \frac{|E_0|^2}{2\eta_2} = \hat{\mathbf{a}}_z |T^b|^2 \frac{\eta_1}{\eta_2} \frac{|E_0|^2}{2\eta_1} \quad (2.16a)$$

$$= \hat{\mathbf{a}}_z |T^b|^2 \frac{\eta_1}{\eta_2} S_{av}^i = \hat{\mathbf{a}}_z \left( 1 - |\Gamma^b|^2 \right) S_{av}^i \quad (2.16b)$$

ในตัวกลางที่หนึ่ง สนามไฟฟ้ารวมและสนามแม่เหล็กรวมเป็นผลรวมของสนามที่ตัดกรายบวกกับสนามที่สะท้อนจากการอยต่อ นั่นคือ

$$\mathbf{E}^1 = \mathbf{E}^i + \mathbf{E}^r = \hat{\mathbf{a}}_x E_0 e^{-j\beta_1 z} (1 + \Gamma^b e^{+2j\beta_1 z}) = \hat{\mathbf{a}}_x E_0 e^{-j\beta_1 z} [1 + \Gamma(z)] \quad (2.17)$$

$$\mathbf{H}^1 = \mathbf{H}^i + \mathbf{H}^r = \hat{\mathbf{a}}_y (E_0 / \eta_1) e^{-j\beta_1 z} (1 - \Gamma^b e^{+2j\beta_1 z}) = \hat{\mathbf{a}}_y \frac{E_0}{\eta_1} e^{-j\beta_1 z} [1 - \Gamma(z)] \quad (2.18)$$

ปริมาณคลื่นสะท้อนที่เกิดขึ้นในตัวกลางที่หนึ่ง สามารถบ่งโดยใช้อัตราส่วนคลื่นนึง (standing wave ratio: SWR) ซึ่งเป็นอัตราส่วนระหว่างค่าสูงสุดต่ำสุดของสนามไฟฟ้า นั่นคือ

$$\text{SWR} = \frac{|\mathbf{E}^1|_{\max}}{|\mathbf{E}^1|_{\min}} = \frac{1 + |\Gamma^b|}{1 - |\Gamma^b|} = \frac{1 + \left| \frac{\eta_2 - \eta_1}{\eta_2 + \eta_1} \right|}{1 - \left| \frac{\eta_2 - \eta_1}{\eta_2 + \eta_1} \right|} \quad (2.19)$$

ถ้ากำหนดค่าความชันซึ่งได้ของตัวกลางทั้งสองให้มีค่าเท่ากัน  $\mu_1 = \mu_2$  พารามิเตอร์ SWR จะกลายเป็น

$$\text{SWR} = \frac{\left| \sqrt{\epsilon_1} + \sqrt{\epsilon_2} \right| + \left| \sqrt{\epsilon_1} - \sqrt{\epsilon_2} \right|}{\left| \sqrt{\epsilon_1} + \sqrt{\epsilon_2} \right| - \left| \sqrt{\epsilon_1} - \sqrt{\epsilon_2} \right|} = \begin{cases} \sqrt{\frac{\epsilon_1}{\epsilon_2}} & \epsilon_1 > \epsilon_2 \\ \sqrt{\frac{\epsilon_2}{\epsilon_1}} & \epsilon_1 < \epsilon_2 \end{cases} \quad (2.20)$$

## 2.2 การตอกกระแทบทามมุมเอียง (Oblique Incidence)

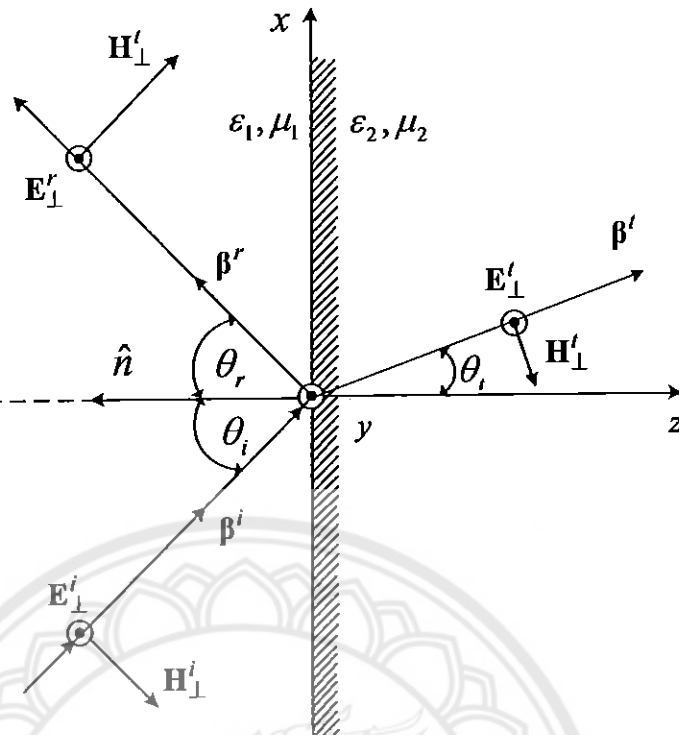
เพื่อที่จะวิเคราะห์การสะท้อนคลื่นและการส่งผ่านคลื่น เมื่อคลื่นเดินทางมาตอกกระแทบทามมุมเอียงกับรอยต่อระหว่างตัวกลางทั้งสอง จำเป็นต้องนิยามระนาบของการตอกกระแทบเสียก่อน ระนาบตอกกระแทบ หมายถึง ระนาบที่ทอตัวตามเวกเตอร์หนึ่งหน่วยที่ตั้งฉากกับรอยต่อ และเวกเตอร์ในทิศทางของคลื่นตอกกระแทบ

เพื่อความสะดวกการวิเคราะห์การสะท้อนและการส่งผ่านที่มุมเอียงใดๆ ที่ทำกับรอยต่อจะแยกพิจารณาเป็นสองกรณีคือ กรณีสนาณไฟฟ้ามีทิศตั้งฉากกับระนาบตอกกระแทบ และกรณีที่สนาณไฟฟ้ามีทิศขนานกับระนาบของการตอกกระแทบ โดยวิเคราะห์แต่ละส่วนแยกกัน สนาณรวมของคลื่นที่สะท้อนและคลื่นที่ส่งผ่าน จะเป็นผลรวมของคลื่นทั้งส่วนที่ตั้งฉาก และส่วนที่ขนานกับระนาบของการตอกกระแทบ

สนาณไฟฟ้าซึ่งมีทิศทางตั้งฉากกับระนาบของการตอกกระแทบจะได้รับการเรียกว่าสนาณมีการโพลาไรซ์แบบตั้งฉาก (perpendicular polarization) หรือเรียกอีกอย่างหนึ่งว่าการโพลาไรซ์แนวอน (horizontal polarization) ในทางกลับกันคลื่นจะเป็นการโพลาไรซ์แบบขนาน (parallel polarization) หรือการโพลาไรซ์แนวตั้ง (vertical polarization) เมื่อสนาณไฟฟ้ามีทิศทางขนานกับระนาบของการตอกกระแทบ

### 2.2.1 การโพลาไรซ์แบบตั้งฉาก

กรณีสนาณไฟฟ้าอยู่ในทิศทางตั้งฉากกับระนาบของการตอกกระแทบ สมมติให้สนาณไฟฟ้าของคลื่นระนาบสมมุติ เต็มไปด้วย ตอกกระแทบนร้อยต่อที่เป็นระนาบระหว่างตัวกลางทั้งสอง โดยที่คลื่นทำมุมเอียงกับแนวตั้งฉากกับรอยต่อ ดังแสดงในรูปที่ 2.2



รูปที่ 2.2 กลั่นระนาบสมำเสมอṁการ โพลारൈზ์แบบตั้งฉากเดินทางทำมุṁເ旇ນາຕກກະທບຮອບຕ່ອ

ສນານໄພັ້ນແລະສນາມແມ່ເຫຼືກທີ່ເດີນທາງນາຕກກະທບແສດງໄດ້ດັ່ງສນາກາ

$$\mathbf{E}_{\perp}^i = \hat{a}_y E_{\perp}^i e^{-j\beta^i \cdot \mathbf{r}} = \hat{a}_y E_0 e^{-j\beta_1(x \sin \theta_i + z \cos \theta_i)} \quad (2.21)$$

$$\mathbf{H}_{\perp}^i = (-\hat{a}_x \cos \theta_i + \hat{a}_z \sin \theta_i) \mathbf{H}_{\perp}^i e^{-j\beta^i \cdot \mathbf{r}} \quad (2.22a)$$

$$= (-\hat{a}_x \cos \theta_i + \hat{a}_z \sin \theta_i) \frac{E_0}{\eta_1} e^{-j\beta_1(x \sin \theta_i + z \cos \theta_i)} \quad (2.22b)$$

ເມື່ອ

$$\mathbf{E}_{\perp}^i = E_0 \quad (2.23)$$

$$\mathbf{H}_{\perp}^i = \frac{\mathbf{E}_{\perp}^i}{\eta_1} = \frac{\mathbf{E}_0}{\eta_1} \quad (2.24)$$

ເນື່ອງຈາກຮອຍຕ່ອມລັກຢະຮາບເຮັບສນານໄພັ້ນຕກກະທບບັງຄົງໄພລາໄຣ໌ເຄີມໄວ້ທໍາໄຫ້ສນານໄພັ້ນ  
ຂອງກຳລິ່ນຕກກະທບນີ້ຄ່າເປັນ

$$\mathbf{E}_{\perp}^r = \hat{a}_y E_{\perp}^r e^{-j\beta^r \cdot \mathbf{r}} = \hat{a}_y \Gamma_{\perp}^b E_0 e^{-j\beta_1(x \sin \theta_r - z \cos \theta_r)} \quad (2.25)$$

$$\mathbf{H}'_{\perp} = (\hat{\mathbf{a}}_x \cos \theta_r + \hat{\mathbf{a}}_z \sin \theta_r) H'_{\perp} e^{-j\beta' r} \quad (2.26a)$$

$$= (\hat{\mathbf{a}}_x \cos \theta_r + \hat{\mathbf{a}}_z \sin \theta_r) \frac{\Gamma_{\perp}^b E_0}{\eta_1} e^{-j\beta_1(x \sin \theta_r - z \cos \theta_r)} \quad (2.26b)$$

เมื่อ

$$E'_{\perp} = \Gamma_{\perp}^b E^i = \Gamma_{\perp}^b E_0 \quad (2.27)$$

$$H'_{\perp} = \frac{E'_{\perp}}{\eta_1} = \frac{\Gamma_{\perp}^b E_0}{\eta_1} \quad (2.28)$$

ส่วนประกอบของคลื่นที่เดินทางเข้าไปยังตัวกลางที่สองแสดงได้ดังนี้

$$\mathbf{E}'_{\perp} = \hat{\mathbf{a}}_y E'_{\perp} e^{-j\beta' r} = \hat{\mathbf{a}}_y T_{\perp}^b E_0 e^{-j\beta_2(x \sin \theta_i + z \cos \theta_i)} \quad (2.29)$$

$$\mathbf{H}'_{\perp} = (-\hat{\mathbf{a}}_x \cos \theta_i + \hat{\mathbf{a}}_z \sin \theta_i) H'_{\perp} e^{-j\beta' r} \quad (2.30a)$$

$$= (-\hat{\mathbf{a}}_x \cos \theta_i + \hat{\mathbf{a}}_z \sin \theta_i) \frac{T_{\perp}^b E_0}{\eta_2} e^{-j\beta_2(x \sin \theta_i + z \cos \theta_i)} \quad (2.30b)$$

เมื่อ

$$E'_{\perp} = T_{\perp}^b E^i_{\perp} = T_{\perp}^b E_0 \quad (2.31)$$

$$H'_{\perp} = \frac{E'_{\perp}}{\eta_2} = \frac{T_{\perp}^b E_0}{\eta_2} \quad (2.32)$$

สมการที่ 2.31 และ 2.32 แสดงถึงความสัมพันธ์ระหว่าง  
มุม  $\theta_i$  และมุมสะท้อน  $\theta_r$  และมุมส่งผ่าน  $\theta_i$  สามารถหาได้โดยอาศัยเงื่อนไขของเบต้าความ  
ต่อเนื่องของสนามไฟฟ้าและสนามแม่เหล็กดังนี้

$$\left( \mathbf{E}_{\perp}^i + \mathbf{E}'_{\perp} \right)_{z=0} = \left( \mathbf{E}'_{\perp} \right)_{z=0} \quad (2.33)$$

$$\left( \mathbf{H}_{\perp}^i + \mathbf{H}'_{\perp} \right)_{z=0} = \left( \mathbf{H}'_{\perp} \right)_{z=0} \quad (2.34)$$

เมื่อแทนค่าส่วนต่างๆของสนามไฟฟ้าและสนามแม่เหล็กลงในสมการ (2.34) และ (2.35) จะได้

$$e^{-j\beta_1 x \sin \theta_i} + \Gamma_{\perp}^b e^{-j\beta_1 x \sin \theta_r} = T_{\perp}^b e^{-j\beta_2 x \sin \theta_i} \quad (2.35)$$

$$\frac{1}{\eta_1} \left( -\cos \theta_i e^{-j\beta_1 x \sin \theta_i} + \Gamma_{\perp}^b \cos \theta_r e^{-j\beta_1 x \sin \theta_r} \right) = -\frac{T_{\perp}^b}{\eta_2} \cos \theta_i e^{-j\beta_2 x \sin \theta_i} \quad (2.36)$$

จะเห็นได้ว่า (2.35) และ (2.36) สองสมการนี้มีตัวแปรที่ไม่ทราบค่าอยู่สี่ตัว ( $\Gamma_1^b, T_1^b, \theta_r$ , และ  $\theta_i$ ) เนื่องจากสมการทั้งสองเป็นสมการเชิงช้อน เมื่อจำแนกส่วนที่เป็นค่าจริง และส่วนที่เป็นจินตภาพ จะทำให้มีทั้งหมดสี่สมการ (2.31) ถึง (2.36)

$$\theta_r = \theta_i \quad (\text{Snell's law of reflection}) \quad (2.37)$$

$$\beta_1 \sin \theta_i = \beta_2 \sin \theta_r \quad (\text{Snell's law of refraction}) \quad (2.38)$$

สมการ (2.37) และ (2.38) มีชื่อเรียกว่ากฎการสะท้อนของสเนลล์ และกฎการหักเหของสเนลล์ ตามลำดับ

เมื่อแทนกฎของสเนลล์ลงในสมการเงื่อนไขขوبเดต (2.33) และ (2.34) จะได้ ความสัมพันธ์ดังต่อไปนี้

$$1 + \Gamma_1^b = T_1^b \quad (2.39)$$

$$\frac{\cos \theta_i}{\eta_1} (-1 + \Gamma_1^b) = -\frac{\cos \theta_r}{\eta_2} T_1^b \quad (2.40)$$

เมื่อแก้สมการ (2.39), (2.40) เพื่อหา  $\Gamma_1^b$  และ  $T_1^b$  จะได้ผลลัพธ์ดังนี้

$$\Gamma_1^b = \frac{E_1^r}{E_1^i} = \frac{\eta_2 \cos \theta_i - \eta_1 \cos \theta_r}{\eta_2 \cos \theta_i + \eta_1 \cos \theta_r} = \frac{\sqrt{\frac{\mu_2}{\varepsilon_2}} \cos \theta_i - \sqrt{\frac{\mu_1}{\varepsilon_1}} \cos \theta_r}{\sqrt{\frac{\mu_2}{\varepsilon_2}} \cos \theta_i + \sqrt{\frac{\mu_1}{\varepsilon_1}} \cos \theta_r} \quad (2.41)$$

$$T_1^b = \frac{E_1^i}{E_1^r} = \frac{2\eta_2 \cos \theta_i}{\eta_2 \cos \theta_i + \eta_1 \cos \theta_r} = \frac{2\sqrt{\frac{\mu_2}{\varepsilon_2}} \cos \theta_i}{\sqrt{\frac{\mu_2}{\varepsilon_2}} \cos \theta_i + \sqrt{\frac{\mu_1}{\varepsilon_1}} \cos \theta_r} \quad (2.42)$$

$\Gamma_1^b$  ใน (2.41) และ  $T_1^b$  ใน (2.42) เรียกว่าสัมประสิทธิ์การสะท้อนและสัมประสิทธิ์การส่งผ่าน ของเฟรสเนลของคลื่นโพลาไรซ์แบบตั้งฉากตามลำดับ

โดยปกติได้อิเล็กตริกทั่วๆ ไป (ยกเว้นสารเฟอร์โรแมกเนติก) จะมีค่า  $\mu_1 \approx \mu_2 \approx \mu_0$  ดังนั้น สัมประสิทธิ์การสะท้อนและสัมประสิทธิ์การส่งผ่านของเฟรสเนลจะกล้ายเป็น

$$\left. \Gamma_1^b \right|_{\mu_1=\mu_2} = \frac{\cos \theta_i - \sqrt{\frac{\varepsilon_2}{\varepsilon_1}} \sqrt{1 - \left( \frac{\varepsilon_1}{\varepsilon_2} \right) \sin^2 \theta_i}}{\cos \theta_i + \sqrt{\frac{\varepsilon_2}{\varepsilon_1}} \sqrt{1 - \left( \frac{\varepsilon_1}{\varepsilon_2} \right) \sin^2 \theta_i}} \quad (2.43)$$

$$\left. T_1^b \right|_{\mu_1=\mu_2} = \frac{2 \cos \theta_i}{\cos \theta_i + \sqrt{\frac{\varepsilon_2}{\varepsilon_1}} \sqrt{1 - \left( \frac{\varepsilon_1}{\varepsilon_2} \right) \sin^2 \theta_i}} \quad (2.44)$$

ในกรณีที่  $\varepsilon_1 / \varepsilon_2$  มีค่าน้อยกว่าหนึ่ง ทั้ง  $\Gamma_1^b$  และ  $T_1^b$  ต่างก็เป็นค่าจริงที่  $\Gamma_1^b$  มีค่าเป็นลบ และ  $T_1^b$  มีค่าเป็นบวก ที่ทุกค่ามุมตကุกระบวนการ ดังนั้นเพสของ  $\Gamma_1^b$  จะเป็น 180 องศา ส่วนเพสของ  $T_1^b$  จะเป็นศูนย์ เมื่อ  $\varepsilon_1 / \varepsilon_2$  มีค่าเท่ากับหนึ่ง สัมประสิทธิ์การสะท้อนจะมีค่าเป็นศูนย์ สัมประสิทธิ์การส่งผ่านจะมีค่าเป็นหนึ่ง

เมื่อ  $\varepsilon_1 / \varepsilon_2$  มีค่านากกว่าหนึ่งทั้ง  $\Gamma_1^b$  และ  $T_1^b$  จะเป็นค่าจริงที่มุม  $\theta_i$  ต่างๆ จนกระทั่งเมื่อ  $\theta_i$  เท่ากับ  $\theta_c$  หลังจากนั้นจะมีค่าเป็นเชิงซ้อน จะเรียกมุม  $\theta_i$  ที่ทำให้  $\left. \Gamma_1^b \right|_{\varepsilon_1 / \varepsilon_2 < 1} (\theta_i = \theta_c) = 1$  ว่ามุมวิกฤติ ซึ่งมุมนี้แสดงเงื่อนไขของการสะท้อนกลับหมดของคลื่นเมื่อมาตကุกระบวนการต่อระหว่างตัวกลางสองชนิด

ในตัวกลางที่ ๑ สนามไฟฟ้ารวมจะเป็น

$$\mathbf{E}_\perp^1 = \mathbf{E}_\perp^i + \mathbf{E}_\perp' = \hat{\mathbf{a}}_y E_0 e^{-j\beta_l(x \sin \theta_i + z \cos \theta_i)} [1 + \Gamma_\perp^b e^{+j2\beta_l z \cos \theta_i}] \quad (2.45a)$$

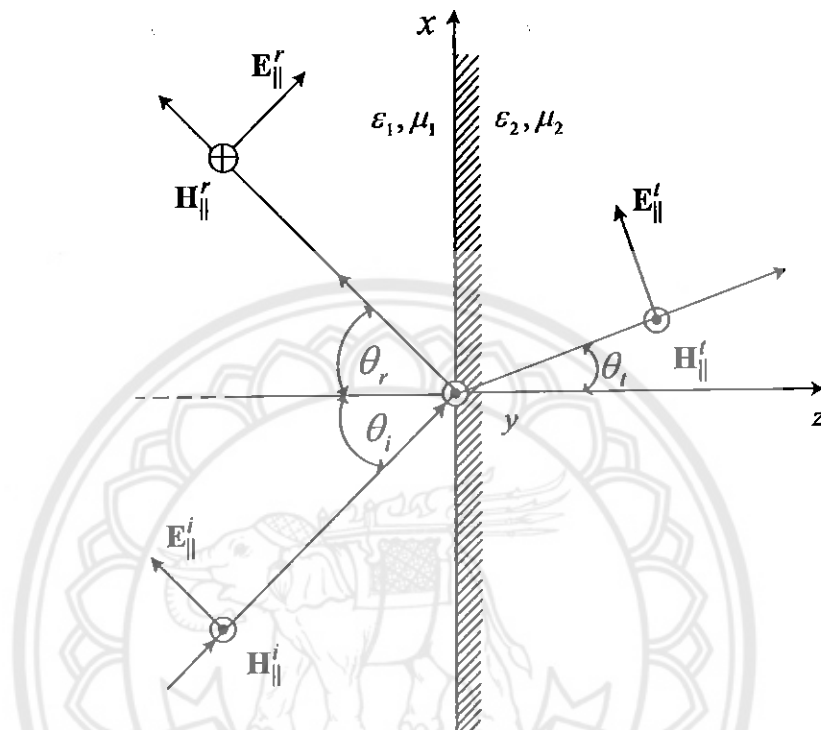
$$= \hat{\mathbf{a}}_y e^{-j\beta_l(x \sin \theta_i + z \cos \theta_i)} [1 + \Gamma_\perp^b(z)] \quad (2.45b)$$

เมื่อ

$$\Gamma_\perp(z) = \Gamma_\perp^b e^{+j2\beta_l z \cos \theta_i} \quad (2.46)$$

## 2.2.2 การโพลาไรซ์แบบบานาน

พิจารณาคลื่นรั้นนานสม่ำเสมอที่มีโพลาไรเซชันแบบบานานเดินทางทำมุนอีียงต่อตัวกัน ระหว่างตัวกลาง ดังแสดงในรูปที่ 2.3



รูปที่ 2.3 คลื่นรั้นนานสม่ำเสมอ มีการโพลาไรซ์แบบบานานเดินทางทำมุนอีียง มาต่อตัวกัน ระหว่างตัวกลาง

เมื่อแยกองค์ประกอบของสนามจะได้สนามไฟฟ้าต่อตัวกัน และสนามแม่เหล็กต่อตัวกัน ดังสมการต่อไปนี้

$$\mathbf{E}_{\parallel}^i = (\hat{\mathbf{a}}_x \cos \theta_i - \hat{\mathbf{a}}_z \sin \theta_i) E_0 e^{-j\beta_i \cdot \mathbf{r}} \quad (2.47a)$$

$$= (\hat{\mathbf{a}}_x \cos \theta_i - \hat{\mathbf{a}}_z \sin \theta_i) E_0 e^{-j\beta_i (x \sin \theta_i + z \cos \theta_i)} \quad (2.47b)$$

และ

$$\mathbf{H}_{\parallel}^i = \hat{\mathbf{a}}_y H_{\parallel}^i e^{-j\beta_i \cdot \mathbf{r}} = \hat{\mathbf{a}}_y \frac{E_0}{\eta_1} e^{-j\beta_i (x \sin \theta_i + z \cos \theta_i)} \quad (2.48)$$

เมื่อ

$$E_{\parallel}^i = E_0 \quad (2.49)$$

$$H_{\parallel}^i = \frac{E_{\parallel}^i}{\eta_1} = \frac{E_0}{\eta_1} \quad (2.50)$$

สำหรับองค์ประกอบของสนามสะท้อนจะเป็น

$$\mathbf{E}_{\parallel}^r = (\hat{\mathbf{a}}_x \cos \theta_r + \hat{\mathbf{a}}_z \sin \theta_r) E_{\parallel}^r e^{-j\beta_r^i \cdot \mathbf{r}} \quad (2.51a)$$

$$= (\hat{\mathbf{a}}_x \cos \theta_r + \hat{\mathbf{a}}_z \sin \theta_r) \Gamma_{\parallel}^b E_0 e^{-j\beta_1(x \sin \theta_r - z \cos \theta_r)} \quad (2.51b)$$

และ

$$\mathbf{H}_{\parallel}^r = -\hat{\mathbf{a}}_y H_{\parallel}^r e^{-j\beta_r^i \cdot \mathbf{r}} = -\hat{\mathbf{a}}_y \frac{\Gamma_{\parallel}^b E_0}{\eta_1} e^{-j\beta_1(x \sin \theta_r - z \cos \theta_r)} \quad (2.52)$$

เมื่อ

$$E_{\parallel}^r = \Gamma_{\parallel}^b E^i = \Gamma_{\parallel}^b E_0 \quad (2.53)$$

$$H_{\parallel}^r = \frac{E_{\parallel}^r}{\eta_1} = \frac{\Gamma_{\parallel}^b E_0}{\eta_1} \quad (2.54)$$

และองค์ประกอบของสนามที่ส่งผ่านไปในตัวกลางที่สองจะแสดงได้ดังนี้

$$\mathbf{E}_{\parallel}^t = (\hat{\mathbf{a}}_x \cos \theta_t - \hat{\mathbf{a}}_z \sin \theta_t) E_{\parallel}^t e^{-j\beta_t^i \cdot \mathbf{r}} \quad (2.55a)$$

$$= (\hat{\mathbf{a}}_x \cos \theta_t - \hat{\mathbf{a}}_z \sin \theta_t) T_{\parallel}^b E_0 e^{-j\beta_2(x \sin \theta_t + z \cos \theta_t)} \quad (2.55b)$$

และ

$$\mathbf{H}_{\parallel}^t = \hat{\mathbf{a}}_y H_{\parallel}^t e^{-j\beta_t^i \cdot \mathbf{r}} = \hat{\mathbf{a}}_y \frac{T_{\parallel}^b E_0}{\eta_2} e^{-j\beta_2(x \sin \theta_t + z \cos \theta_t)} \quad (2.56)$$

เมื่อ

$$E_{\parallel}^t = T_{\parallel}^b E^i = T_{\parallel}^b E_0 \quad (2.57)$$

$$H_{\parallel}^t = \frac{E_{\parallel}^t}{\eta_2} = \frac{T_{\parallel}^b E_0}{\eta_2} \quad (2.58)$$

เช่นเดียวกับกรณีการโพลาไรซ์แบบตั้งฉาก จะเห็นว่าสมการ มีตัวแปรที่ไม่ทราบค่าอยู่สี่ตัว ( $\Gamma_{\parallel}^b, T_{\parallel}^b, \theta_r$  และ  $\theta_t$ ) ตัวแปรเหล่านี้สามารถหาค่าได้โดยอาศัยเงื่อนไขข้อมูลและความต่อเนื่องของสนามไฟฟ้าและสนามแม่เหล็กในแนวสัมผัส สมการ (2.47a) ถึง (2.56) จะ Roychowdhury ให้ได้

$$\cos \theta_r e^{-j\beta_1 x \sin \theta_r} + \Gamma_{\parallel}^b \cos \theta_r e^{-j\beta_1 x \sin \theta_r} = T_{\parallel}^b \cos \theta_t e^{-j\beta_2 x \sin \theta_t} \quad (2.59)$$

$$\frac{1}{\eta_1} (e^{-j\beta_1 x \sin \theta_r} - \Gamma_{\parallel}^b e^{-j\beta_1 x \sin \theta_r}) = \frac{1}{\eta_2} T_{\parallel}^b e^{-j\beta_2 x \sin \theta_t} \quad (2.60)$$

เมื่อกระจายสมการออกเป็นสมการของพจน์ค่าจริง และสมการของพจน์ค่าจินตภาพ แล้วแก้สมการหาค่าตอบของสมการทั้งสี่แล้วจะได้ผลลัพธ์ดังต่อไปนี้

$$\theta_r = \theta_i \quad (\text{Snell's law of reflection}) \quad (2.61)$$

$$\beta_1 \sin \theta_i = \beta_2 \sin \theta_r \quad (\text{Snell's law of refraction}) \quad (2.62)$$

$$\Gamma_{\parallel}^b = \frac{-\eta_1 \cos \theta_i + \eta_2 \cos \theta_r}{\eta_1 \cos \theta_i + \eta_2 \cos \theta_r} = \frac{-\sqrt{\frac{\mu_1}{\varepsilon_1}} \cos \theta_i + \sqrt{\frac{\mu_2}{\varepsilon_2}} \cos \theta_r}{\sqrt{\frac{\mu_1}{\varepsilon_1}} \cos \theta_i + \sqrt{\frac{\mu_2}{\varepsilon_2}} \cos \theta_r} \quad (2.63)$$

$$T_{\parallel}^b = \frac{2\eta_2 \cos \theta_r}{\eta_1 \cos \theta_i + \eta_2 \cos \theta_r} = \frac{2\sqrt{\frac{\mu_2}{\varepsilon_2}} \cos \theta_r}{\sqrt{\frac{\mu_1}{\varepsilon_1}} \cos \theta_i + \sqrt{\frac{\mu_2}{\varepsilon_2}} \cos \theta_r} \quad (2.64)$$

$\Gamma_{\parallel}^b$  และ  $T_{\parallel}^b$  คือสัมประสิทธิ์การสะท้อนเพรสนเนลของคลื่นระนาบและสัมประสิทธิ์การส่งผ่านของเพรสนเนลของคลื่นระนาบ ตามลำดับ พารามิเตอร์เหล่านี้เป็นพิพารณ์ของ อนุคตกรรมบท อนุส่งผ่าน และคุณสมบัติของตัวกลางทั้งสอง

ในกรณีที่ไม่ได้เป็นสารแม่เหล็ก สัมประสิทธิ์การสะท้อนและสัมประสิทธิ์การส่งผ่านจะมีค่าเป็น

$$\Gamma_{\parallel}^b = \frac{-\cos \theta_i + \sqrt{\frac{\varepsilon_1}{\varepsilon_2}} \sqrt{1 - \left(\frac{\varepsilon_1}{\varepsilon_2}\right) \sin^2 \theta_i}}{\cos \theta_i + \sqrt{\frac{\varepsilon_1}{\varepsilon_2}} \sqrt{1 - \left(\frac{\varepsilon_1}{\varepsilon_2}\right) \sin^2 \theta_i}} \quad (2.65)$$

$$T_{\parallel}^b = \frac{2\sqrt{\frac{\varepsilon_1}{\varepsilon_2}} \cos \theta_r}{\cos \theta_i + \sqrt{\frac{\varepsilon_1}{\varepsilon_2}} \sqrt{1 - \left(\frac{\varepsilon_1}{\varepsilon_2}\right) \sin^2 \theta_i}} \quad (2.66)$$

สนามไฟฟ้ารวมเป็นผลรวมของสนามไฟฟ้าตกรรมบทและสนามไฟฟ้าสะท้อน กล่าวคือ

$$\mathbf{E}_{\parallel}^1 = \mathbf{E}_{\parallel}^i + \mathbf{E}_{\parallel}' = \hat{\mathbf{a}}_x \cos \theta_i E_0 e^{-j\beta_i(x \sin \theta_i + z \cos \theta_i)} \left[ 1 + \Gamma_{\parallel}^b e^{+j2\beta_i z \cos \theta_i} \right] \\ - \hat{\mathbf{a}}_z \sin \theta_i E_0 e^{-j\beta_i(x \sin \theta_i + z \cos \theta_i)} \left[ 1 - \Gamma_{\parallel}^b e^{+j2\beta_i z \cos \theta_i} \right] \quad (2.67)$$

$$\mathbf{E}_{\parallel}^l = \mathbf{E}_x^l + \mathbf{E}_z^l = \hat{\mathbf{a}}_x \cos \theta_i E_0 e^{-j\beta_l(x \sin \theta_i + z \cos \theta_i)} [1 + \Gamma_{\parallel}(z)] - \hat{\mathbf{a}}_z \sin \theta_i E_0 e^{-j\beta_l(x \sin \theta_i + z \cos \theta_i)} [1 - \Gamma_{\parallel}(z)] \quad (2.68)$$

โดยที่

$$\Gamma_{\parallel}(z) = \Gamma_{\parallel}^b e^{+j2\beta_l z \cos \theta_i} \quad (2.69)$$

### 2.3 การส่งผ่านทั้งหมดและมุมบริเวณเดอร์

เป็นที่ทราบแล้วว่า สัมประสิทธิ์การสะท้อนและสัมประสิทธิ์การส่งผ่านคลื่นจะเขียนอยู่กับ  
มุมทางระหบและคุณสมบัติของตัวกลาง ในหัวข้อนี้จะพิจารณาเงื่อนไขที่ทำให้สัมประสิทธิ์  
การสะท้อนมีค่าเป็นศูนย์ นั่นคือคลื่นทั้งหมดส่งผ่านไปยังตัวกลางที่สองทั้งหมด โดยจะแยกเป็น  
สองกรณีคือการโพลาไรซ์แบบตั้งฉาก และแบบนอน นี่รายละเอียดค้างนี้

#### 2.3.1 การโพลาไรซ์แบบตั้งฉาก

ในกรณีเมื่อให้  $\Gamma_{\parallel}^b$  เท่ากับศูนย์ สมการสามารถเขียนได้เป็น

$$\Gamma_{\parallel}^b = \frac{\sqrt{\frac{\mu_2}{\varepsilon_2}} \cos \theta_i - \sqrt{\frac{\mu_1}{\varepsilon_1}} \cos \theta_i}{\sqrt{\frac{\mu_2}{\varepsilon_2}} \cos \theta_i + \sqrt{\frac{\mu_1}{\varepsilon_1}} \cos \theta_i} = 0 \quad (2.70)$$

สมการ จะมีค่าเป็นศูนย์เมื่อตัวเศษมีค่าเป็นศูนย์ซึ่งผลให้ได้

$$\cos \theta_i = \sqrt{\frac{\mu_1}{\mu_2} \left( \frac{\varepsilon_2}{\varepsilon_1} \right)} \cos \theta_i \quad (2.71)$$

เมื่อใช้ความสัมพันธ์ของกฎการหักเหของสเนลล์ แทนลงในสมการ (2.71) จากนั้นยกกำลังสอง  
จะได้

$$(1 - \sin^2 \theta_i) = \frac{\mu_1}{\mu_2} \left( \frac{\varepsilon_2}{\varepsilon_1} \right) (1 - \sin^2 \theta_i) \quad (2.72)$$

และ

$$(1 - \sin^2 \theta_i) = \frac{\mu_1}{\mu_2} \left( \frac{\varepsilon_2}{\varepsilon_1} \right) (1 - \sin^2 \theta_i) \left( 1 - \frac{\mu_1}{\mu_2} \left( \frac{\varepsilon_2}{\varepsilon_1} \right) (\sin^2 \theta_i) \right) \quad (2.73)$$

หรือ

$$\sin \theta_i = \sqrt{\frac{\varepsilon_2 - \mu_2}{\varepsilon_1 - \mu_1}} \quad (2.74)$$

$$\sqrt{\frac{\mu_1 - \mu_2}{\mu_2 - \mu_1}}$$

เมื่อจากนั้น ต่อไปนี้เป็นจำนวนจริง ค่า  $\sin \theta_i$  จึงมีค่าน้อยกว่าหรือเท่ากับหนึ่ง ซึ่งจะเกิดขึ้นได้ เมื่อ

$$\frac{\varepsilon_2 - \mu_2}{\varepsilon_1 - \mu_1} \leq \frac{\mu_1 - \mu_2}{\mu_2 - \mu_1} \quad (2.75)$$

หรือ

$$\frac{\varepsilon_2}{\varepsilon_1} \leq \frac{\mu_2}{\mu_1} \quad (2.76)$$

ถ้า  $\mu_1$  มีค่าเท่ากับ  $\mu_2$  สมการ (2.76) จะกลายเป็น

$$\sin \theta_i \Big|_{\mu_1 = \mu_2} \rightarrow \infty \quad (2.77)$$

ซึ่งหมายความว่า สำหรับคลื่นที่มีโพลาไรซ์แบบตั้งฉาก ถ้า  $\mu_1$  มีค่าเท่ากับ  $\mu_2$  แล้ว จะไม่มีเงื่อนไขที่ทำให้เกิดการส่งผ่านໄດ້ทั้งหมด

### 2.3.2 การโพลาไรซ์แบบบานาน

พิจารณาสัมประสิทธิ์การสะท้อนของคลื่นที่มีการโพลาไรซ์บานานกับระนาบของการตกกระทบมีค่า เป็นศูนย์ กล่าวคือ

$$\Gamma_{||}^b = \frac{-\sqrt{\frac{\mu_1}{\varepsilon_1}} \cos \theta_i + \sqrt{\frac{\mu_2}{\varepsilon_2}} \cos \theta_i}{\sqrt{\frac{\mu_1}{\varepsilon_1}} \cos \theta_i + \sqrt{\frac{\mu_2}{\varepsilon_2}} \cos \theta_i} = 0 \quad (2.78)$$

ซึ่งจะทำให้ได้ความสัมพันธ์

$$\cos \theta_i = \sqrt{\frac{\mu_2}{\mu_1} \left( \frac{\varepsilon_1}{\varepsilon_2} \right)} \cos \theta_i \quad (2.79)$$

เมื่อใช้ความสัมพันธ์ของกฎการหักเหของสเนล์ จะได้ว่า

$$(1 - \sin^2 \theta_i) = \frac{\mu_2}{\mu_1} \left( \frac{\varepsilon_1}{\varepsilon_2} \right) (1 - \sin^2 \theta_i) \quad (2.80)$$

และ

$$(1 - \sin^2 \theta_i) = \frac{\mu_2}{\mu_1} \left( \frac{\varepsilon_1}{\varepsilon_2} \right) (1 - \sin^2 \theta_i) \left( 1 - \frac{\mu_1}{\mu_2} \left( \frac{\varepsilon_1}{\varepsilon_2} \right) (\sin^2 \theta_i) \right) \quad (2.81)$$

ทำให้ได้ว่า

$$\sin \theta_i = \sqrt{\frac{\frac{\varepsilon_2 - \mu_2}{\varepsilon_1 - \mu_1}}{\frac{\mu_1 - \mu_2}{\mu_2 - \mu_1}}} \quad (2.82)$$

สมการ (2.82) จะเป็นจริงได้ ก็ต่อเมื่อ

$$\frac{\varepsilon_2 - \mu_2}{\varepsilon_1 - \mu_1} \leq \frac{\mu_1 - \mu_2}{\mu_2 - \mu_1} \quad (2.83)$$

หรือ

$$\frac{\mu_2}{\mu_1} \geq \frac{\varepsilon_2}{\varepsilon_1} \quad (2.84)$$

ถ้า  $\mu_1$  มีค่าเท่ากับ  $\mu_2$  จะส่งผลให้  $\varepsilon_2$  ต้องมีค่านานกว่า  $\varepsilon_1$  สมการ (2.82) จะกลายเป็น

$$\theta_i = \theta_B = \sin^{-1} \left( \sqrt{\frac{\varepsilon_2}{\varepsilon_1 + \varepsilon_2}} \right) \quad (2.85)$$

จะเรียกมุม  $\theta_i$  ที่ทำให้  $\Gamma_{||}^b$  มีค่าเท่ากับศูนย์ว่ามุมบริเวณเตอร์ (Brewster angle) ( $\theta_B$ ) และสามารถเขียนในรูปแบบอื่นได้ดังนี้

$$\theta_i = \theta_B = \cos^{-1} \left( \sqrt{\frac{\varepsilon_1}{\varepsilon_1 + \varepsilon_2}} \right) \quad (2.86)$$

หรือ

$$\theta_i = \theta_B = \tan^{-1} \left( \sqrt{\frac{\varepsilon_2}{\varepsilon_1}} \right) \quad (2.87)$$

## 2.4 การสะท้อนกลับหมวดและมุมวิกฤติ

จากหัวข้อของมุมบริเวสเตอร์ (Brewster angle) ได้แสดงมุมตกกระทบที่ทำให้เกิดการส่งผ่านคลื่นทั้งหมดในกรณีที่คลื่นมีการโพลาไรซ์ตั้งฉากและบนกับระนาบของการตกกระทบ และพบว่าเมื่อค่าความชื้นชาบได้ในตัวกลางทั้งสองมีค่าเท่ากันจะมีเฉพาะกรณีที่คลื่นมีการโพลาไรซ์บนกับระนาบของการตกกระทบที่นั่นที่จะเกิดการส่งผ่านคลื่นทั้งหมด ซึ่งมุมที่ทำให้เกิดการส่งผ่านคลื่นทั้งหมดนี้จะเรียกวามุมบริเวสเตอร์ ในหัวข้อนี้จะพิจารณา เงื่อนไขที่สำคัญอีกด้วยของ การแพร่กระจายคลื่น ซึ่งก็คือเงื่อนไขสำหรับการสะท้อนกลับหมวด เกิดขึ้นเมื่อ  $|T| = 1$  เงื่อนไขที่ว่า นี่จะเป็นบทบาทสำคัญสำหรับการสื่อสารในไบโอดรัฟฟ์ เช่นเดียวกันกับที่ได้ศึกษาตอนหน้านี้ การพิจารณาการสะท้อนกลับหมวดจะแยกพิจารณาเป็นสองกรณีรายละเอียดดังนี้

### 2.4.1 การโพลาไรซ์แบบตั้งฉาก

จากสมการแสดงถ้าสัมประสิทธิ์การสะท้อนสมการ (2.45) ถ้ากำหนดให้สัมประสิทธิ์ค่าเท่ากับหนึ่ง จะได้ว่า

$$\frac{\left| \sqrt{\frac{\mu_2}{\epsilon_2}} \cos \theta_i - \sqrt{\frac{\mu_1}{\epsilon_1}} \cos \theta_i \right|}{\left| \sqrt{\frac{\mu_2}{\epsilon_2}} \cos \theta_i + \sqrt{\frac{\mu_1}{\epsilon_1}} \cos \theta_i \right|} = 1 \quad (2.88)$$

สมการนี้จะเป็นจริงก็ต่อเมื่อพจน์ที่สองในพยายามแลดูส่วนเป็นค่าจินตภาพ เมื่ออาศัยกฎการหักเหของ สเนลล์ พจน์ที่สองของทั้งเศษและส่วนในสมการจะเป็นค่าจินตภาพได้ ถ้า

$$\cos \theta_t = \sqrt{1 - \sin^2 \theta_t} = \sqrt{1 - \frac{\mu_1 \epsilon_1}{\mu_2 \epsilon_2} \sin^2 \theta_i} = -j \sqrt{\frac{\mu_1 \epsilon_1}{\mu_2 \epsilon_2} \sin^2 \theta_i - 1} \quad (2.89)$$

สมการนี้จะเป็นจริงได้ ก็ต่อเมื่อ

$$\frac{\mu_1 \epsilon_1}{\mu_2 \epsilon_2} \sin^2 \theta_i \geq 1 \quad (2.90)$$

หรือ

$$\theta_i \geq \theta_c = \sin^{-1} \left( \sqrt{\frac{\mu_2 \epsilon_2}{\mu_1 \epsilon_1}} \right) \quad (2.91)$$

มุมตកะรบทน  $\theta_i$  ที่น้อยที่สุดในสมการ (2.49) ที่ทำให้เกิดการสะท้อนกลับหมวด มีชื่อเรียกว่า มุมวิกฤติ เสียงแทนด้วย  $\theta_c$  มุมนี้จะเกิดขึ้นจริงก็ต่อเมื่อ

$$\mu_2 \varepsilon_2 \leq \mu_1 \varepsilon_1 \quad (2.92)$$

ถ้าความชันซึ่งได้ของตัวกลางทั้งสองมีค่าเท่ากัน สมการ (2.91) จะกลายเป็น

$$\theta_i \geq \theta_c \sin^{-1} \left( \sqrt{\frac{\varepsilon_2}{\varepsilon_1}} \right) \quad (2.93)$$

ซึ่งจะเป็นจริงได้เมื่อ  $\varepsilon_2$  มีค่าน้อยกว่าหรือเท่ากับ  $\varepsilon_1$

ดังนั้นสำหรับตัวกลางสองชนิดที่มีความชันซึ่งกันซึ่งเป็นกรณีของสาร ไดอิเล็กตริก ทั่วๆ ไป มุมวิกฤติจะเกิดขึ้นได้เฉพาะเมื่อคลื่นเดินทางจากตัวกลางที่หนาแน่นกว่าไปยังตัวกลางที่จืดของกว่า

#### 2.4.2 การโพลาไรซ์แบบบานาน

การสะท้อนกลับหมวดสำหรับกรณี การโพลาไรซ์แบบบานาน จะพิจารณาจากสมการแสดงค่า สัมประสิทธิ์การสะท้อนสมการ (2.45) ผ้าทำหนดให้สัมประสิทธิ์มีค่าเท่ากับหนึ่ง จะได้ว่า

$$\left| \frac{\sqrt{\frac{\mu_2}{\varepsilon_2}} \cos \theta_i - \sqrt{\frac{\mu_1}{\varepsilon_1}} \cos \theta_i}{\sqrt{\frac{\mu_2}{\varepsilon_2}} \cos \theta_i + \sqrt{\frac{\mu_1}{\varepsilon_1}} \cos \theta_i} \right| = 1 \quad (2.94)$$

สมการนี้จะเป็นจริงก็ต่อเมื่อพจน์ที่สองในเศษและส่วนเป็นค่าจินตภาพ เมื่ออาศัยกฎการหักเหของ สเนลล์ และวิเคราะห์ชั่นเดียวกันกรณีการโพลาไรซ์แบบตั้งฉาก จะได้

$$\frac{\mu_1 \varepsilon_1}{\mu_2 \varepsilon_2} \sin^2 \theta_i \geq 1 \quad (2.95)$$

หรือ

$$\theta_i \geq \theta_c = \sin^{-1} \left( \sqrt{\frac{\mu_2 \varepsilon_2}{\mu_1 \varepsilon_1}} \right) \quad (2.96)$$

สมการ (2.89) เมื่อเทียบกับสมการ (2.94) จะนั้นเนื่องมาจากการสะท้อนกลับหมุนจึงเป็นเช่นเดียวกับกรณีการโพลาไรซ์แบบตั้งฉาก และแสดงให้เห็นว่ามุมวิกฤติจะมีค่าที่ไม่เข้าอยู่กับการโพลาไรซ์ของคลื่น แต่จะเข้ากับคุณลักษณะของตัวคลื่น และจะปรากฏเมื่อคลื่นต้องเดินทางจากตัวคลื่นที่หนาแน่นกว่าไปสู่ตัวคลื่นที่บางกว่า  $\mu_2 \epsilon_2 < \mu_1 \epsilon_1$  หรือ  $\epsilon_2 < \epsilon_1$  เมื่อ  $\mu_2 = \mu_1$

#### 2.4.3 ความหนาแน่นพลังงาน ผลของค่าคงตัวเพส และค่าคงตัวการลดทอน

เมื่อคลื่นตกกระทบไครรับการส่งผ่านเข้าสู่ตัวคลื่นที่สอง คลื่นจะนำพลังงานไปด้วย ความหนาแน่น พลังงานเฉลี่ยของคลื่นที่ส่งผ่านเข้าไปในตัวคลื่นที่สอง สำหรับกรณีการโพลาไรซ์แบบตั้งฉาก ณ มุมวิกฤติ สามารถหาได้จาก

$$S'_{av} \Big|_{\theta_i = \theta_c} = \frac{1}{2} \operatorname{Re} \left( \mathbf{E}'_{\perp} \times \mathbf{H}'_{\perp}^* \right) \Big|_{\theta_i = \theta_c} = \hat{a}_x \frac{2|E_0|^2}{\eta_2} \quad (2.97)$$

จะเห็นได้ว่าค่าที่คำนวณได้มีเฉพาะองค์ประกอบในแนวแกน  $x$  แต่เพียงอย่างเดียว ซึ่งก็คือมีเฉพาะ องค์ประกอบที่ขานานกับรอยต่อเท่านั้น ซึ่งแสดงให้เห็นว่าไม่มีส่วนของพลังงานงานจริงที่ขานผ่าน รอยต่อไปสู่ตัวคลื่นที่สอง การเดินทางของคลื่นสามารถแสดงได้ดังรูปที่ 2.4 โดยถูกแสดง ทิศทางการเคลื่อนที่ของคลื่น เส้นประการแสดงแนวที่เฟสของคลื่นที่ค่าคงที่กำลังวันนี้จะเห็นได้ชัดชัด เมื่อพิจารณาขนาดของความหนาแน่นกำลังงานเฉลี่ยที่ตกกระทบ และที่สะท้อนรอยต่อภายนอกได้ ถูกใจเมื่อไม่มีผลกระทบเท่ากับมุมวิกฤติ ซึ่งจะแสดงได้ดังนี้ เมื่อมุมตกกระทบมากกว่ามุมวิกฤติ ( $\theta_i > \theta_c$ ) จะแสดงกฎการหักเหของสเนลล์ได้ดังนี้

$$\sin \theta_i \Big|_{\theta_i > \theta_c} = \frac{\beta_1}{\beta_2} \sin \theta_i \Big|_{\theta_i > \theta_c} = \sqrt{\frac{\mu_1 \epsilon_1}{\mu_2 \epsilon_2}} \sin \theta_i \Big|_{\theta_i > \theta_c} > 1 \quad (2.98)$$

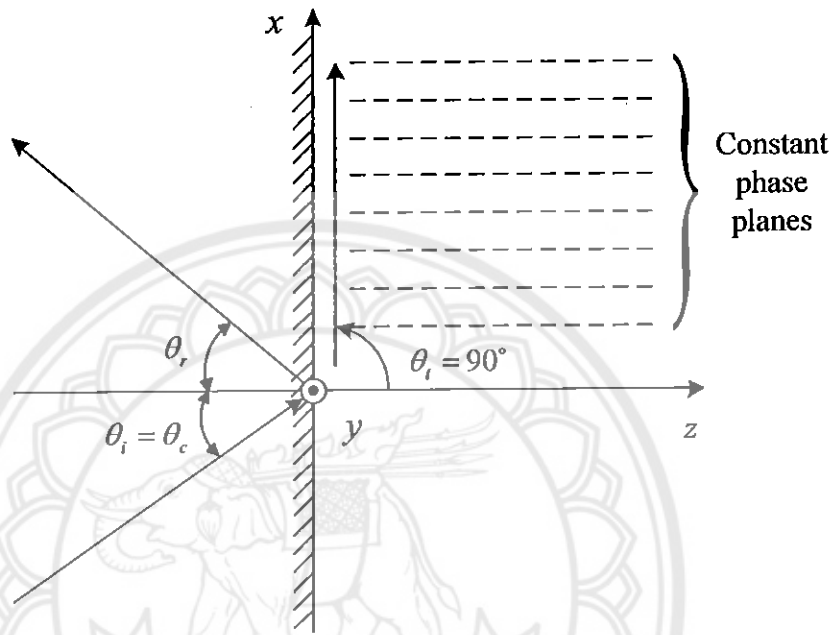
ซึ่งจะเป็นจริงได้ เมื่อ  $\theta_i$  เป็นค่าเชิงซ้อน นั่นคือ  $\theta_i = \theta_R + j\theta_x$  และ

$$\cos \theta_i \Big|_{\theta_i > \theta_c} = \sqrt{1 - \sin^2 \theta_i} \Big|_{\theta_i > \theta_c} = \sqrt{1 - \frac{\mu_1 \epsilon_1}{\mu_2 \epsilon_2} \sin^2 \theta_i} \Big|_{\theta_i > \theta_c} \quad (2.99a)$$

$$\cos \theta_i \Big|_{\theta_i > \theta_c} = \pm j \sqrt{\frac{\mu_1 \epsilon_1}{\mu_2 \epsilon_2} \sin^2 \theta_i - 1} \Big|_{\theta_i > \theta_c} \quad (2.99b)$$

ซึ่งบังคับยืนว่า  $\theta_i$  เป็นค่าเชิงช้อน ดังนั้นจึงสรุปได้ว่า เมื่อ  $\theta_i > \theta_c$  จะไม่มีค่ามุม  $\theta_i$  ที่เป็นจริง ในทางกายภาพ

เมื่อมุมตัดกระแทบมีค่ามากกว่ามุมวิกฤต ( $\theta_i > \theta_c$ ) สามารถส่งผ่านสมการ (2.16) สามารถเขียนโดยใช้สมการ (2.29) และ (2.49)



รูปที่ 2.4 ระบบเฟสและนาคองที่ในกรณีที่มุมตัดกระแทบมีค่าเท่ากับมุมวิกฤติ

เมื่อมุมตัดกระแทบมีค่ามากกว่ามุมวิกฤต ( $\theta_i > \theta_c$ ) สามารถส่งผ่านสมการ (2.16) สามารถเขียนโดยใช้สมการ (2.29) และสมการ (2.49)

$$\mathbf{E}'_{\perp} \Big|_{\theta_i > \theta_c} = \hat{\mathbf{a}}_y T_{\perp}^b E_0 \exp(-j\beta_2 x \sin \theta_i) \exp(-j\beta_2 z \cos \theta_i) \Big|_{\theta_i > \theta_c} \quad (2.100a)$$

$$= \hat{\mathbf{a}}_y T_{\perp}^b E_0 \exp\left(-j\beta_2 x \sqrt{\frac{\mu_1 \epsilon_1}{\mu_2 \epsilon_2}} \sin \theta_i\right) \exp\left(-j\beta_2 z \sqrt{1 - \sin^2 \theta_i}\right) \Big|_{\theta_i > \theta_c} \quad (2.100b)$$

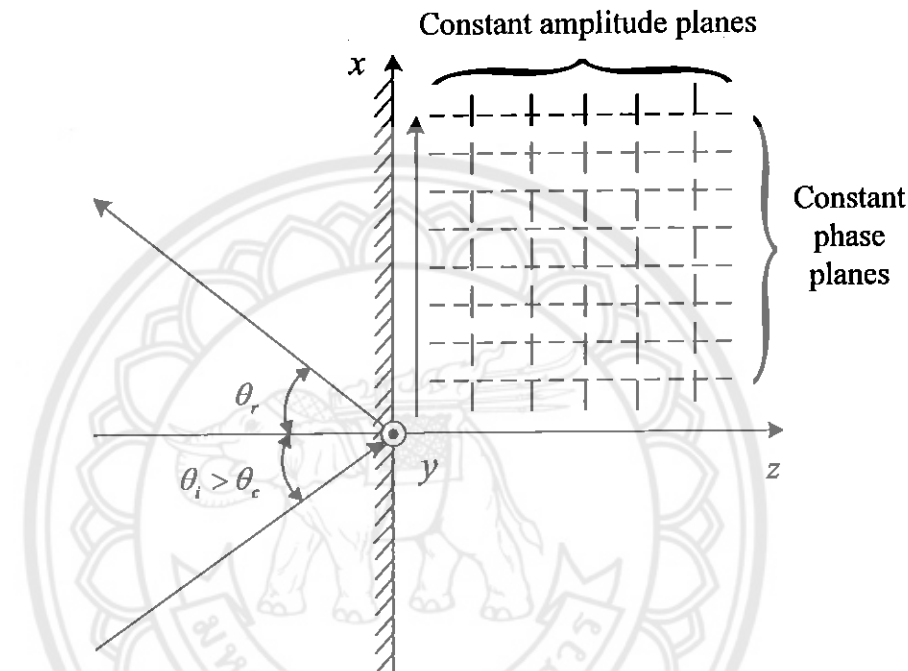
$$= \hat{\mathbf{a}}_y T_{\perp}^b E_0 \exp\left(-j\beta_2 x \sqrt{\frac{\mu_1 \epsilon_1}{\mu_2 \epsilon_2}} \sin \theta_i\right) \exp\left(-j\beta_2 z \sqrt{1 - \frac{\mu_1 \epsilon_1 \sin^2 \theta_i}{\mu_2 \epsilon_2}}\right) \Big|_{\theta_i > \theta_c} \quad (2.100c)$$

$$= \hat{\mathbf{a}}_y T_{\perp}^b E_0 \exp\left(-j\beta_2 x \sqrt{\frac{\mu_1 \epsilon_1}{\mu_2 \epsilon_2}} \sin \theta_i\right) \exp\left(-\beta_2 z \sqrt{\frac{\mu_1 \epsilon_1}{\mu_2 \epsilon_2} \sin^2 \theta_i - 1}\right) \Big|_{\theta_i > \theta_c} \quad (2.100d)$$

$$= \hat{\mathbf{a}}_y T_{\perp}^b E_0 \exp\left(-\beta_2 z \sqrt{\frac{\mu_1 \epsilon_1}{\mu_2 \epsilon_2} \sin^2 \theta_i - 1}\right) \exp\left(-j\beta_2 x \sqrt{\frac{\mu_1 \epsilon_1}{\mu_2 \epsilon_2} \sin \theta_i}\right) \Big|_{\theta_i > \theta_c} \quad (2.100e)$$

$$\mathbf{E}'_{\perp} \Big|_{\theta_i > \theta_c} = \hat{\mathbf{a}}_y T_{\perp}^b E_0 e^{-\alpha_c z} e^{-j\beta_c x} \quad (2.100f)$$

จากสมการ (2.100f) แสดงให้เห็นว่าสนามไฟฟ้าประกอบด้วยค่าคงตัวการลดตอน แทนด้วย  $\alpha$  และค่าคงตัวเฟส แทนด้วย  $\beta$  การเดินทางของคลื่นที่ได้รวมผลของ  $\alpha$  และ  $\beta$  ในกรณีนี้แสดงได้ดังรูปที่ 2.5



รูปที่ 2.5 รูปแบบของคลื่นที่ในกรณีที่มุนต์ผลกระทบมีค่ามากกว่ามุนต์วิกฤติ

## 2.5 การสะท้อนและการส่งผ่านคลื่นในหลายรอยต่อ

ในหัวข้อนี้จะวิเคราะห์คลื่นในตัวกลางที่มีหลายรอยต่อ โดยจะกำหนดให้ตัวกลางไม่มีการสูญเสีย และมีโครงสร้างดังรูปที่ 2.6 ตัวกลางมีทั้งหมดสามด้าน ตัวกลางที่สองมีความหนาเท่ากับ  $d$  คลื่นที่กระทบจะได้รับการกำหนดให้เดินทางในลักษณะตั้งฉากเข้าสู่รอยต่อระหว่างตัวกลางที่สองและตัวกลางที่หนึ่ง ยังผลให้คลื่นบางส่วนเดินทางผ่านรอยต่อและบางส่วนสะท้อนจากการอยู่ต่อหน้าสัมประสิทธิ์การสะท้อนจะกำหนดโดยคุณสมบัติของตัวกลางตลอดโครงสร้าง ซึ่งสามารถหาได้สองวิธี วิธีแรกจะอาศัยความไม่ต่อเนื่องของอินพีเดนซ์ และวิธีที่สองคือการติดตามรังสีมีรายละเอียดดังนี้

### 2.5.1 ความไม่ต่อเนื่องของอิมพีเดนซ์

พิจารณาปุ่มที่ 2.9 เมื่อพิจารณาในทิศทางไปสู่ตัวกลางที่สอง อิมพีเดนซ์ขาเข้า ณ ตำแหน่ง  $z = 0^+$  จะมีค่าเท่ากับ  $\eta_3$

$$Z_{in}(z = 0^+) = \eta_3 = \sqrt{\frac{\mu_3}{\epsilon_3}} \quad (2.101)$$

อิมพีเดนซ์บนสาย (line impedance) ณ ระยะ  $\ell$  จากการนี้ค่าเป็น

$$Z(\ell) = \eta_2 \frac{\eta_3 + \eta_2 \tanh j\beta\ell}{\eta_2 + \eta_3 \tanh j\beta\ell} \quad (2.102a)$$

$$= \eta_2 \frac{\eta_3 + \eta_2 \left( \frac{\sinh j\beta\ell}{\cosh j\beta\ell} \right)}{\eta_2 + \eta_3 \left( \frac{\sinh j\beta\ell}{\cosh j\beta\ell} \right)} \quad (2.102b)$$

โดยอาศัย

$$\sinh j\beta\ell = j \sin \beta\ell \quad (2.103)$$

$$\cosh j\beta\ell = \cos \beta\ell \quad (2.104)$$

จะได้

$$Z(\ell) = \eta_2 \frac{\eta_3 \cos(\beta\ell) + \eta_2 j \sin(\beta\ell)}{\eta_2 \cos(\beta\ell) + \eta_3 j \sin(\beta\ell)} \quad (2.105)$$

และ

$$\sin \beta\ell = \frac{e^{j\beta\ell} - e^{-j\beta\ell}}{2j} \quad (2.106)$$

$$\cos \beta\ell = \frac{e^{j\beta\ell} + e^{-j\beta\ell}}{2} \quad (2.107)$$

จะได้ว่า

$$Z(\ell) = \eta_2 \frac{(\eta_3 + \eta_2)e^{j\beta\ell} + (\eta_3 - \eta_2)e^{-j\beta\ell}}{(\eta_3 + \eta_2)e^{j\beta\ell} + (\eta_3 - \eta_2)e^{-j\beta\ell}} \quad (2.108)$$

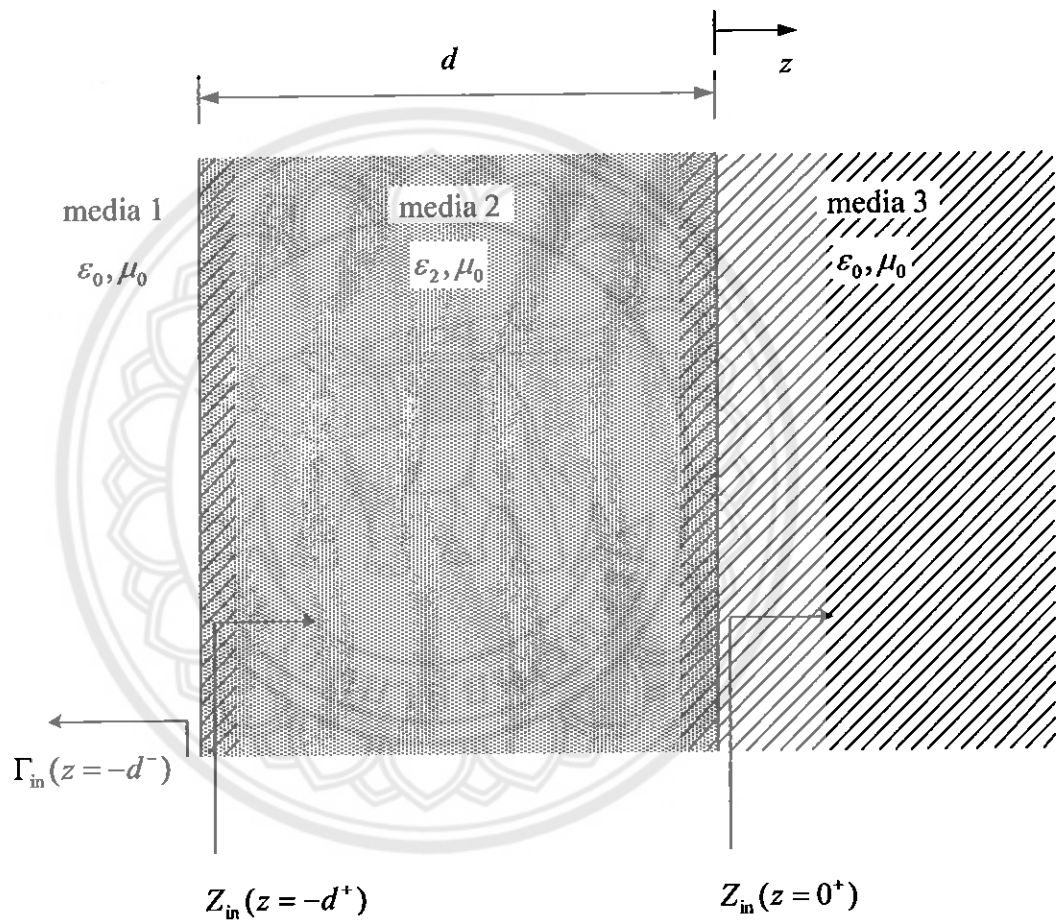
ทำให้สัมประสิทธิ์การสะท้อน ณ ตำแหน่ง  $\ell$  จะมีค่าเท่ากับ

$$\Gamma_{in}(\ell) = \frac{Z(\ell) - \eta_1}{Z(\ell) + \eta_1} \quad (2.109a)$$

$$\Gamma_{in}(\ell) = \frac{\eta_2 \left[ (\eta_3 + \eta_2) + (\eta_3 - \eta_2)e^{-j2\beta\ell} \right] - \eta_1 \left[ (\eta_3 + \eta_2) + (\eta_3 - \eta_2)e^{-j2\beta\ell} \right]}{\eta_2 \left[ (\eta_3 + \eta_2) + (\eta_3 - \eta_2)e^{-j2\beta\ell} \right] + \eta_1 \left[ (\eta_3 + \eta_2) + (\eta_3 - \eta_2)e^{-j2\beta\ell} \right]} \quad (2.109b)$$

ทำให้สัมประสิทธิ์การสะท้อน ณ ตำแหน่ง  $\ell$  จะมีค่าเท่ากับค้างสมการข้างต่อไป ดังแสดงในภาคผนวก (ค)

$$\Gamma_{in}(\ell) = \frac{\Gamma_{12} + \Gamma_{23}e^{-j2\beta\ell}}{1 + \Gamma_{12}\Gamma_{23}e^{-j2\beta\ell}} \quad (2.109c)$$



รูปที่ 2.6 สัมประสิทธิ์การสะท้อนที่เกิดขึ้นจากความไม่ต่อเนื่องของอิมพีเดนซ์  
(method of discontinuity)

### 2.5.2 การติดตามรังสี

การหาสัมประสิทธิ์การสะท้อน โดยอาศัยการติดตามรังสี (method of ray-tracing) สามารถทำได้โดยการพิจารณาปุ่มที่ 2.7 เริ่มแรกคลื่นที่กำลังเดินทางในห้วงกลางที่ 1 ตกกระทบที่รอยต่อระหว่าง

ตัวกลาง  $\eta = -d$  เป็นผลให้คลื่นส่วนหนึ่งเดินทางเข้าสู่ตัวกลางที่ 2 และส่วนที่เหลือจะสะท้อนกลับสู่ตัวกลางที่ 1 สัมประสิทธิ์การสะท้อน  $\eta$  ของต่อไปนี้เป็นแทนด้วย  $\Gamma_{12}$  มีค่าเป็น

$$\Gamma_{12} = \frac{\eta_2 - \eta_1}{\eta_2 + \eta_1} \quad (2.110)$$

คลื่นที่เดินทางเข้าสู่ตัวกลางที่ 2 สามารถหาได้จากสัมประสิทธิ์การส่งผ่าน ซึ่งรอยต่อเดียวกันนี้สามารถหาได้จาก

$$T_{21} = \frac{2\eta_2}{\eta_1 + \eta_2} \quad (2.111)$$

เมื่อผ่านรอยต่อ  $\eta = -d$  แล้ว คลื่นจะเดินทางในทิศทางซ้ายไปขวาไปยังรอยต่อ  $\eta$  ตำแหน่ง  $z = 0$  เมื่อจากตัวกลางที่ 2 เป็นตัวกลางที่ไม่มีการสูญเสีย จะนั่นคลื่น  $\eta$  ตำแหน่ง  $z = 0$  จึงมีขนาดสูงสุดคงเดิม หน้าคลื่นจะได้รับการประวิงเป็นช่วงเวลาหนึ่ง ซึ่งทำให้มีเพลส  $\eta$  ตำแหน่ง  $z = 0$  ข้าไปจากตำแหน่ง  $z = -d$  เท่ากับ  $\theta$  เป็น  $T_{21}e^{-j\theta}$  ดังแสดงในรูปที่ 2.10

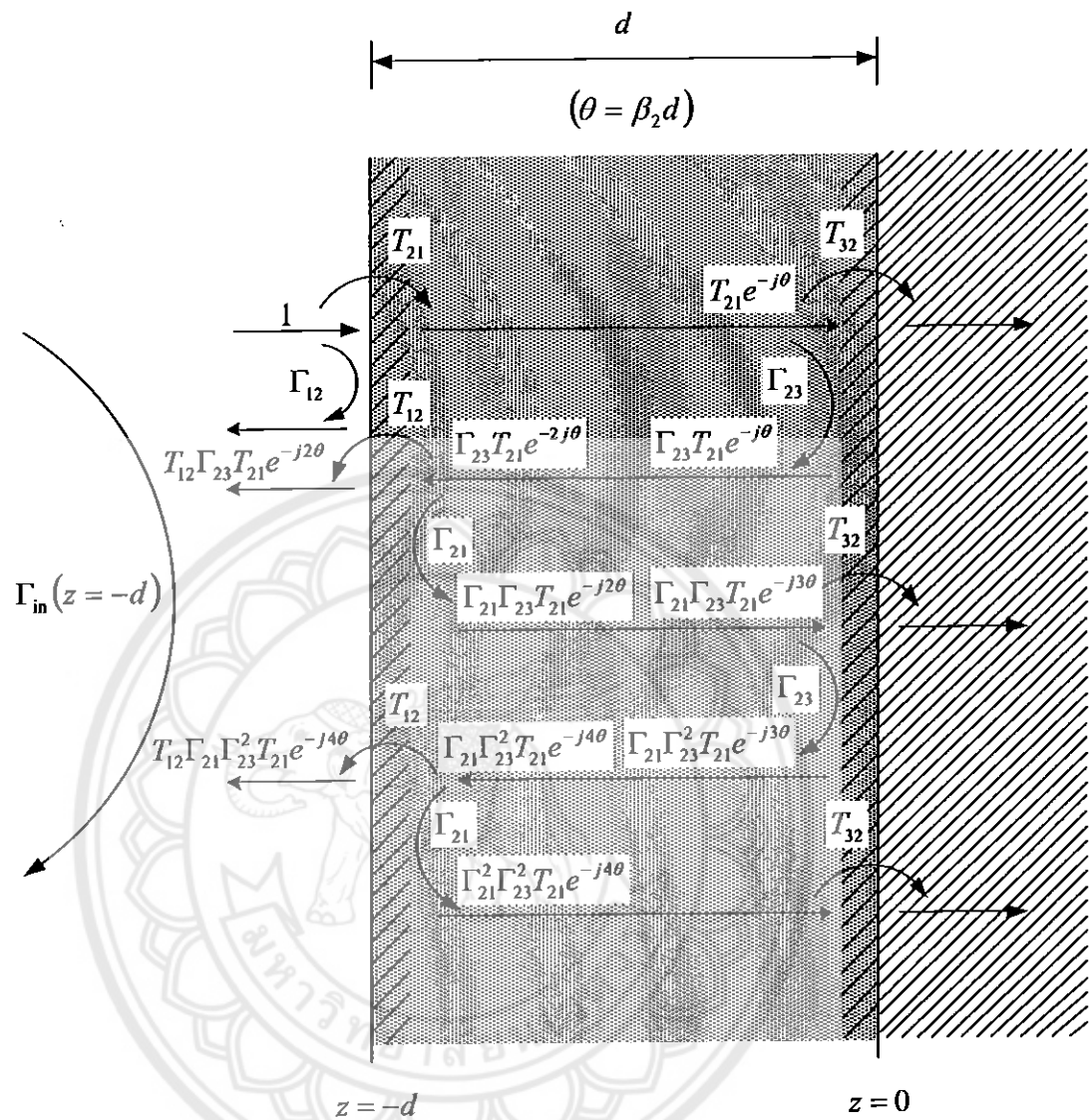
เมื่อคลื่น  $T_{21}e^{-j\theta}$  ตกกระทบ รอยต่อ  $\eta$  ตำแหน่ง  $z = 0$  จะมีคลื่นบางส่วนที่ส่งผ่านเข้าสู่ตัวกลางที่ 3 บ่งด้วยค่าสัมประสิทธิ์การส่งผ่าน  $T_{32}$  และคลื่นส่วนที่เหลือจะสะท้อนสู่ตัวกลางที่ 2 คลื่นสะท้อนที่เกิดขึ้นมีค่าเท่ากับ  $\Gamma_{23}T_{21}e^{-j\theta}$  และเดินทางในทิศทางจากขวาไปซ้ายไปยังรอยต่อ  $\eta$  ตำแหน่ง  $z = -d$  เช่นเดียวกันกับที่กล่าวมาแล้ว เมื่อจากตัวกลางที่ 2 เป็นตัวกลางที่ไม่มีการสูญเสีย คลื่นที่เดินทางมาถึงรอยต่อ  $\eta$  ตำแหน่ง  $z = -d$  จึงเป็นคลื่นประวิงเพลสของคลื่น  $\eta$  ตำแหน่ง  $z = 0$  ทำให้ได้คลื่นที่จะตกกระทบ  $\eta$  รอยต่อ  $z = -d$  มีค่าเป็น  $\Gamma_{23}T_{21}e^{-j2\theta}$

เมื่อคลื่น  $\Gamma_{23}T_{21}e^{-j2\theta}$  ตกกระทบ รอยต่อ  $\eta$  ตำแหน่ง  $z = -d$  จะมีคลื่นบางส่วนที่ส่งผ่านเข้าสู่ตัวกลางที่ 1 บ่งด้วยค่าสัมประสิทธิ์การส่งผ่าน  $T_{12}$  และคลื่นส่วนที่เหลือจะสะท้อนสู่ตัวกลางที่ 2 คลื่นสะท้อนที่เกิดขึ้นมีค่าเท่ากับ  $\Gamma_{21}\Gamma_{23}T_{21}e^{-j2\theta}$  และเดินทางในทิศทางจากซ้ายไปขวาไปยังรอยต่อ  $\eta$  ตำแหน่ง  $z = 0$  เช่นเดียวกับที่กล่าวมาแล้ว และขบวนการการเคลื่อนที่ของคลื่นไปกลับระหว่างรอยต่อทั้งสอง จะได้รับการทำซ้ำอีก ดังแสดงในรูปที่ 2.10

ถ้าพิจารณาการเคลื่อนไปทางขวาและไปทางซ้ายอย่างละหนึ่งครั้ง สัมประสิทธิ์การสะท้อนรวมจะพิจารณาจากคลื่นสะท้อน และคลื่นส่งผ่าน  $\eta$  บริเวณ  $z = -d$  มีค่าเป็น

$$\Gamma_{in} = \Gamma_{12} + T_{12}\Gamma_{23}T_{21}e^{-j2\theta} \quad (2.112)$$

โดยที่  $\theta$  มีค่าเป็น  $\beta d$  ทำให้ได้ สัมประสิทธิ์การสะท้อน  $\Gamma_{in}$  เท่ากับ  $\Gamma_{12} + T_{12}\Gamma_{23}T_{21}e^{-j2\theta}$  จะเห็นได้ว่า ค่าที่ได้นี้จะมีค่าเท่ากับที่ได้จากวิธีความไม่ต่อเนื่องของอินพีเดนซ์



รูปที่ 2.7 สัมประสิทธิ์การสะท้อนและการส่งผ่านที่เกิดขึ้นจากการติดตามรังสี  
(method of ray-tracing)

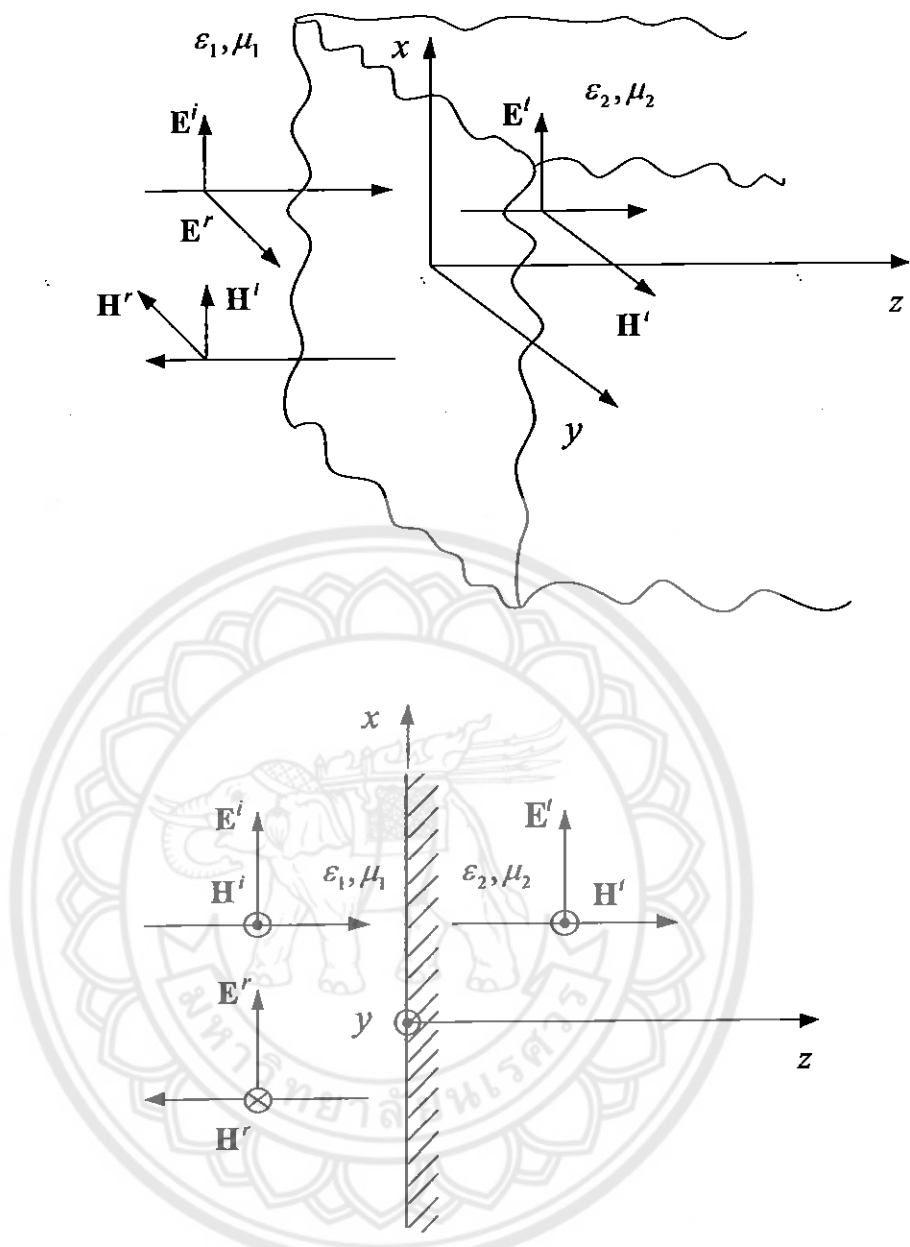
## บทที่ 3

### ผลการวิเคราะห์การสะท้อนและการส่งผ่าน

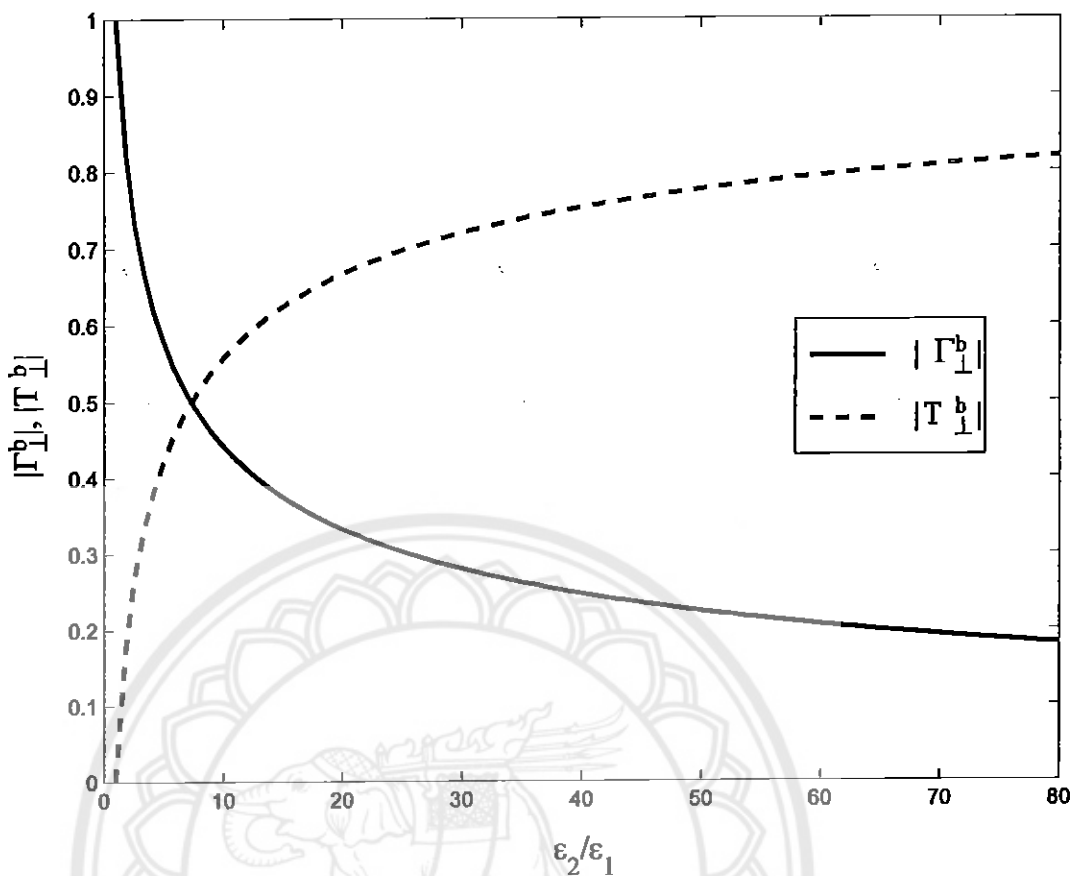
ในบทนี้จะกล่าวถึงการสะท้อนและการส่งผ่านของคลื่นระหว่างตัวกลางที่ไม่มีการสูญเสีย รอบต่อระหว่างกันมีลักษณะราบรื่น ในลำดับแรกคลื่นจะได้รับการกำหนดให้ตกรอบของต่อในลักษณะตั้งฉาก จากนั้นจะพิจารณาการตกรอบแบบทำนุ่มอิงกับรอบต่อ ซึ่งแยกการศึกษาเป็นสองกรณีคือ คลื่นตกรอบที่มีการโพลาไรซ์แบบตั้งฉากและที่มีการโพลาไรซ์แบบขานรายละเอียดแสดงได้ดังต่อไปนี้

#### 3.1 การตกรอบตั้งฉาก (Normal Incidence)

เมื่อคลื่นแม่เหล็กไฟฟ้าเดินทางในตัวกลางที่หนึ่งที่มีคุณสมบัติประจำตัวเป็น  $\mu_1$  และ  $\epsilon_1$  ตกรอบตั้งฉากกับรอบต่อระหว่างตัวกลางที่หนึ่งกับตัวกลางที่สองที่มีคุณสมบัติประจำตัวเป็น  $\mu_2$  และ  $\epsilon_2$  บางส่วนของคลื่นจะเดินทางเข้าไปในตัวกลางที่สองและบางส่วนสะท้อนกลับจะมีค่ามากหรือน้อยขึ้นอยู่กับค่า  $\mu$  และ  $\epsilon$  ของตัวกลางทั้งสอง ดังแสดงในรูปที่ 3.1 เมื่อวิเคราะห์ตามสมการ (2.10) และ (2.11) จะได้รูปของสัมประสิทธิ์การสะท้อนและการส่งผ่านของคลื่นดังแสดงในรูปที่ 3.2



รูปที่ 3.1 คลื่นสะท้อนและคลื่นส่งผ่านเมื่อคลื่น电磁波ชนตัวกรอบต่อของตัวกลางสองชนิด

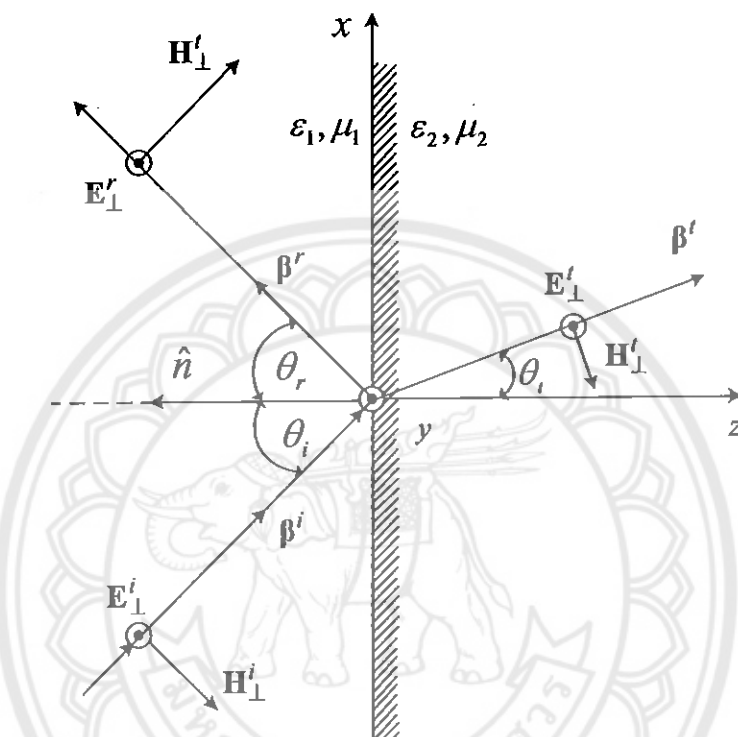


รูปที่ 3.2 สัมประสิทธิ์การสะท้อนและการส่งผ่านของคลื่นที่ตกกระทบรอบต่อในลักษณะตั้งฉาก

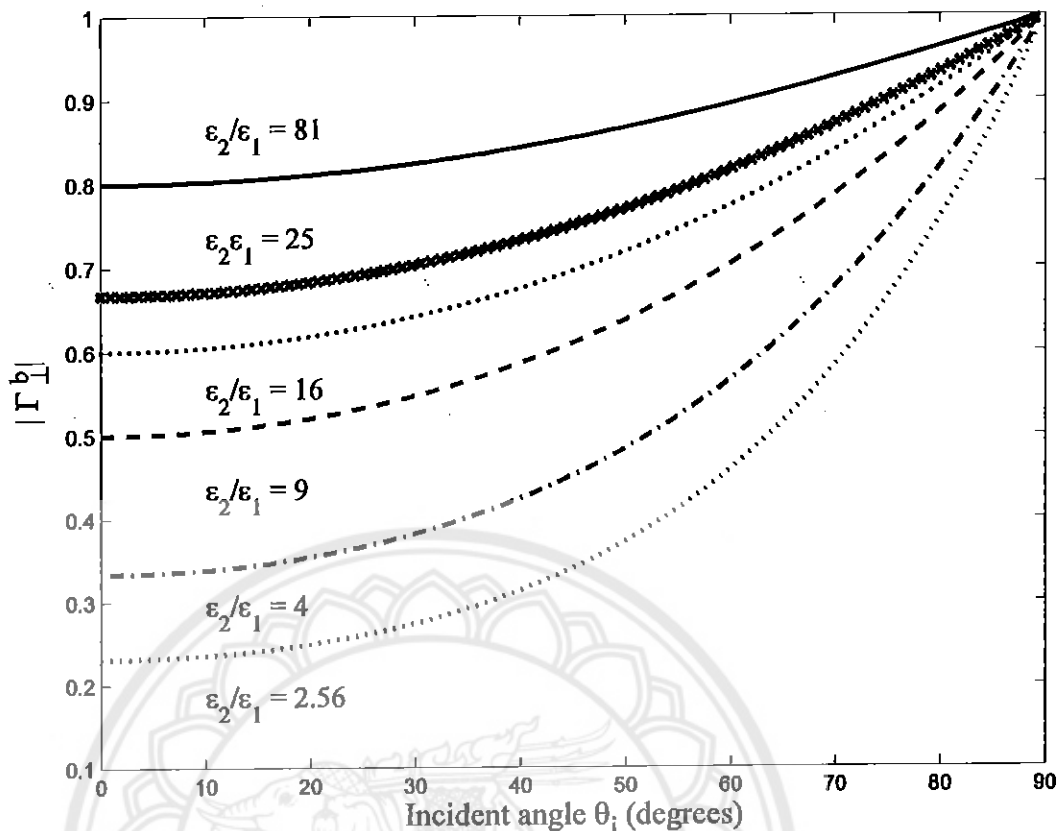
รูปที่ 3.2 แสดงสัมประสิทธิ์การสะท้อนและสัมประสิทธิ์การส่งผ่าน คำนวณตามสมการ (2.10) และ (2.11) โดยใช้โปรแกรม MATLAB ที่แสดงในภาคผนวก (ง) เส้นทึบแสดงสัมประสิทธิ์การสะท้อน เส้นประแสดงสัมประสิทธิ์การส่งผ่าน แก่นอนแสดงอัตราส่วนของ  $\epsilon_2/\epsilon_1$  โดยแบ่งเป็นช่วงจาก 1 ถึง 81 และแกนตั้งแสดงค่าของสัมประสิทธิ์ทั้งสอง จากรูปนี้พบว่า เมื่อ  $\epsilon_2/\epsilon_1$  มีค่าเท่ากับ 1 สัมประสิทธิ์การสะท้อน ( $\Gamma^b$ ) จะมีค่าเป็นศูนย์ สัมประสิทธิ์การส่งผ่าน ( $T^b$ ) มีค่าเท่ากับ 1 แสดงว่าเมื่อตัวกล่างมีความต่อเนื่องจะไม่มีคลื่นสะท้อนเกิดขึ้น คลื่นตกกระทบในตัวกล่างที่หนึ่ง จะได้รับการส่งผ่านไปยังตัวกล่างที่สองทั้งหมด เมื่อสัดส่วนของ  $\epsilon_2/\epsilon_1$  มีค่าเพิ่มขึ้น ส่งผลให้เกิดความไม่ต่อเนื่องของตัวกล่างที่สูงขึ้นด้วย จะพบว่าขนาดของสัมประสิทธิ์การสะท้อน  $|\Gamma^b|$  จะมีค่าเพิ่มขึ้น สัมประสิทธิ์การส่งผ่าน  $|T^b|$  จะมีค่าลดลง

### 3.2 การโพลาไรซ์แบบตั้งฉาก

กรณีที่สสารไฟฟ้าอยู่ในทิศทางตั้งฉากกับระนาบของการตกกระทบ สมมติให้สสารไฟฟ้าของคลื่นระนาบสัมภ์เสมอ ตกกระทบนร้อยต่อที่เป็นระนาบระหว่างตัวกลางทั้งสอง โดยที่คลื่นทำมุมเอียงกับแนวตั้งฉากกับร้อยต่อ ดังแสดงในรูปที่ 3.3

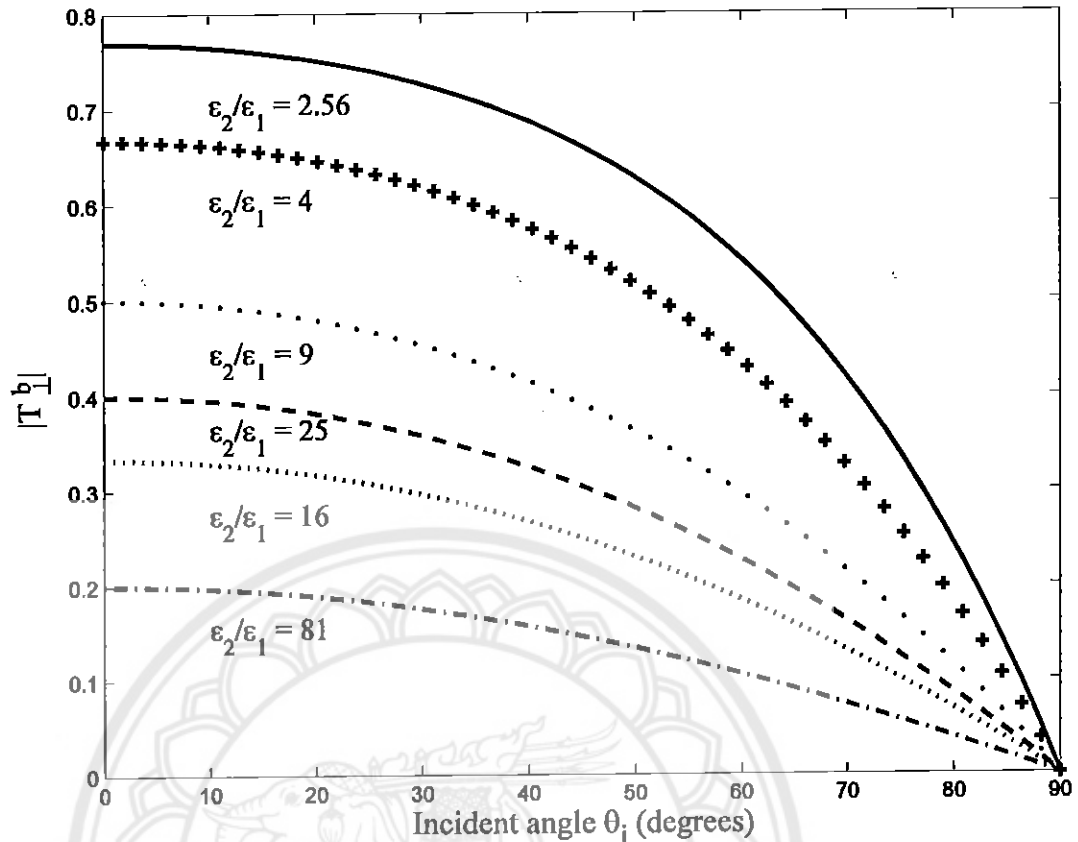


รูปที่ 3.3 คลื่นระนาบสัมภ์เสมอของการ โพลาไรซ์ตั้งฉากเดินทางทำมุมเอียงมาตักกระทบร้อยต่อ



รูปที่ 3.4 ขนาดของสัมประสิทธิ์การสะท้อน  $|\Gamma_{\perp}^b|$  เป็นฟังก์ชันของนุ่นตកกระทบ

รูปที่ 3.4 แสดงขนาดของสัมประสิทธิ์การสะท้อน  $|\Gamma_{\perp}^b|$  ณ รอยต่อระหว่างตัวกลาง ที่ค่า  $\epsilon_2/\epsilon_1$  ต่างๆ เมื่อเปลี่ยนนุ่นตកกระทบ  $\theta_i$  จาก 0 ถึง 90 องศา แกนนอนแสดงนุ่นตกกระทบ แกนตั้งแสดงขนาดของสัมประสิทธิ์การสะท้อน ซึ่งคำนวณตามสมการ (2.41) สำหรับทุกค่าของ  $\epsilon_2/\epsilon_1$  ในกราฟ เมื่อนุ่นตกกระทบ  $\theta_i$  เพิ่มขึ้น ขนาดของสัมประสิทธิ์การสะท้อน  $|\Gamma_{\perp}^b|$  จะมีค่าสูงขึ้น และจะถูกเข้าสู่  $|\Gamma_{\perp}^b| = 1$  ค่าของ  $\Gamma_{\perp}^b$  ที่คำนวณตามสมการ (2.42) มีค่าเป็นลบ ซึ่งแสดงว่าคลื่นสะท้อนจะกลับเฟสกับคลื่นตกกระทบโดยต่อ เมื่อพิจารณาที่นุ่นตกกระทบเดียวกันที่ไม่เท่ากับ 90 องศา จะพบว่า  $|\Gamma_{\perp}^b|$  จะมีค่าเพิ่มขึ้น เมื่อ  $\epsilon_2/\epsilon_1$  เพิ่มขึ้น ผลที่ได้นี้จะสอดคล้องกับการตกกระทบแบบตั้งฉาก และสอดคล้องกับลักษณะทางกายภาพ กล่าวคือ ขนาดของคลื่นสะท้อนจะเพิ่มสูงขึ้น เมื่อความไม่ต่อเนื่องระหว่างตัวกลางเพิ่มขึ้น

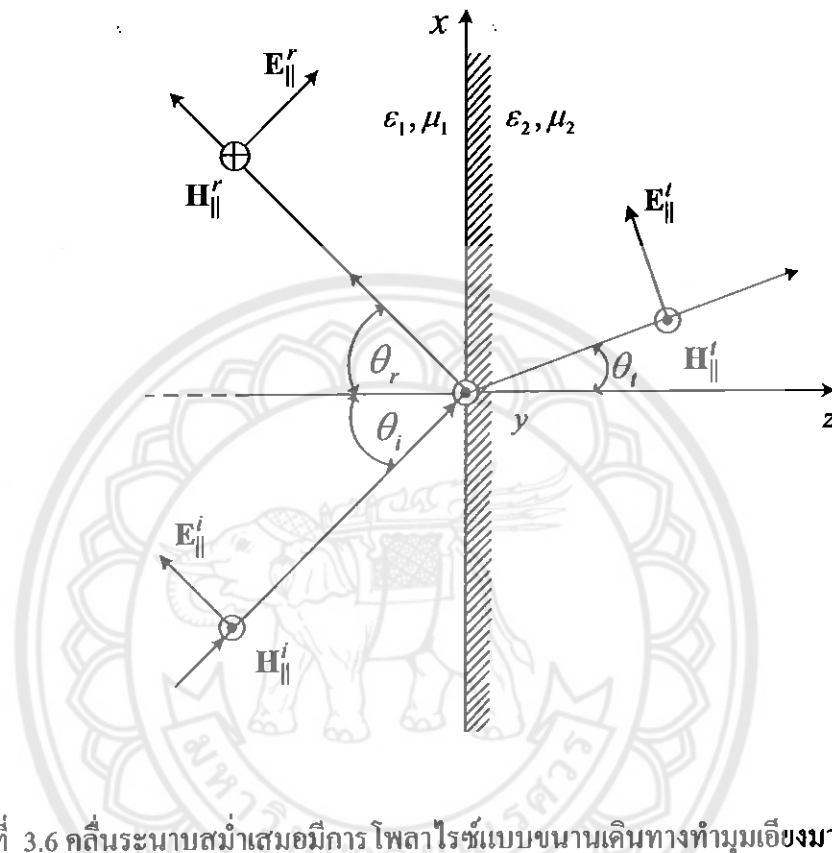


รูปที่ 3.5 ขนาดของสัมประสิทธิ์การส่งผ่าน  $|T_{\perp}^b|$  เป็นฟังก์ชันของมุนต์கกระทบ

รูปที่ 3.5 แสดงขนาดสัมประสิทธิ์การส่งผ่าน  $|T_{\perp}^b|$  ณ รอยต่อระหว่างตัวกลาง ที่ค่า  $\epsilon_2 / \epsilon_1$  ต่างๆ เมื่อเปลี่ยนมุนต์கกระทบ  $\theta_i$  แปลงจาก 0 ถึง 90 องศา เช่นเดียวกับรูปที่ 3.2 แกนนอน แสดงมุนต์கกระทบ และแกนตั้งแสดงค่าของสัมประสิทธิ์การส่งผ่าน คำนวณตามสมการ (2.42) สำหรับทุกค่าของ  $\epsilon_2 / \epsilon_1$  ในกราฟ เมื่อมุนต์கกระทบ  $\theta_i$  เพิ่มขึ้น ขนาดของสัมประสิทธิ์การส่งผ่าน  $|T_{\perp}^b|$  จะมีค่าลดลง และจะถูกลดลง  $|T_{\perp}^b| = 0$  ค่าของ  $T_{\perp}^b$  เมื่อคำนวณตามสมการ (2.45) มีค่าเป็นบวก ซึ่งแสดงว่าคลื่นที่ส่งผ่านจะมีเฟสเดียวกับคลื่นที่มาต่อตัวกระทบอยู่ต่อ เมื่อพิจารณาที่ มุนต์கกระทบเดียวกันที่ไม่เท่ากับ 90 องศา จะพบว่า  $|T_{\perp}^b|$  จะมีค่าลดลง เมื่อ  $\epsilon_2 / \epsilon_1$  เพิ่มขึ้น ผลที่ได้นี้จะสอดคล้องกับการต่อตัวกระทบแบบตั้งฉาก และสอดคล้องกับลักษณะทางกายภาพ กล่าวคือ ขนาดของคลื่นส่งผ่านจะลดลงเมื่อความไม่ต่อเนื่องระหว่างตัวกลางเพิ่มขึ้น

### 3.3 โพลาไรซ์แบบบานาน

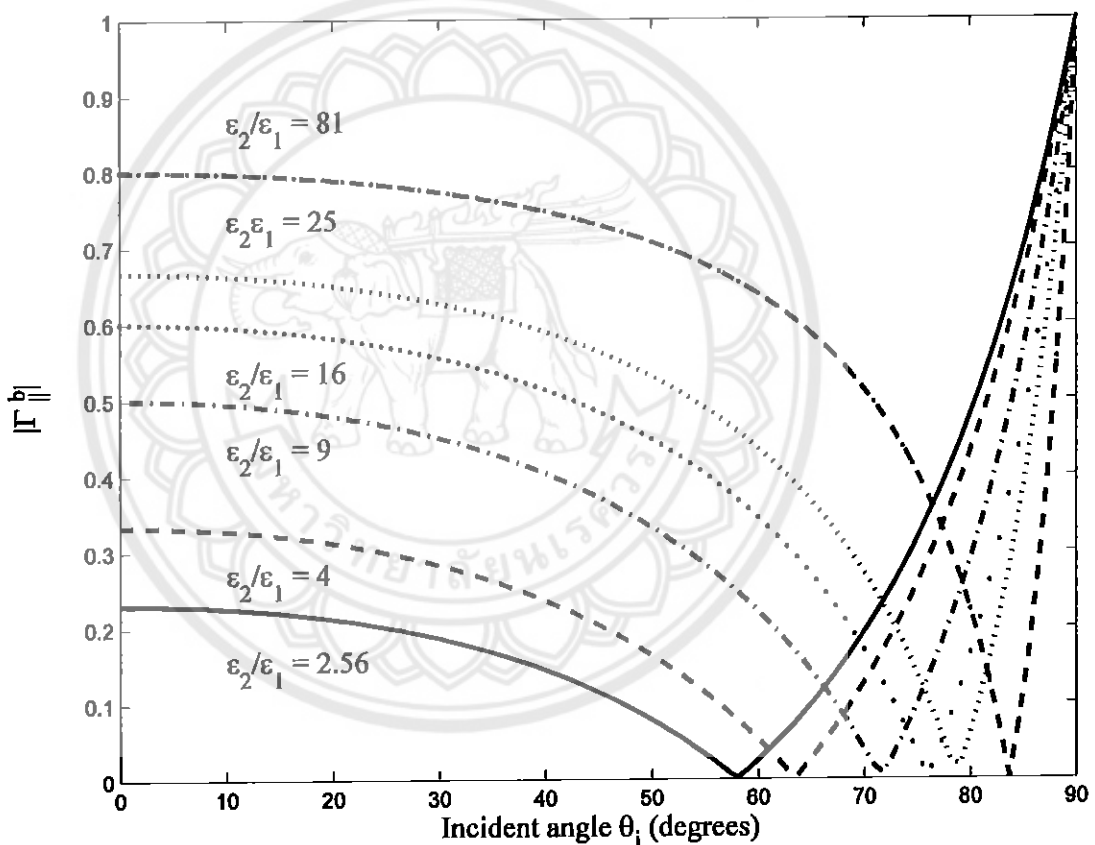
พิจารณาคลื่นระนาบสม่ำเสมอที่มีโพลาไรเซชันแบบบานานเดินทางทำมุนเอียงต่อกกระบรรยายต่อ  
ระหว่างตัวกลาง ดังแสดงคังรูปที่ 3.6



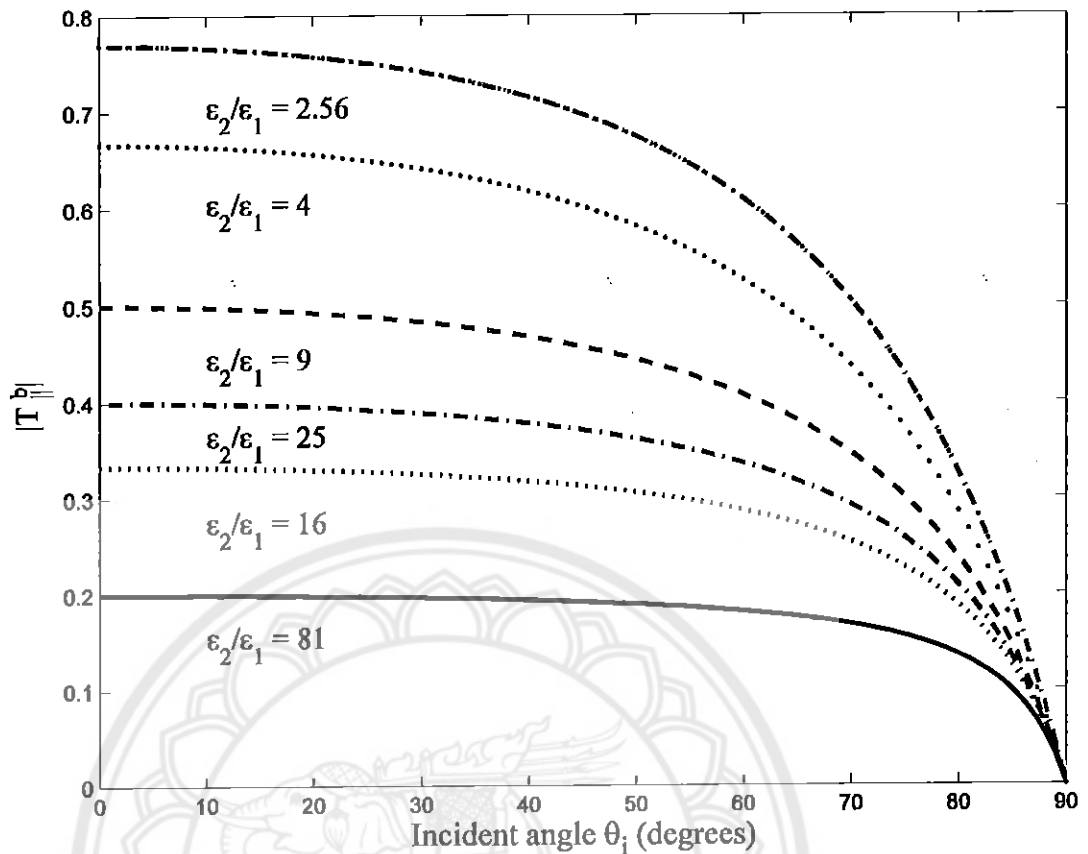
รูปที่ 3.6 คลื่นระนาบสม่ำเสมอของการโพลาไรซ์แบบบานานเดินทางทำมุนเอียงต่อกกระบรรยายต่อ

ขนาดของสัมประสิทธิ์การสะท้อนและสัมประสิทธิ์การส่งผ่านสำหรับกรณีการโพลาไรซ์บานานสามารถหาได้จากสมการ (2.63) และ (2.64) เมื่อคำนวณโดยใช้โปรแกรม MATLAB ที่แสดงไว้ในภาคผนวก (ง) พัฒนกันเปรเปลี่ยนค่ามุน  $\theta_i$  และอัตราส่วนของค่า  $\epsilon_2/\epsilon_1$  จะได้ค่าของขนาดสัมประสิทธิ์การสะท้อน  $\Gamma_{\parallel}^b$  และสัมประสิทธิ์การส่งผ่าน  $T_{\parallel}^b$  แสดงได้คังรูปที่ 3.7 และ 3.8

รูปที่ 3.7 แสดงขนาดของสัมประสิทธิ์การสะท้อน  $|\Gamma_{\parallel}^b|$  ณ รอยต่อระหว่างตัวกลาง ที่ค่า  $\epsilon_2 / \epsilon_1$  ต่างๆ เพื่อเปลี่ยนมุมตกกระทบ  $\theta_i$  จาก 0 ถึง 90 องศา แก่นอนแสดงมนต์ตกกระทบ และแกนตั้งแสดงค่าของสัมประสิทธิ์การสะท้อน จะเห็นได้ว่า เมื่อมุมกระทบมีค่ามากขึ้นจาก 0 องศา ขนาดของสัมประสิทธิ์จะมีค่าลดลงจนกระทั่งมีค่าต่ำสุดที่ซึ่งค่าขนาดของสัมประสิทธิ์มีค่าเป็นศูนย์ มุมตกกระทบ ณ ตำแหน่งนี้มีชื่อเรียกว่า มุมบริเวสเตอร์ (Brewster angle) และถ้ามุมตกกระทบ มีค่ามากกว่ามุมบริเวสเตอร์นี้ออกไป ขนาดของสัมประสิทธิ์การสะท้อนจะมีค่าเพิ่มสูงขึ้น และจะเข้าสู่หนึ่ง เมื่อมุมตกกระทบมีค่า 90 องศา เมื่อตรวจสอบสัมประสิทธิ์การสะท้อนตาม สมการ (2.63) จะพบว่า มีเครื่องหมายเป็นลบแสดงว่าคลื่นสะท้อนจะกลับเพลากับคลื่นตกกระทบโดยต่อ



รูปที่ 3.7 ขนาดของสัมประสิทธิ์การสะท้อน  $\Gamma_{\parallel}^b$  เป็นฟังก์ชันของมุมตกกระทบ



รูปที่ 3.8 ขนาดของสัมประสิทธิ์การส่งผ่าน  $|T_{\parallel}^b|$  เป็นฟังก์ชันของมุมตัดกระแทบ

รูปที่ 3.8 แสดงขนาดของสัมประสิทธิ์การส่งผ่าน  $|T_{\parallel}^b|$  ณ รอยต่อระหว่างตัวกลาง ที่ค่า  $\epsilon_2/\epsilon_1$  ต่างๆ เมื่อแปรเปลี่ยนมุมตัดกระแทบ  $\theta_i$  โดยแปรเปลี่ยนจาก 0 ถึง 90 องศา แกนนอนแสดง มุมตัดกระแทบ และแกนตั้งแสดงค่าของสัมประสิทธิ์การส่งผ่าน คำนวณตามสมการ (2.64) สำหรับ ทุกค่าของ  $\epsilon_2/\epsilon_1$  ในกราฟ เมื่อ มุมตัดกระแทบ  $\theta_i$  เพิ่มขึ้น ขนาดของสัมประสิทธิ์การส่งผ่าน  $|T_{\parallel}^b|$  จะมีค่าลดลง และจะเข้าสู่  $|T_{\parallel}^b| = 0$  ค่าที่ได้มีคำนวณ  $T_{\parallel}^b$  ตามสมการ (2.64) มีค่าเป็นบวก ซึ่งแสดงว่าคลื่นที่ส่งผ่านจะมีเฟสเดียวกับคลื่นที่มาตัดกระแทบอยู่ต่อ เมื่อพิจารณาที่มุมตัดกระแทบ เดียวกันที่ไม่เท่ากับ 90 องศา จะพบว่า  $|T_{\parallel}^b|$  จะมีค่าลดลง เมื่อ  $\epsilon_2/\epsilon_1$  เพิ่มขึ้น ผลที่ได้นี้ จะสอดคล้องกับการตัดกระแทบแบบตั้งฉาก และสอดคล้องกับลักษณะทางกายภาพ กล่าวคือ ขนาดของคลื่นส่งผ่านจะลดลงเมื่อความไม่ต่อเนื่องระหว่างตัวกลางเพิ่มขึ้น

### 3.4 ผลของค่าคงตัวเฟส

พิจารณาการทดสอบและ การส่งผ่านในตัวกลางสองตัวกลาง หนึ่งรอยต่อ ที่ตัวกลางที่หนึ่ง คือ วัสดุที่มีค่าสภาระนิยม และ ความชื้นชานได้เท่ากัน  $\varepsilon_1 = \varepsilon_0$  และ  $\mu_1 = \mu_0$  ตามลำดับ ตัวกลางที่สอง มีค่าสภาระนิยม และ ความชื้นชานได้  $\varepsilon_2 = 2.56\varepsilon_0$  และ  $\mu_2 = \mu_0$  คืนทดสอบให้รับการป้อนเข้าสู่รอยต่อเป็นมุมเฉียง ดังแสดงในรูปที่ 2.5 จากการวิเคราะห์สำหรับกรณีมุมทดสอบมากกว่ามุมวิกฤต  $\theta_i > \theta_c$  ในหัวข้อ 2.4.2 ทำให้ได้ค่าส่งผ่านสำหรับโครงสร้างนี้มีค่าเป็น

$$E_{\perp}^b|_{\theta_i > \theta_c} = \hat{a}_y T_{\perp}^b E_0 \exp \left[ -\beta_2 z \left( \sqrt{\frac{\mu_1 \varepsilon_1}{\mu_2 \varepsilon_2}} \sin^2 \theta_i - 1 \right) \right] \exp \left[ -\beta_2 z \left( \sqrt{\frac{\mu_1 \varepsilon_1}{\mu_2 \varepsilon_2}} \sin \theta_i \right) \right]_{\theta_i > \theta_c} \quad (3.1)$$

$$E_{\perp}^b|_{\theta_i > \theta_c} = \hat{a}_y T_{\perp}^b E_0 e^{-\alpha_e z} e^{-j\beta_e x} \quad (3.2)$$

เมื่อ

$$\beta_e = T_{\perp}^b E_0 \exp \left[ -\beta_2 z \left( \sqrt{\frac{\mu_1 \varepsilon_1}{\mu_2 \varepsilon_2}} \sin \theta_i \right) \right] \quad (3.3)$$

$$\alpha_e = T_{\perp}^b E_0 \exp \left[ -\beta_2 z \left( \sqrt{\frac{\mu_1 \varepsilon_1}{\mu_2 \varepsilon_2}} \sin^2 \theta_i - 1 \right) \right] \quad (3.4)$$

$$\beta_2 = 2\pi/\lambda \quad (3.5)$$

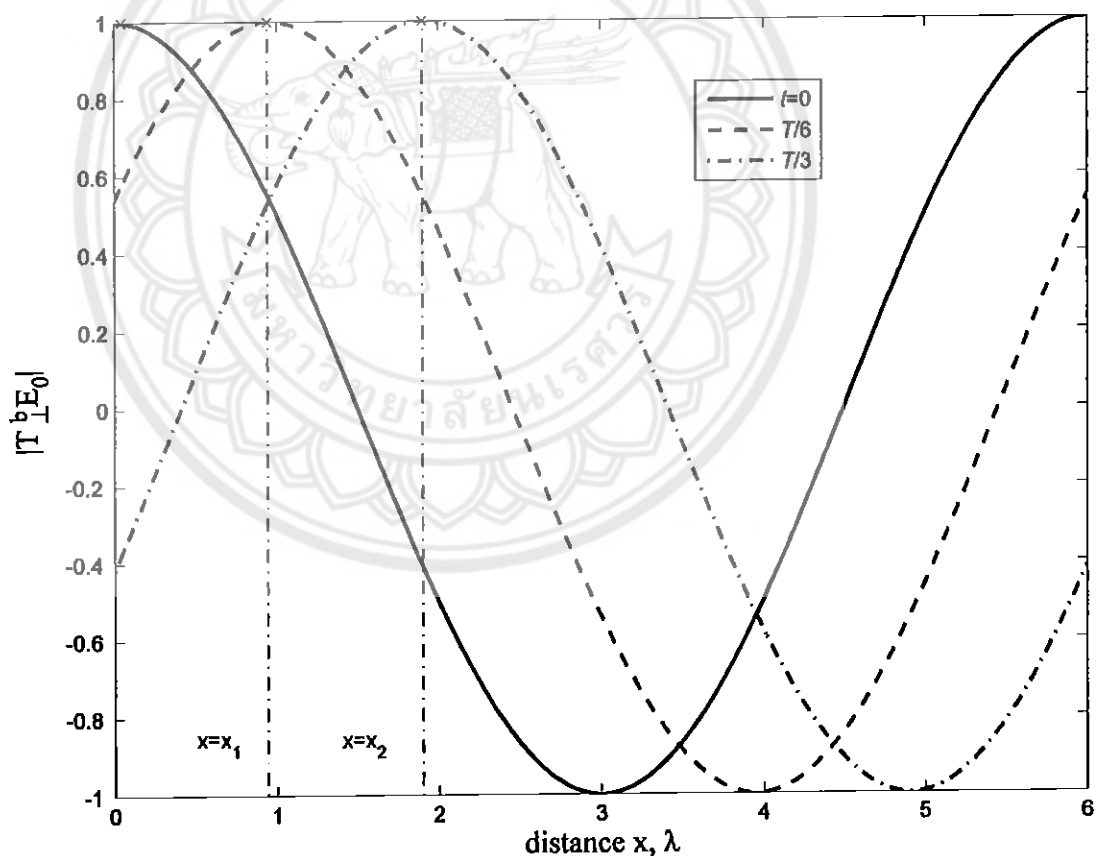
เพื่อที่จะศึกษาผลของค่าคงตัวเฟส  $\beta_e$  (constant phase) จะแปลง  $T_{\perp}^b E_0 e^{-\alpha_e z} e^{-j\beta_e x}$  ให้อยู่ในรูปชั่วขณะ (instantaneous field) โดยนำพจน์นี้มาคูณกับ  $e^{j\omega t}$  เพื่อความง่ายจะสมนติให้เฟสของ  $T_{\perp}^b E_0$  มีค่าเป็นศูนย์จะได้ว่า  $T_{\perp}^b E_0 e^{j0} e^{-\alpha_e z} e^{-j\beta_e x} e^{j\omega t} = |T_{\perp}^b E_0| e^{-\alpha_e z} e^{-j\beta_e x} e^{j\omega t}$  จากนั้นพิจารณา ส่วนจริง ดังนี้

$$\mathcal{E}(x; t) = \operatorname{Re} \left\{ T_{\perp}^b E_0 e^{-\alpha_e z} e^{-j\beta_e x} e^{j\omega t} \right\} = \operatorname{Re} \left\{ T_{\perp}^b E_0 \left| e^{-\alpha_e z} e^{j(\omega t - \beta_e x)} \right. \right\} = |T_{\perp}^b E_0| e^{-\alpha_e z} \cos(\omega t - \beta x) \quad (3.6)$$

เพื่อให้เห็นภาพของคืนที่กำลังเคลื่อนที่ง่ายขึ้นจะสมนติให้ค่าคงตัวการลดทอนเท่ากับศูนย์  $\alpha = 0$  ดังนั้นสมการจะลดรูปเป็น  $\mathcal{E}(x; t) = |T_{\perp}^b E_0| \cos(\omega t - \beta x)$

รูปที่ 3.9 แสดงผลของค่าคงตัวเฟสต่อสถานะไฟฟ้า โดยอาศัยสมการ (2.100) แกนนอนแสดงระยะทางตามแนว  $x$  ซึ่งได้รับการเปลี่ยนจาก  $0\lambda$  ถึง  $9\lambda$  ซึ่งในที่นี่ระยะทางจะอยู่ในรูปของระยะทางเชิงไฟฟ้าก็อความยาวคลื่น แกนตั้งแสดงแอมป์จุของสถานะไฟฟ้า ณ เวลา  $t = 0$ ,  $T/6$  และ  $T/3$  เมื่อ  $T$  คือรอบของสัญญาณไซนุชອบ์ การบทได้รับการวางแผนนัยสำคัญ ณ เวลาเท่ากับ 0 และตำแหน่ง  $x = 0$  และเริ่กต้าแห่นนี้ว่าจุดเริ่มต้น

เมื่อเวลาผ่านพ้นไปจะเห็นเครื่องหมายกาหนาทเลื่อนออกไปจากจุดเริ่มต้น จากซ้ายไปขวา ในทิศ  $+z$  ที่จุด  $x = x_1$  จะมีเฟสเท่ากับเฟส ณ จุดเริ่มต้นที่เวลา  $t = 0$  ก็ต่อเมื่อเวลาผ่านพ้นไปแล้ว  $T/6$  และที่จุด  $x = x_2$  จะมีเฟสเท่ากับเฟส ณ จุดเริ่มต้นที่เวลา  $t = 0$  ก็ต่อเมื่อเวลาผ่านพ้นไปแล้ว  $T/3$  แต่จะดูคลอดความขาว เฟสจะไม่เท่ากับเฟสที่เพิ่งจะออกจากจุดเริ่มต้นในทันทีทันใด แต่จะถูกประวิวเป็นช่วงเวลาหนึ่ง จะเห็นได้ว่าผลของ  $\beta$  ทำให้เกิดนิมการเคลื่อนที่ และทำให้แต่ละจุดคลอดความขาว เฟสจะได้รับการประวิวเป็นช่วงเวลาหนึ่งซึ่งจะเท่ากับเฟสจากจุดเริ่มต้น



รูปที่ 3.9 ผลของค่าคงตัวเฟส ต่อสถานะไฟฟ้า

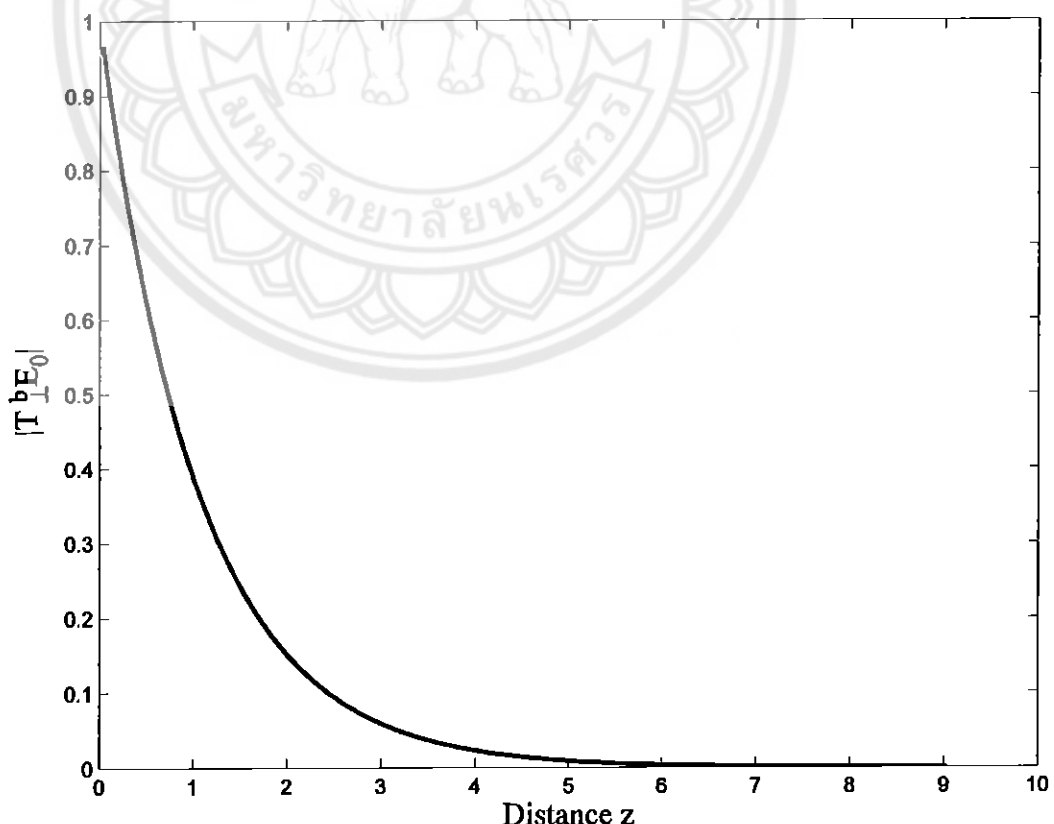
### 3.5 ผลของค่าคงตัวการลดทอน

กำหนดให้ค่าอัตราการระเหยมีมูลค่ามากกว่าอนุวิถุต  $\theta_i > \theta_c$  ตอกย้ำในส่วนของร่าง  
ตามรูปที่ 2.5 ยังผลให้ได้ค่าอัตราส่งผ่าน มีค่าตามสมการ (2.99) พจน์  $T_\perp^b E_0$  ที่ปรากฏในสมการ  
(2.100f) เป็นปริมาณเพลสเซอร์ นั่นคือ  $T_\perp^b E_0$  จะประกอบด้วยขนาดและมูลเพลส เพื่อความง่าย  
ในที่นี้ จะสมมติให้เพลสของ  $T_\perp^b E_0$  มีค่าเป็นศูนย์ จะได้ว่า

$$T_{\perp}^b E_0 e^{-a_{\epsilon} z} e^{-j\beta_{\epsilon} x} = \left| T_{\perp}^b E_0 \right| e^{j0} e^{-a_{\epsilon} z} e^{-j\beta_{\epsilon} x} = \left| T_{\perp}^b E_0 \right| e^{-a_{\epsilon} z} e^{-j\beta_{\epsilon} x} \quad (3.7)$$

เพื่อที่จะศึกษาผลของค่าคงตัวการลดทอน จะนำบันดาลของสنانมุไฟฟ้า  $|T_1^b E_0| e^{-\alpha_c z}$  ในสมการ (2.99) มาวัดเป็นกราฟเทียบกับระยะทาง  $z$  ทำให้ได้กราฟคังแสลงในรูปที่ 3.10

รูปที่ 3.10 แสดงผลของค่าคงตัวการลดthon โดยเปลี่ยนระบบทาง  $z$  จะเห็นได้ว่าที่จุดเริ่มต้น  $z = 0$  ขนาดของสนามไฟฟ้าจะมีค่าเท่ากัน  $|T_1^b E_0|$  ค่านี้จะลดลงอย่างເອກซ์โพเนนเชียล จากจุดเริ่มต้น ไปยังจุดสุดท้าย ณ  $z = 9\lambda$  พจน์  $\alpha$  ที่เป็นค่าบวก แสดงถึงการลดthonที่เกิดขึ้น จึงได้รับการเรียกว่า “ค่าคงตัวการลดthon (attenuation constant)”



รูปที่ 3.10 ผลของค่าคงตัวการลดTHON

### 3.6 การสะท้อนและการส่งผ่านคลื่นในหلامรอยต่อ

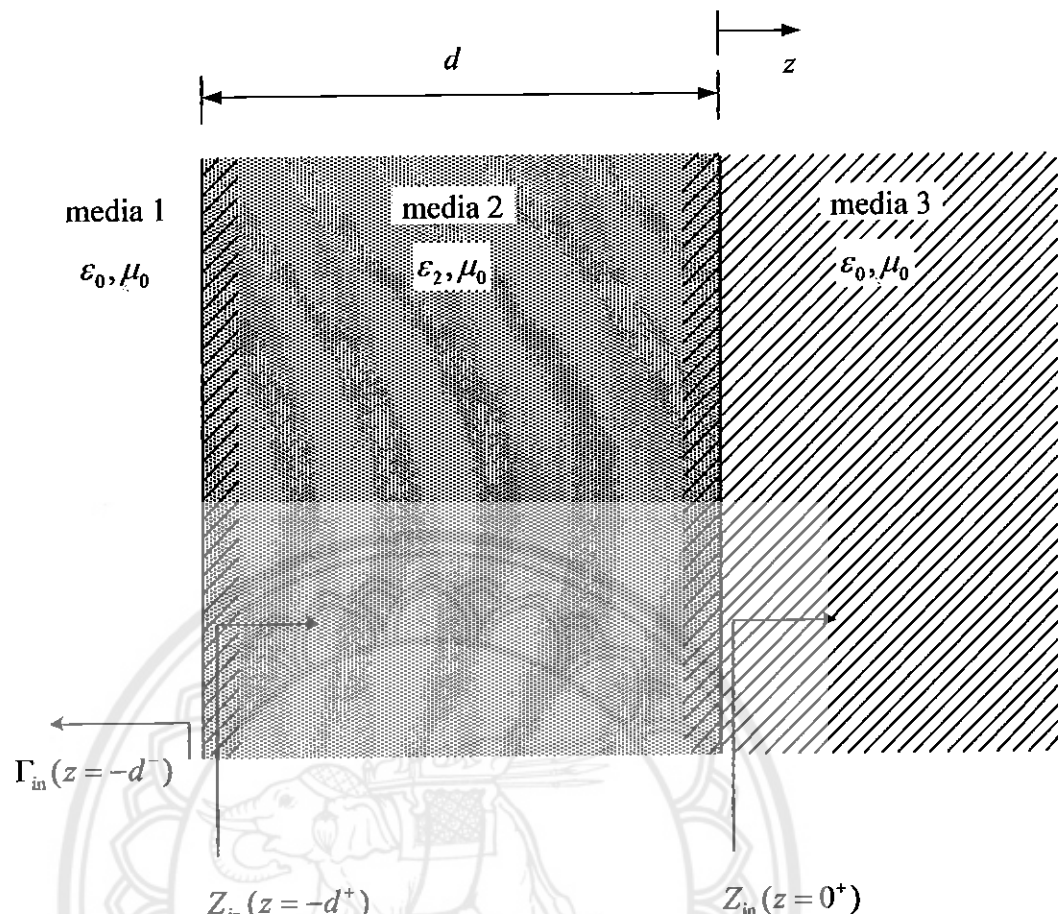
ในหัวข้อนี้จะวิเคราะห์ค่าคลื่นในตัวกล่างที่มีหلامรอยต่อ ตัวอย่างที่ใช้คือวิธีที่หนึ่ง โครงสร้างที่มีสามตัวกล่าง สองรอยต่อ ตัวกล่างไม่มีการสูญเสีย และมีโครงสร้างตามรูปที่ 3.11 ตัวกล่างที่หนึ่งและตัวกล่างที่สองเป็นอว拉斯ว่าง สภาพของเท่ากัน  $\sigma_0$  ตัวกล่างที่สองเป็นสารไครอเจ็กตริก มีความหนาเท่ากัน  $d$  ในที่นี้กำหนดให้มีค่าเท่ากัน  $0.009375 \text{ cm}$  มีสภาพของลัมพ์ที่เท่ากัน  $\varepsilon_2 = 2.56$  ตัวกล่างทั้งสามตัวมีค่าความชื้นชากันได้เท่ากันทั้งหมด และเท่ากัน  $\mu_1 = \mu_2 = \mu_3$  ค่าของอว拉斯ว่าง หรือ  $\mu_1 = \mu_0$  คลื่นตกกระทบจะได้รับการกำหนดให้เดินทางในลักษณะตั้งฉากจากทางด้านซ้ายเข้าสู่ร่องต่อ

สัมประสิทธิ์การสะท้อน สำหรับโครงสร้างนี้ สามารถหาได้สองวิธี วิธีแรกเป็นวิธีที่อาศัยความไม่ต่อเนื่องของอินพีเดนซ์ และอีกวิธีหนึ่งเป็นวิธีที่อาศัยการติดตามรังสี มีรายละเอียดดังนี้

#### 3.6.1 การสะท้อนโดยอาศัยความไม่ต่อเนื่องของอินพีเดนซ์

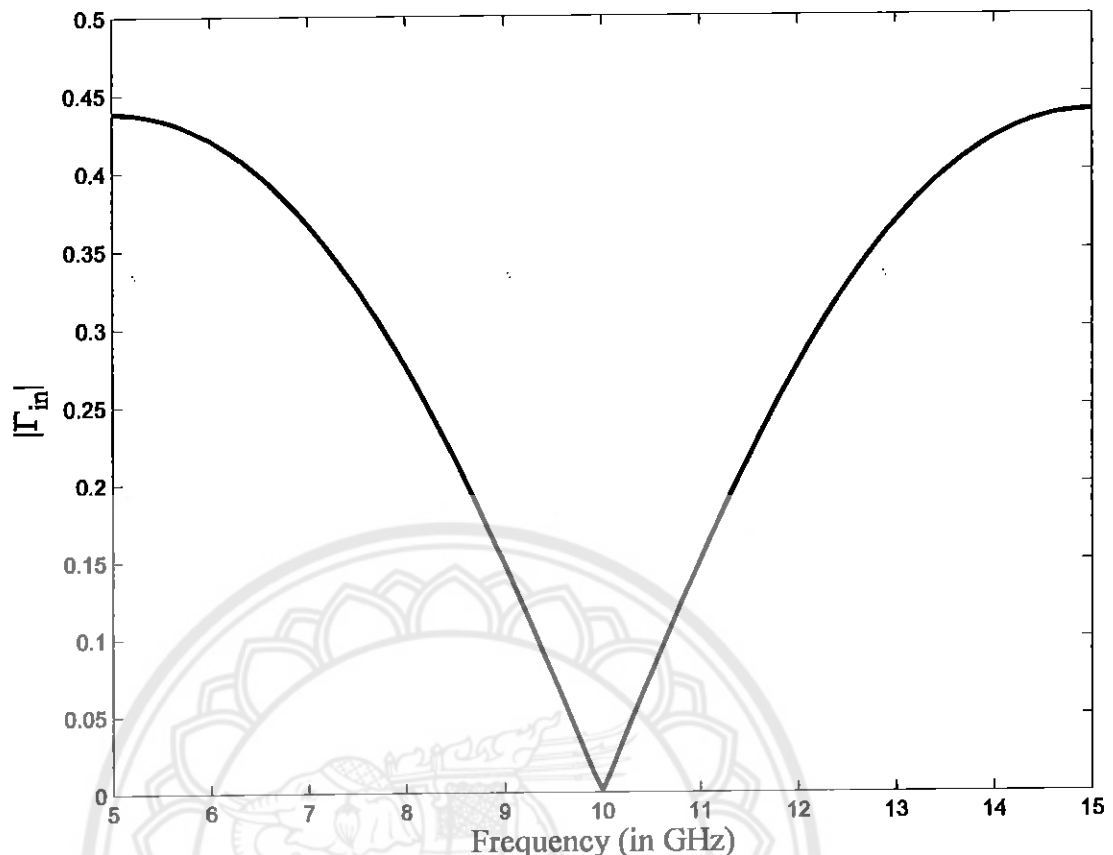
สำหรับการวิเคราะห์โดยอาศัยความไม่ต่อเนื่องของอินพีเดนซ์ จะใช้โครงสร้างตามรูปที่ 3.11 อินพุทอินพีเดนซ์สามารถหาได้จาก ณ ตำแหน่ง  $z = -d^-$  ทางด้านซ้ายเข้าสู่ร่องต่อ สัมประสิทธิ์การสะท้อน ณ ตำแหน่ง  $z = -d^-$  คำนวณได้ตามสมการ (2.109c)

การวิเคราะห์ทำให้ได้ค่าอินพุทสัมประสิทธิ์การสะท้อนกับพังก์ชันของความถี่ดังสมการ (2.109c) เมื่อคำนวณด้วยการใช้โปรแกรม MATLAB ที่แสดงไว้ในภาคผนวก (g) จะได้ค่าของอินพุทสัมประสิทธิ์การสะท้อน ดังแสดงในรูปที่ 3.12



รูปที่ 3.11 โครงสร้างสามตัวกลาง ส่องรอยต่อพร้อมคลื่นมาตรฐานจากด้านซ้าย

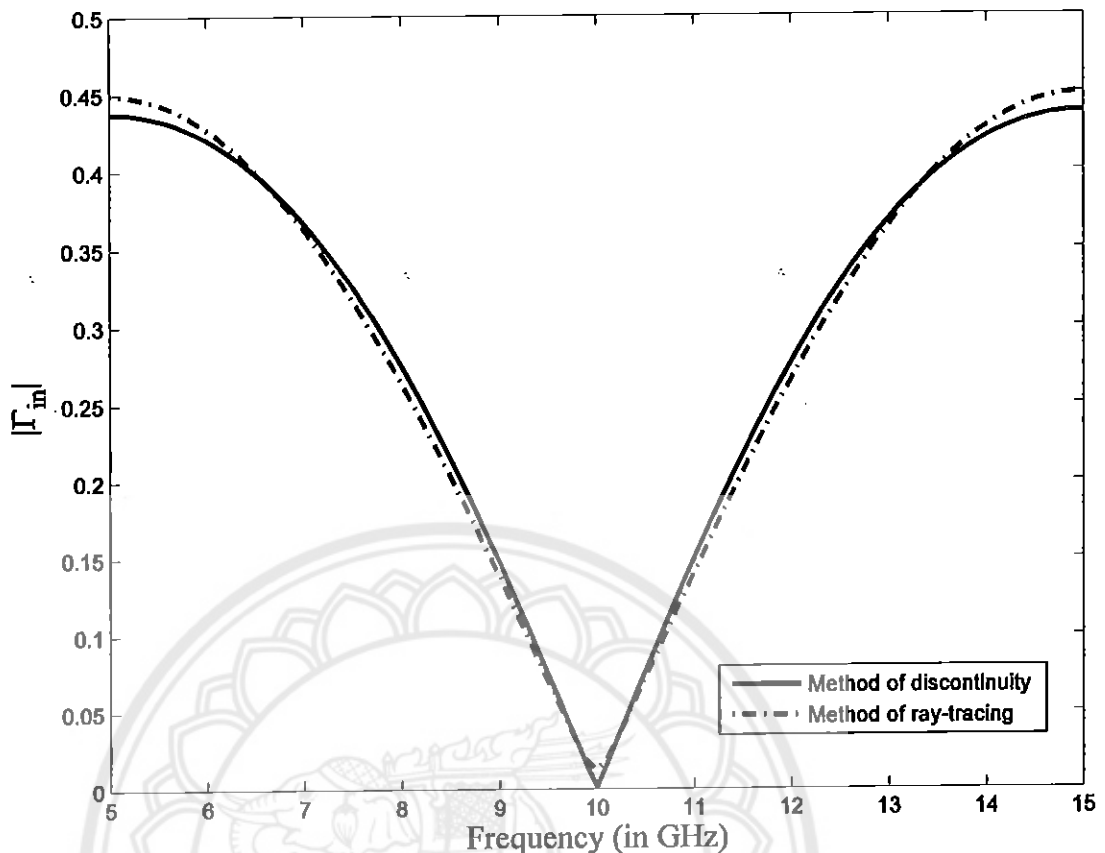
รูปที่ 3.12 แสดงอินพุตสัมประสิทธิ์การสะท้อนที่ทางกวีการของความไม่ต่อเนื่องของอินพีเดนซ์ เมื่อเปลี่ยนความถี่จาก 5 GHz ถึง 15 GHz แกนนอนแสดงความถี่ แกนตั้งแสดงขนาดของสัมประสิทธิ์การสะท้อน และ อินพุต  $\Gamma_{in}(z = -d^-)$  โดยอาศัยสมการ (2.109c) ด้วยโปรแกรม MATLAB ขนาดของสัมประสิทธิ์การสะท้อนมีค่าลดลง เมื่อความถี่เปลี่ยนจาก 5 GHz ถึง 10 GHz จนกระทั่งมีค่าต่ำสุดที่ความถี่เท่ากับ 10 GHz และ จุดนี้สัมประสิทธิ์การสะท้อน มีค่าเท่ากับศูนย์ และให้เห็นว่าคลื่นส่งผ่านไปยังตัวกลางที่สองทั้งหมด เมื่อเพิ่มความถี่จาก 10 GHz ถึง 15 GHz จะพบว่า ขนาดของสัมประสิทธิ์การสะท้อนจะมีค่าสูงขึ้น กราฟจะมีความสมมาตรรอบแนวความถี่ 10 GHz



รูปที่ 3.12 ขนาดสัมประสิทธิ์การสะท้อน ณ อินพุท กับฟังก์ชันของความถี่

### 3.6.2 การสะท้อนโดยอาศัยการติดตามรังสี

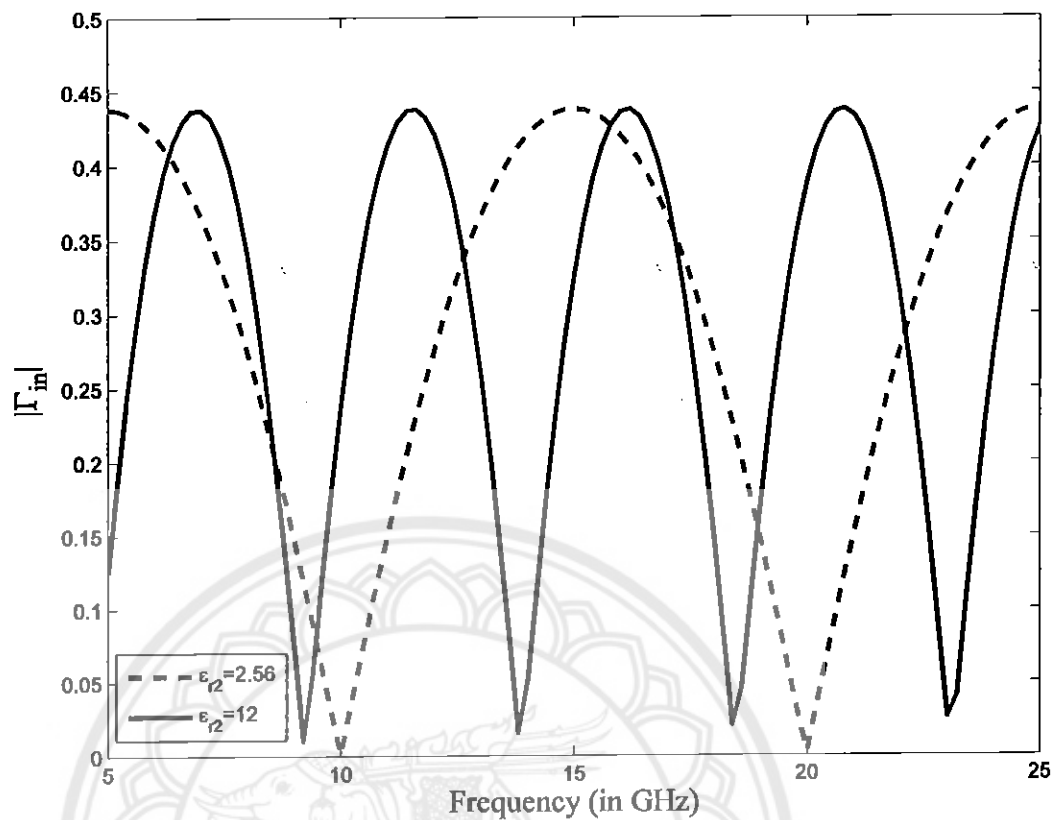
สัมประสิทธิ์การสะท้อนสามารถหาได้จากอีกวิธีหนึ่ง คืออาศัยการติดตามรังสีของคลื่น ดังแสดงในหัวข้อ 2.5.2 เมื่อพิจารณาในโครงสร้างเดียวกับในส่วนอาศัยความไม่ต่อเนื่องของอิมพีเดนซ์ ผลการวิเคราะห์สามารถแสดงเป็นกราฟได้ดังรูปที่ 3.13



รูปที่ 3.13 ขนาดสัมประสิทธิ์การสะท้อน ณ อินพุท กับฟังก์ชันของความถี่

รูปที่ 3.13 แสดงขนาดอินพุทสัมประสิทธิ์การสะท้อน เมื่อเปลี่ยนความถี่จาก 5 GHz ถึง 15 GHz เนื่องจากแสดงสัมประสิทธิ์การสะท้อนที่อาศัยการติดตามรังสี เส้นประแสดงสัมประสิทธิ์การสะท้อนที่อาศัยความไม่ต่อเนื่องของอินพีเดนซ์ สำหรับวิธีการติดตามรังสี จะพิจารณาการเคลื่อนที่ไปกลับสองรอบ ยังผลให้ได้สมการ (2.112) ผลการวิเคราะห์พบว่า กราฟทั้งสองมีค่าใกล้เคียงกันตลอดช่วงทั้งหมดของความถี่

รูปที่ 3.14 แสดงขนาดอินพุทสัมประสิทธิ์การสะท้อนที่ทางจากความไม่ต่อเนื่องของอินพีเดนซ์ เมื่อเปลี่ยนความถี่จาก 5 GHz ถึง 25 GHz โดยอาศัยสมการ (2.109c), (2.112) สำหรับกรณี  $\epsilon_{r2} = 12$  (เส้นทึบ) ตลอดช่วงความถี่นี้ กราฟจะแสดงการเพิ่มขึ้นและการลดลงของขนาดสัมประสิทธิ์เป็นค่า โดยมีค่าสูงสุดและต่ำสุดสลับกัน จุดสูงสุดมีอยู่ 4 ตำแหน่ง คือ ณ ความถี่ 7, 11.6, 16.2 และ 20.8 GHz จุดต่ำสุดมีอยู่ 4 ตำแหน่ง คือ ณ ความถี่ 9.2, 13.8, 18.4 และ 23 GHz ค่าของขนาดสัมประสิทธิ์ตามตำแหน่งที่กล่าวมานี้ค่าไม่เกินอันดับ  $10^{-2}$  ซึ่งคือว่าเข้าใกล้ศูนย์ จุดต่ำสุดที่อยู่ติดกันมีอยู่ห่างกันเท่ากับ 3.6 GHz สำหรับกรณี  $\epsilon_{r2} = 2.56$  (เส้นประ) กราฟจะแสดงลักษณะการเพิ่มขึ้นและการลดลง และการเกิดสลับกันของค่าสูงสุดและต่ำสุด เช่นเดียวกับ จุดสูงสุดมีอยู่ 3 ตำแหน่งคือ ณ ความถี่ 5, 10, 15 GHz จุดต่ำสุดมีอยู่ 2 ตำแหน่ง คือ



รูปที่ 3.14 ขนาดสัมประสิทธิ์การสะท้อนจากวิธีความไม่ต่อเนื่องของอนพีแคนซ์

ณ ความถี่ 10 และ 20 GHz ค่าของขนาดสัมประสิทธิ์ ณ ทุกตำแหน่งมีค่าไม่เกินอันดับ  $10^{-2}$  จุดต่ำสุดที่อยู่ติดกันมีระยะห่าง 10 GHz จะเห็นได้ว่าเมื่อ  $\epsilon_{r2}$  มีค่าเพิ่มขึ้นจะส่งผลให้ระยะห่าง จุดต่ำสุดที่อยู่ติดกันมีค่าลดลง

## บทที่ 4

### สรุปผลการวิเคราะห์และข้อเสนอแนะ

#### 4.1 สรุปผลการวิเคราะห์

การสะท้อนและการส่งผ่านของคลีนระหว่างตัวกลางที่ไม่มีการสูญเสีย บนรอยต่อแบบรำเริง ได้รับการศึกษา คลีนตามวาง ได้รับการกำหนดให้ตกรอบในลักษณะตั้งฉากและตกรอบ ทำมุมอีบงบนร้อยค่อของสองตัวกลาง ผลการวิเคราะห์สำหรับกรณีแรกแสดงให้เห็นว่า คลีน จะสะท้อนกลับเพิ่มขึ้น และส่งผ่านไปยังตัวกลางถัดไปลดลง เมื่อความแตกต่างระหว่างอินพิเดนซ์ มีค่าสูงขึ้น สำหรับการตกรอบทำมุมอีบง จะแยกเป็นสองกรณีคือ คลีนตกรอบที่มี การโพลาไรซ์แบบตั้งฉากและที่มีการโพลาไรซ์แบบขนาน พบว่าสัมประสิทธิ์การสะท้อน จะเพิ่มขึ้นในขณะที่สัมประสิทธิ์การส่งผ่านจะลดลง สำหรับการส่งผ่านหมวดจะเกิดขึ้นเมื่อคลีน แพร่กระจายจากตัวกลางที่หนาแน่นมากกว่าไปยังตัวกลางที่หนาแน่นน้อยกว่า และสำหรับ การโพลาไรซ์ทั้งสองแบบ มุมสะท้อนกลับหมวดจะมีรูปแบบสูตรเดียวกันและขึ้นกับความสัมพันธ์ ปุรงแต่งของตัวกลาง มุมบริเวณสเตรอร์ค่อนหนึ่งที่ซึ่งคลีนสะท้อนสูญไป มุมบริเวณสเตรอร์จะเกิดขึ้น ก็ต่อเมื่อการโพลาไรซ์ของคลีนเป็นแบบขนานเท่านั้น สำหรับผลของค่าคงตัวเฟส พบว่า ค่าคงตัวเฟส จะทำให้คลีนมีการเคลื่อนที่ และทำให้แต่ละจุดคลอกความยาว เพื่อจะได้รับ การประจิวิวเป็นช่วงเวลาหนึ่งจึงจะทำกับเฟสจากจุดเริ่มต้น และสำหรับผลของค่าคงตัว การลดทอน พบร่วมน้ำดของสารน้ำไฟฟ้าจะลดลงอย่างเอกสาร “โพเนนเชียลจากจุดเริ่มต้น ไปยังจุด สูคท้าย และคงถึงการลดทอนที่เกิดขึ้น การสะท้อนและส่งผ่านคลีนในหลายรอบต่อสามารถหาได้ สองวิธี วิธีแรกจะอาศัยความไม่ต่อเนื่องของอินพิเดนซ์ และวิธีที่สองคือการติดตามรังสี วิธีติดตาม รังสีแสดงการขึ้นอยู่กับความถี่ของสัมประสิทธิ์การสะท้อนที่สอดคล้องเป็นอย่างดีกับผลที่ได้จาก วิธีความไม่ต่อเนื่องของอินพิเดนซ์

#### 4.2 ข้อเสนอแนะ

การวิเคราะห์การสะท้อนและการส่งผ่านของคลีนระหว่างตัวกลางที่ไม่มีการสูญเสีย บนรอยต่อแบบรำเริง เป็นเพียงการวิเคราะห์ทางคณิตศาสตร์โดยวิธีการทางทฤษฎี แต่เนื่องจากในการใช้งาน จริงอาจมีปัจจัยภายนอกเข้ามายกเว้น เช่น ภูมิอากาศ สภาพแวดล้อม และปัจจัยอื่นๆที่อาจ ทำให้ผลการวิเคราะห์ที่มีความคลาดเคลื่อนไปบ้าง หากต้องการที่จะให้ข้อมูลเกี่ยวกับสมรรถนะ ขยะปฏิบัติงาน ได้ไกด์เคียงความจริงมากที่สุด ก็สามารถทำได้โดยการวัดและทดสอบในบ้าน ทดลองจริง

## เอกสารอ้างอิง

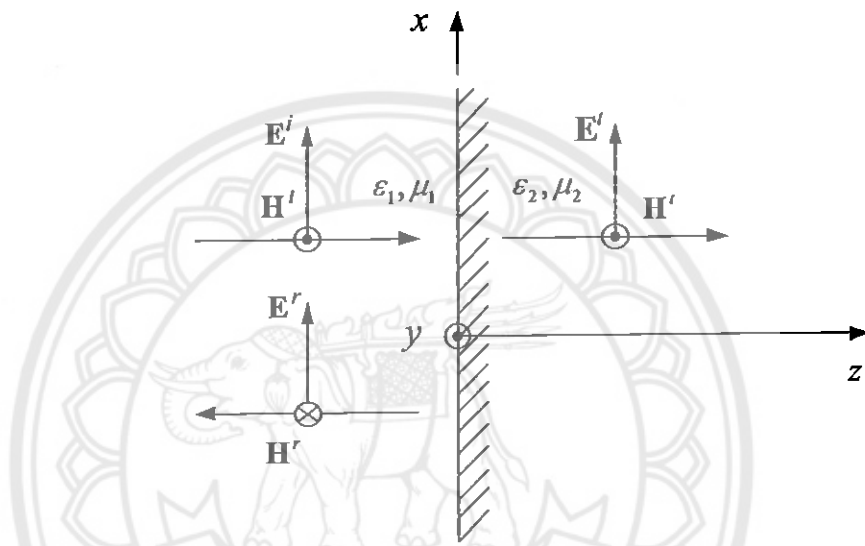
- [1] Constantine A. Balanis. (2005). Advanced engineering electromagnetics (Ed). United States of America: John Wiley & Sons.
- [2] รศ.ดร.มนัส สังวรศิลป์ และคณะ. (2543). คู่มือการใช้งาน MATLAB ฉบับสมบูรณ์. (พิมพ์ครั้งที่ 1). นนทบุรี: สำนักพิมพ์อินโฟเพรส.
- [3] โนไนย ไกรฤกษ์. (2544). วิศวกรรมคลื่นแม่เหล็กไฟฟ้า. (พิมพ์ครั้งที่ 3). กรุงเทพมหานคร: สำนักพิมพ์พิมพ์สวบ.
- [4] ศรีภณ สมควรพาณิชย์, นนิษฐา แซ่ตั้ง.(2541). สนามแม่เหล็กไฟฟ้า (Engineering electromagnetics). (พิมพ์ครั้งที่ 2). กรุงเทพมหานคร: สำนักพิมพ์พิมพ์ท้อป.
- [5] ดร.กิตติพัฒน์ ตันคระรุ่ง โรงน์ (2541). (พิมพ์ครั้งแรก) ทฤษฎีสายส่งไฟฟ้า. กรุงเทพมหานคร: สำนักพิมพ์พิมพ์ดี.



สัมประสิทธิ์การสะท้อนและสัมประสิทธิ์การส่งผ่าน

## สัมประสิทธิ์การสะท้อนและสัมประสิทธิ์การส่งผ่าน

กำหนดให้คลื่นระนาบตัวหนึ่งซึ่งสนามไฟฟ้าและสนามแม่เหล็กค่าเป็น  $E^i$  และ  $H^i$  กำลังตกกระทบ รอยต่อ ระหว่างตัวกลางที่หนึ่ง และตัวกลางที่สอง มีสภาพขอมและความซึ่งซาบได้ของตัวกลางที่หนึ่ง เท่ากับ  $\mu_1$  และ  $\epsilon_1$  และตัวกลางที่สองมีค่าสภาพขอมและความซึ่งซาบได้เท่ากับ  $\mu_2$  และ  $\epsilon_2$  ตามลำดับ ดังแสดงในรูปที่ ก.1



รูปที่ ก.1 คลื่นสะท้อนและคลื่นส่งผ่านเมื่อคลื่นตกกระทบตั้งฉากกับต่อของตัวกลางสองชนิด

สนามไฟฟ้าและสนามแม่เหล็กเชิง渥ภาศ สำหรับคลื่นตกกระทบในตัวกลางที่หนึ่ง ซึ่งเคลื่อนที่ในทิศ  $+z$  สามารถเขียนได้ตามลำดับเป็น

$$\mathbf{E}^i = \hat{\mathbf{a}}_x E_0 e^{-j\beta_1 z} \quad (\text{ก.1})$$

$$\mathbf{H}^i = \hat{\mathbf{a}}_y \frac{E_0}{\eta_1} e^{-j\beta_1 z} \quad (\text{ก.2})$$

เมื่อ  $E_0$  คือแอมปิวูลของคลื่นตกกระทบ และ  $\eta_1$  คือ อินพิเดนซ์ทรินซิก (intrinsic impedance) ของตัวกลางที่หนึ่ง คลื่นตกกระทบบางส่วนจะได้รับการส่งผ่านไปยังตัวกลางที่สอง ในที่นี้กำหนดให้มีค่าเป็น

$$\mathbf{E}^t = \hat{\mathbf{a}}_x T^b E_0 e^{-j\beta_2 z} \quad (\text{ก.3})$$

$$\mathbf{H}^i = \hat{\mathbf{a}}_y \frac{T^b E_0}{\eta_2} e^{-j\beta_2 z} \quad (ก.4)$$

เมื่อ  $T^b$  คือสัมประสิทธิ์การส่งผ่าน ณ รอยต่อ (transmission coefficient) และ  $\eta_2$  คือ อิมพีเดนซ์ทรินซิก (intrinsic impedance) ของตัวกลางที่สอง คลื่นที่เหลือจะสะท้อนจากรอยต่อ และ เคลื่อนที่ในทิศทาง  $-z$  มีค่าดังนี้

$$\mathbf{E}' = \hat{\mathbf{a}}_x \Gamma^b E_0 e^{+j\beta_1 z} \quad (ก.5)$$

$$\mathbf{H}' = -\hat{\mathbf{a}}_y \frac{\Gamma^b E_0}{\eta_1} e^{+j\beta_1 z} \quad (ก.6)$$

เมื่อ  $\Gamma^b$  คือ สัมประสิทธิ์การสะท้อน (reflection coefficient) ณ รอยต่อ บังคับเงื่อนไขข้อมบท ความต่อเนื่องสนามไฟฟ้าในแนวสัมผัสที่รอยต่อ ณ ตำแหน่ง  $z = 0$  หรือ  $[\mathbf{E}^i + \mathbf{E}']_{z=0} = \mathbf{E}'|_{z=0}$  จากนั้นแทนค่าด้วย (ก.1), (ก.3) และ (ก.5) ทำให้ได้

$$1 + \Gamma^b = T^b \quad (ก.7)$$

บังคับเงื่อนไขข้อมบท ความต่อเนื่องสนามแม่เหล็กในแนวสัมผัสที่รอยต่อ ณ ตำแหน่ง  $z = 0$  หรือ  $[\mathbf{H}^i + \mathbf{H}']_{z=0} = \mathbf{H}'|_{z=0}$  แทนค่าด้วย (ก.2), (ก.4) และ (ก.6) ทำให้ได้

$$\frac{1}{\eta_1} (1 - \Gamma^b) = \frac{1}{\eta_2} T^b \quad (ก.8)$$

แทน  $T^b$  ใน (ก.8) ด้วย (ก.7) จะได้ว่า

$$\frac{1}{\eta_1} (1 - \Gamma^b) = \frac{1}{\eta_2} (1 + \Gamma^b) \quad (ก.9)$$

ทำให้ได้สัมประสิทธิ์การสะท้อนมีค่าเป็น

$$\Gamma^b = \frac{\eta_2 - \eta_1}{\eta_2 + \eta_1} \quad (ก.10)$$

เพื่อที่จะหาค่าสัมประสิทธิ์การส่งผ่าน  $T^b$  ณ รอยต่อ จั่วหน้า  $\Gamma^b$  ใน (ก.8) ด้วย (ก.7) จะได้ว่า

$$\frac{1}{\eta_1} [1 - (T^b - 1)] = \frac{1}{\eta_2} T^b \quad (\text{ก.11})$$

ทำให้ได้สัมประสิทธิ์การส่งผ่าน ณ รอยต่อ มีค่าเป็น

$$T^b = \frac{2\eta_2}{\eta_2 + \eta_1} \quad (\text{ก.12})$$





ภาคผนวก ๖

การสะท้อนและการส่งผ่านคุณค่าในหลายรอยต่อ

โดยอาศัยวิธีความไม่ต่อเนื่องของอิมพีเดนซ์

## การสะท้อนและการส่งผ่านคลื่นในหด้ายรอยต่อ<sup>โดยอาศัยวิธีความไม่ต่อเนื่องของอิมพีเดนซ์</sup>

พิจารณาตัวกล่างไม่มีการสูญเสีย และมีโครงสร้างตามรูปที่ ข.1 ตัวกล่างนี้ทั้งหมดสามตัว ตัวกล่างที่หนึ่ง ส่อง และสาม มีสภาวะของเท่ากับ  $\epsilon_1$ ,  $\epsilon_2$  และ  $\epsilon_3$  และมีความชื้นชานได้เท่ากับ  $\mu_1$ ,  $\mu_2$  และ  $\mu_3$  ตามลำดับ ดังแสดงในรูปที่ ข.1 รอบต่อระหว่างตัวกล่างมีลักษณะราบเรียบ โดยที่ตัวกล่างที่สองมีความหนาเท่ากับ  $d$  คลื่นตกกระทบจะได้รับการกำหนดให้เดินทางในลักษณะตั้งฉากเข้าสู่รอบต่อระหว่างตัวกล่างที่สองและตัวกล่างที่หนึ่ง ยังผลให้คลื่นบางส่วนเดินทางผ่านรอบต่อ และบางส่วนสะท้อนจากรอบต่อนี้ สัมประสิทธิ์การสะท้อนจะกำหนดโดยคุณสมบัติของตัวกล่างตลอดโครงสร้าง ซึ่งสามารถหาได้สองวิธี ในที่นี้จะกล่าวถึงการอาศัยความไม่ต่อเนื่องของอิมพีเดนซ์นี้รายละเอียดดังนี้

พิจารณาที่ ข.1 เมื่อพิจารณา ณ ด้านขวาของรอบต่อระหว่างตัวกล่างที่สองและตัวกล่างที่สาม ในทิศทางไปสู่ตัวกล่างที่สาม อิมพีเดนซ์เข้า ณ ตำแหน่ง  $Z_{in}(z = 0^+)$  ดังแสดงในรูปที่ ข.1 จะมีค่าเท่ากับ  $\eta_3$

$$Z_{in}(z = 0^+) = \eta_3 = \sqrt{\frac{\mu_3}{\epsilon_3}} \quad (\text{ข.1})$$

อิมพีเดนซ์บนสาย (line impedance) ณ ระยะ  $d$  จากการนี้ค่าเป็น

$$Z(d) = \eta_2 \frac{\eta_3 + \eta_2 \tanh j\beta d}{\eta_2 + \eta_3 \tanh j\beta d} \quad (\text{ข.2})$$

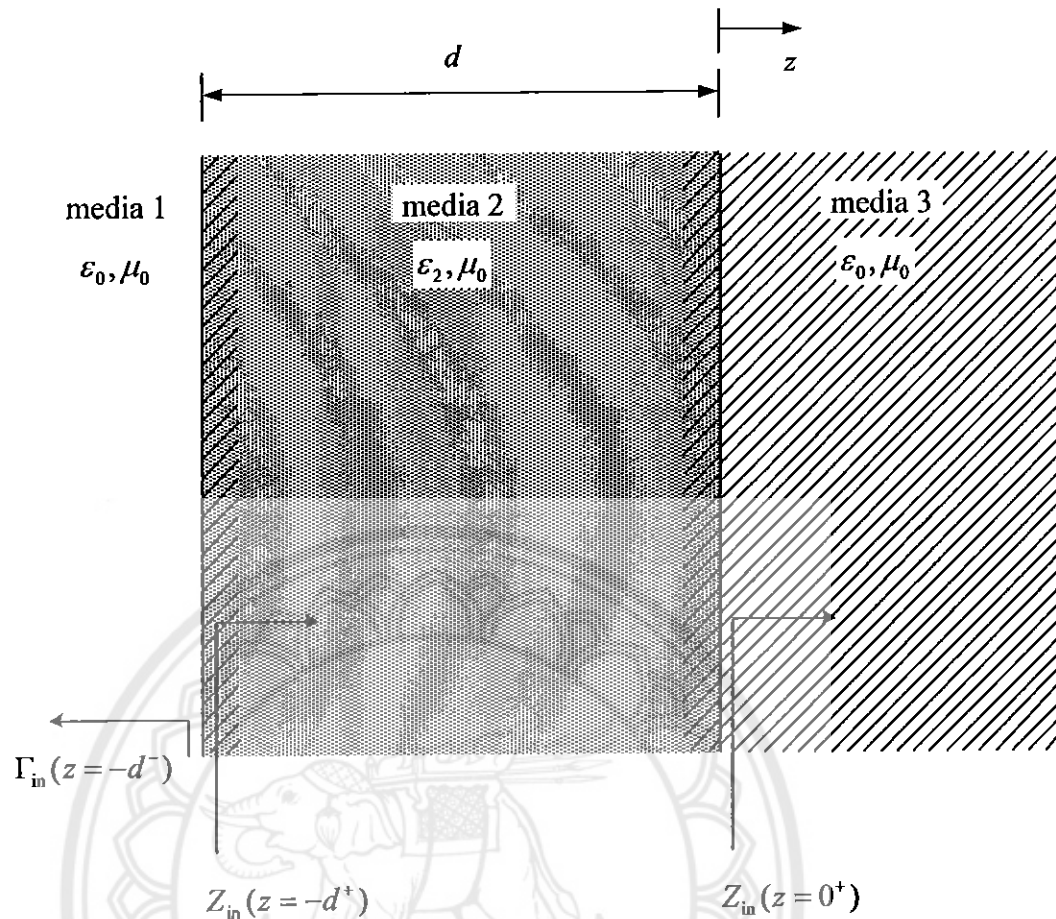
โดยอาศัย

$$\sinh j\beta d = j \sin \beta d \quad (\text{ข.3})$$

$$\cosh j\beta d = \cos \beta d \quad (\text{ข.4})$$

จะได้

$$Z(d) = \eta_2 \frac{\eta_3 \cos(\beta d) + \eta_2 j \sin(\beta d)}{\eta_2 \cos(\beta d) + \eta_3 j \sin(\beta d)} \quad (\text{ข.5})$$



รูปที่ ๗.๑ สัมประสิทธิ์การสะท้อนที่เกิดขึ้นจากความไม่ต่อเนื่องของอัมพีเดนซ์  
(method of discontinuity)

โดยอาศัย

$$\sin \beta d = \frac{e^{j\beta d} - e^{-j\beta d}}{2j} \quad (7.6)$$

$$\cos \beta d = \frac{e^{j\beta d} + e^{-j\beta d}}{2j} \quad (7.7)$$

จะได้ว่า

$$Z(d) = \eta_2 \frac{(\eta_3 + \eta_2)e^{j\beta d} + (\eta_3 - \eta_2)e^{-j\beta d}}{(\eta_3 + \eta_2)e^{j\beta d} + (\eta_3 - \eta_2)e^{-j\beta d}} \quad (7.8)$$

ทำให้สัมประสิทธิ์การสะท้อน ณ ตำแหน่ง  $d$  จะมีค่าเท่ากับ

$$\Gamma_{in}(d) = \frac{Z(d) - \eta_1}{Z(d) + \eta_1} \quad (\text{¶.9})$$

$$= \frac{\eta_2 \left[ (\eta_3 + \eta_2) + (\eta_3 - \eta_2) e^{-j2\beta d} \right] - \eta_1 \left[ (\eta_3 + \eta_2) + (\eta_3 - \eta_2) e^{-j2\beta d} \right]}{\eta_2 \left[ (\eta_3 + \eta_2) + (\eta_3 - \eta_2) e^{-j2\beta d} \right] + \eta_1 \left[ (\eta_3 + \eta_2) + (\eta_3 - \eta_2) e^{-j2\beta d} \right]} \quad (\text{¶.10})$$

$$= \frac{\eta_2 \eta_3 + \eta_2^2 + \eta_2 \eta_3 e^{-j2\beta_1 d} - \eta_2^2 e^{-j2\beta_1 d} - \eta_1 \eta_3 - \eta_1 \eta_2 + \eta_1 \eta_3 e^{-j2\beta_1 d} - \eta_1 \eta_2 e^{-j2\beta_1 d}}{\eta_2 \eta_3 + \eta_2^2 + \eta_2 \eta_3 e^{-j2\beta_1 d} - \eta_2^2 e^{-j2\beta_1 d} + \eta_1 \eta_3 + \eta_1 \eta_2 - \eta_1 \eta_3 e^{-j2\beta_1 d} + \eta_1 \eta_2 e^{-j2\beta_1 d}} \quad (\text{¶.11})$$

$$\Gamma_{in}(d) = \frac{(\eta_2 - \eta_1)(\eta_3 + \eta_2) + (\eta_2 + \eta_1)(\eta_3 - \eta_2) e^{-j2\beta_1 d}}{(\eta_2 + \eta_1)(\eta_3 + \eta_2) + (\eta_2 - \eta_1)(\eta_3 - \eta_2) e^{-j2\beta_1 d}} \quad (\text{¶.12})$$

โดยใช้ความสัมพันธ์ของสมการ

$$\Gamma_{12} = \frac{\eta_2 - \eta_1}{\eta_2 + \eta_1} \quad (\text{¶.13})$$

โดยที่  $\Gamma_{12}$  เป็นสัมประสิทธิ์การสะท้อนจากตัวกลางที่สองไปยังตัวกลางที่หนึ่ง

และ

$$\Gamma_{23} = \frac{\eta_3 - \eta_2}{\eta_3 + \eta_2} \quad (\text{¶.14})$$

จะเป็นสัมประสิทธิ์การสะท้อนที่ตัวกลางที่สามไปยังตัวกลางที่สอง

ทำให้สัมประสิทธิ์การสะท้อน ณ ตำแหน่ง  $d$  ดังแสดงในรูปที่ ๑.๑ จะมีค่าเท่ากับดังสมการข้างล่างนี้

$$\Gamma_{in}(d) = \frac{\Gamma_{12} + \Gamma_{23} e^{-j2\beta d}}{1 + \Gamma_{12} \Gamma_{23} e^{-j2\beta d}} \quad (\text{¶.15})$$



ภาคนวัก ค

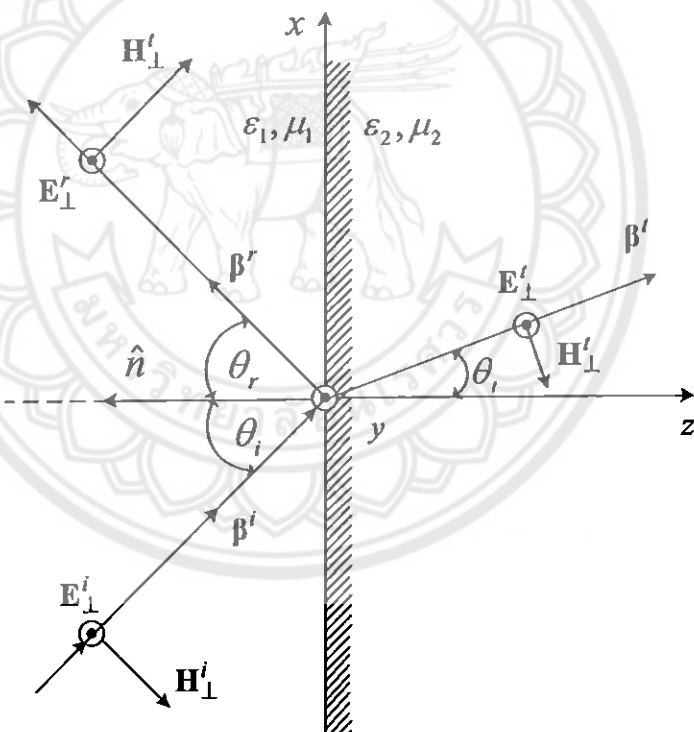
สัมประสิทธิ์การสะท้อนและสัมประสิทธิ์การสร้างผ่าน  
เมื่อคลื่นตกรอบทำมุ่นเอียงกับรอยต่อ

## สัมประสิทธิ์การสะท้อนและสัมประสิทธิ์การส่งผ่าน เมื่อคลื่นต่อกกระทบทำมุนเอียงกับร้อยต่อ

การวิเคราะห์การสะท้อนและการส่งผ่านที่มุนเอียงไดๆ ที่ทำกับร้อยต่อ จะแยกพิจารณาเป็นสองกรณีคือ กรณีการ โพลาไรซ์แบบตั้งฉาก และกรณีโพลาไรซ์แบบขานาน

### ค.1 การโพลาไรซ์แบบตั้งฉาก

กรณีนี้สนาณไฟฟ้าอยู่ในทิศทางตั้งฉากกับระนาบของการต่อกกระทบ สมมติให้สนาณไฟฟ้าของคลื่นระนาบสม่ำเสมอ ต่อกกระทบบนร้อยต่อที่เป็นระนาบระหว่างตัวกลางทั้งสอง โดยที่คลื่นทำมุนเอียงกับแนวตั้งฉากกับร้อยต่อ ดังแสดงในรูปที่ ค.1



รูปที่ ค.1 คลื่นระนาบสม่ำเสมอของการ โพลาไรซ์แบบตั้งฉากเดินทางทำมุนเอียงมาต่อกกระทบ\_r

สนามไฟฟ้าและสนามแม่เหล็กที่เดินทางมาต่อกำแพงแสดงได้ดังสมการ

$$\mathbf{E}'_{\perp} = \hat{\mathbf{a}}_y E'_{\perp} e^{-j\beta' r} = \hat{a}_y E_0 e^{-j\beta_1(x \sin \theta_i + z \cos \theta_i)} \quad (ก.1)$$

$$\mathbf{H}'_{\perp} = (-\hat{a}_x \cos \theta_i + \hat{a}_z \sin \theta_i) H'_{\perp} e^{-j\beta' r} \quad (ก.2)$$

$$= (-\hat{a}_x \cos \theta_i + \hat{a}_z \sin \theta_i) \frac{E_0}{\eta_1} e^{-j\beta_1(x \sin \theta_i + z \cos \theta_i)} \quad (ก.3)$$

เนื่องจากอยู่ต่อหน้าห้องแม่เหล็กที่เดินทางมายังคงไฟฟ้าไว้ทำให้สนามไฟฟ้าของคลื่นต่อกำแพงมีค่าเป็น

$$\mathbf{E}'_{\perp} = \hat{\mathbf{a}}_y E'_{\perp} e^{-j\beta' r} = \hat{\mathbf{a}}_y \Gamma^b_{\perp} E_0 e^{-j\beta_1(x \sin \theta_r - z \cos \theta_r)} \quad (ก.4)$$

$$\mathbf{H}'_{\perp} = (\hat{a}_x \cos \theta_r + \hat{a}_z \sin \theta_r) H'_{\perp} e^{-j\beta' r} \quad (ก.5)$$

$$= (\hat{a}_x \cos \theta_r + \hat{a}_z \sin \theta_r) \frac{\Gamma^b_{\perp} E_0}{\eta_1} e^{-j\beta_1(x \sin \theta_r - z \cos \theta_r)} \quad (ก.6)$$

ส่วนประกอบของคลื่นที่เดินทางเข้าไปปัจจุบันที่สองแสดงได้ดังนี้

$$\mathbf{E}'_{\perp} = \hat{\mathbf{a}}_y E'_{\perp} e^{-j\beta' r} = \hat{\mathbf{a}}_y T^b_{\perp} E_0 e^{-j\beta_2(x \sin \theta_i + z \cos \theta_i)} \quad (ก.7)$$

$$\mathbf{H}'_{\perp} = (-\hat{a}_x \cos \theta_i + \hat{a}_z \sin \theta_i) H'_{\perp} e^{-j\beta' r} \quad (ก.8)$$

$$= (-\hat{a}_x \cos \theta_i + \hat{a}_z \sin \theta_i) \frac{T^b_{\perp} E_0}{\eta_2} e^{-j\beta_2(x \sin \theta_i + z \cos \theta_i)} \quad (ก.9)$$

บังคับเงื่อนไขของเขต ความต่อเนื่องของสนามแม่เหล็กในแนวสัมผัสที่รับอยู่ต่อ ณ ตำแหน่ง  $z = 0$

หรือ  $[\mathbf{E}'_{\perp} + \mathbf{E}'_{\perp}]_{z=0} = \mathbf{E}'_{\perp}|_{z=0}$  ทำให้ได้

$$1 + \Gamma^b_{\perp} = T^b_{\perp} \quad (ก.10)$$

บังคับเงื่อนไขของเขต ความต่อเนื่องของสนามแม่เหล็กในแนวสัมผัสที่รับอยู่ต่อ ณ ตำแหน่ง  $z = 0$

หรือ  $[\mathbf{H}'_{\perp} + \mathbf{H}'_{\perp}]_{z=0} = \mathbf{H}'_{\perp}|_{z=0}$  ทำให้ได้

$$\frac{\cos \theta_i}{\eta_1} (1 + \Gamma^b_{\perp}) = -\frac{\cos \theta_i}{\eta_2} T^b_{\perp} \quad (ก.11)$$

แทน  $T_{\perp}^b$  ใน (ค.13) ด้วย (ค.14) เพื่อหา  $\Gamma_{\perp}^b$

$$\frac{\cos \theta_i}{\eta_1} (-1 + \Gamma_{\perp}^b) = -\frac{\cos \theta_i}{\eta_2} (1 + \Gamma_{\perp}^b) \quad (\text{ค.12})$$

$$-\frac{\cos \theta_i}{\eta_1} + \frac{\cos \theta_i \Gamma_{\perp}^b}{\eta_1} = -\frac{\cos \theta_i}{\eta_2} - \frac{\cos \theta_i \Gamma_{\perp}^b}{\eta_2} \quad (\text{ค.13})$$

$$\Gamma_{\perp}^b \left( \frac{\eta_2 \cos \theta_i + \eta_1 \cos \theta_i}{\eta_1 \eta_2} \right) = \frac{\eta_2 \cos \theta_i - \eta_1 \cos \theta_i}{\eta_1 \eta_2} \quad (\text{ค.14})$$

$$\Gamma_{\perp}^b = \frac{\eta_2 \cos \theta_i - \eta_1 \cos \theta_i}{\eta_2 \cos \theta_i + \eta_1 \cos \theta_i} \quad (\text{ค.15})$$

แทน  $\Gamma_{\perp}^b$  ใน (ค.13) ด้วย (ค.14) เพื่อหา  $T_{\perp}^b$

$$\frac{\cos \theta_i}{\eta_1} (-1 + \Gamma_{\perp}^b) = -\frac{\cos \theta_i}{\eta_2} T_{\perp}^b \quad (\text{ค.16})$$

$$-\frac{\cos \theta_i}{\eta_1} + \frac{\cos \theta_i (T_{\perp}^b - 1)}{\eta_1} = -\frac{\cos \theta_i}{\eta_2} T_{\perp}^b \quad (\text{ค.17})$$

$$\frac{\cos \theta_i T_{\perp}^b}{\eta_1} + \frac{\cos \theta_i T_{\perp}^b}{\eta_2} = \frac{\cos \theta_i}{\eta_1} + \frac{\cos \theta_i}{\eta_1} \quad (\text{ค.18})$$

$$T_{\perp}^b \left( \frac{\eta_2 \cos \theta_i + \eta_1 \cos \theta_i}{\eta_1 \eta_2} \right) = \frac{2 \cos \theta_i}{\eta_1} \quad (\text{ค.19})$$

$$T_{\perp}^b = \frac{2 \eta_2 \cos \theta_i}{\eta_2 \cos \theta_i + \eta_1 \cos \theta_i} \quad (\text{ค.20})$$

จะได้ผลลัพธ์ดังนี้

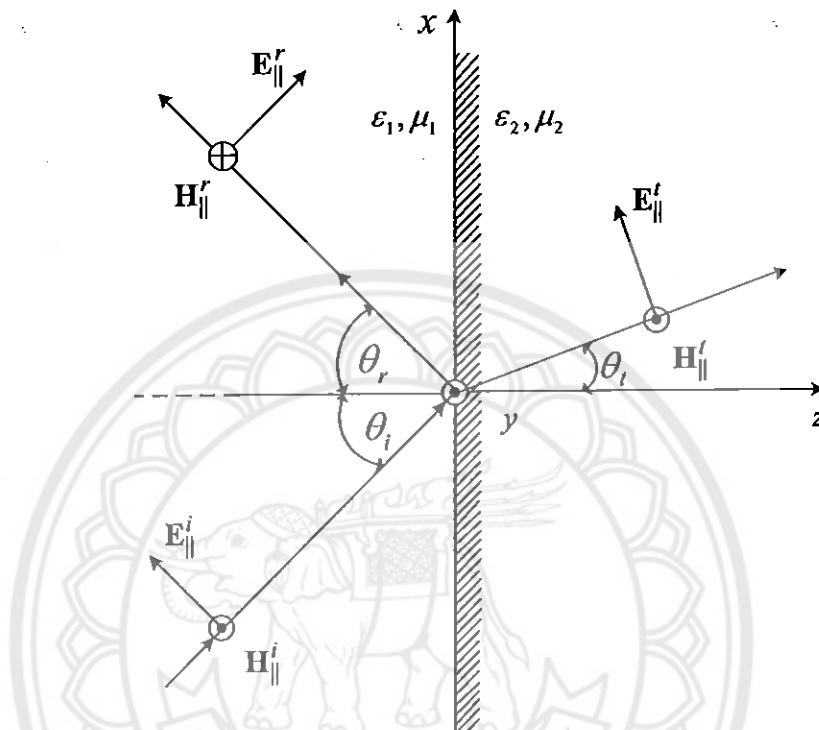
$$\Gamma_{\perp}^b = \frac{E'_{\perp}}{E'_{\perp}} = \frac{\eta_2 \cos \theta_i - \eta_1 \cos \theta_i}{\eta_2 \cos \theta_i + \eta_1 \cos \theta_i} = \frac{\sqrt{\frac{\mu_2}{\varepsilon_2}} \cos \theta_i - \sqrt{\frac{\mu_1}{\varepsilon_1}} \cos \theta_i}{\sqrt{\frac{\mu_2}{\varepsilon_2}} \cos \theta_i + \sqrt{\frac{\mu_1}{\varepsilon_1}} \cos \theta_i} \quad (\text{ค.21})$$

$$T_{\perp}^b = \frac{E'_{\perp}}{E'_{\perp}} = \frac{2 \eta_2 \cos \theta_i}{\eta_2 \cos \theta_i + \eta_1 \cos \theta_i} = \frac{2 \sqrt{\frac{\mu_2}{\varepsilon_2}} \cos \theta_i}{\sqrt{\frac{\mu_2}{\varepsilon_2}} \cos \theta_i + \sqrt{\frac{\mu_1}{\varepsilon_1}} \cos \theta_i} \quad (\text{ค.22})$$

เมื่อ  $\Gamma_{\perp}^b$  และ  $T_{\perp}^b$  เรียกว่าสัมประสิทธิ์การสะท้อนและสัมประสิทธิ์การส่งผ่าน ตามลำดับ

## ค.2 การโพลาไรซ์แบบขนาน

พิจารณาคลื่นรูปนาฬิกาสม่ำเสมอที่มีโพลาไรเซชันแบบขนานเดินทางทำมุนเอียงต่อกลับกันโดยต่อ  
ระหว่างตัวกลาง ดังแสดงดังรูปที่ ค.2



รูปที่ ค.2 คลื่นรูปนาฬิกาสม่ำเสมอที่มีการ โพลาไรซ์แบบขนานเดินทางทำมุนเอียงต่อกลับกันโดยต่อ

เมื่อแยกองค์ประกอบของสนามจะได้สนามไฟฟ้าต่อกลับกันและสนามแม่เหล็กต่อกลับกัน  
สมการต่อไปนี้

$$\mathbf{E}_{\parallel}^i = (\hat{\mathbf{a}}_x \cos \theta_i - \hat{\mathbf{a}}_z \sin \theta_i) E_0 e^{-j\beta_i r} \quad (ค.23)$$

$$= (\hat{\mathbf{a}}_x \cos \theta_i - \hat{\mathbf{a}}_z \sin \theta_i) E_0 e^{-j\beta_i (x \sin \theta_i + z \cos \theta_i)} \quad (ค.24)$$

และ

$$\mathbf{H}_{\parallel}^i = \hat{\mathbf{a}}_y H_{\parallel}^i e^{-j\beta_i r} = \hat{\mathbf{a}}_y \frac{E_0}{\eta_i} e^{-j\beta_i (x \sin \theta_i + z \cos \theta_i)} \quad (ค.25)$$

สำหรับองค์ประกอบของสนามสะท้อนจะเป็น

$$\mathbf{E}'_{\parallel} = (\hat{\mathbf{a}}_x \cos \theta_r + \hat{\mathbf{a}}_z \sin \theta_r) E' e^{-j\beta' \cdot \mathbf{r}} \quad (ก.26)$$

$$= (\hat{\mathbf{a}}_x \cos \theta_r + \hat{\mathbf{a}}_z \sin \theta_r) \Gamma_{\parallel}^b E_0 e^{-j\beta_1(x \sin \theta_r - z \cos \theta_r)} \quad (ก.27)$$

และ

$$\mathbf{H}'_{\parallel} = -\hat{\mathbf{a}}_y H'_{\parallel} e^{-j\beta' \cdot \mathbf{r}} = -\hat{\mathbf{a}}_y \frac{\Gamma_{\parallel}^b E_0}{\eta_1} e^{-j\beta_1(x \sin \theta_r - z \cos \theta_r)} \quad (ก.28)$$

และองค์ประกอบของสนามที่ส่งผ่านไปในตัวกลางที่สองจะแสดงได้ดังนี้

$$\mathbf{E}'_{\parallel} = (\hat{\mathbf{a}}_x \cos \theta_i - \hat{\mathbf{a}}_z \sin \theta_i) E'_{\parallel} e^{-j\beta^i \cdot \mathbf{r}} \quad (ก.29)$$

$$= (\hat{\mathbf{a}}_x \cos \theta_i - \hat{\mathbf{a}}_z \sin \theta_i) T_{\parallel}^b E_0 e^{-j\beta_2(x \sin \theta_i + z \cos \theta_i)} \quad (ก.30)$$

และ

$$\mathbf{H}'_{\parallel} = \hat{\mathbf{a}}_y H'_{\parallel} e^{-j\beta^i \cdot \mathbf{r}} = \hat{\mathbf{a}}_y \frac{T_{\parallel}^b E_0}{\eta_1} e^{-j\beta_2(x \sin \theta_i + z \cos \theta_i)} \quad (ก.31)$$

บังคับเงื่อนไขขอบเขต ความต่อเนื่องของสนามแม่เหล็กในแนวสัมผัสที่รอยต่อ ณ ตำแหน่ง  $z = 0$

$$\text{หรือ } [\mathbf{E}'_{\parallel} + \mathbf{E}'_{\parallel}]_{z=0} = \mathbf{E}'_{\parallel}|_{z=0} \text{ ทำให้ได้}$$

$$\frac{1}{\eta_1} - \frac{\Gamma_{\parallel}^b}{\eta_1} = \frac{T_{\parallel}^b}{\eta_2} \quad (ก.32)$$

บังคับเงื่อนไขขอบเขต ความต่อเนื่องของสนามแม่เหล็กในแนวสัมผัสที่รอยต่อ ณ ตำแหน่ง  $z = 0$

$$\text{หรือ } [\mathbf{H}'_{\parallel} + \mathbf{H}'_{\parallel}]_{z=0} = \mathbf{H}'_{\parallel}|_{z=0} \text{ ทำให้ได้}$$

$$\cos \theta_i + \Gamma_{\parallel}^b \cos \theta_r = T_{\parallel}^b \cos \theta_i \quad (ก.33)$$

แทน  $T_{\parallel}^b$  ใน (ก.23) ด้วย (ก.24) เพื่อหา  $\Gamma_{\parallel}^b$

$$\cos \theta_i + \Gamma_{\parallel}^b \cos \theta_i = \left( \frac{\eta_2 - \eta_2 \Gamma_{\parallel}^b}{\eta_1} \right) \cos \theta_i \quad (ก.34)$$

$$\cos \theta_i + \Gamma_{\parallel}^b \cos \theta_i = \frac{\eta_2 \cos \theta}{\eta_1} - \frac{\eta_2 \Gamma_{\parallel}^b \cos \theta_i}{\eta_1} \quad (ก.35)$$

$$\Gamma_{\parallel}^b \cos \theta_i + \frac{\eta_2 \Gamma_{\parallel}^b \cos \theta_t}{\eta_1} = \frac{\eta_2 \cos \theta}{\eta_1} - \cos \theta_i \quad (\text{ค.36})$$

$$\Gamma_{\parallel}^b \left( \frac{\eta_1 \cos \theta + \eta_2 \cos \theta_t}{\eta_1} \right) = \frac{\eta_2 \cos \theta - \eta_1 \cos \theta_t}{\eta_1} \quad (\text{ค.37})$$

$$\Gamma_{\parallel}^b = \frac{-\eta_1 \cos \theta_i + \eta_2 \cos \theta_t}{\eta_1 \cos \theta_i + \eta_2 \cos \theta_t} \quad (\text{ค.38})$$

แทน  $\Gamma_{\parallel}^b$  ใน (ค.27) ด้วย (ค.28) เพื่อหา  $T_{\parallel}^b$

$$\cos \theta_i + \left( 1 - \frac{\eta_1 T_{\parallel}^b}{\eta_2} \right) \cos \theta_t = T_{\parallel}^b \cos \theta_t \quad (\text{ค.39})$$

$$\cos \theta_i + \cos \theta_t - \frac{\eta_1 T_{\parallel}^b \cos \theta_t}{\eta_2} = T_{\parallel}^b \cos \theta_t \quad (\text{ค.40})$$

$$T_{\parallel}^b \left( \frac{\eta_2 \cos \theta_t}{\eta_2} + \frac{\eta_1 \cos \theta_t}{\eta_2} \right) = \frac{2 \eta_2 \cos \theta_t}{\eta_2} \quad (\text{ค.41})$$

$$T_{\parallel}^b = \frac{2 \eta_2 \cos \theta_t}{\eta_1 \cos \theta_i + \eta_2 \cos \theta_t} \quad (\text{ค.42})$$

จะได้ผลลัพธ์ดังนี้

$$\Gamma_{\parallel}^b = \frac{-\eta_1 \cos \theta_i + \eta_2 \cos \theta_t}{\eta_1 \cos \theta_i + \eta_2 \cos \theta_t} = \frac{-\sqrt{\frac{\mu_1}{\varepsilon_1}} \cos \theta_i + \sqrt{\frac{\mu_2}{\varepsilon_2}} \cos \theta_t}{\sqrt{\frac{\mu_1}{\varepsilon_1}} \cos \theta_i + \sqrt{\frac{\mu_2}{\varepsilon_2}} \cos \theta_t} \quad (\text{ค.43})$$

$$T_{\parallel}^b = \frac{2 \eta_2 \cos \theta_t}{\eta_1 \cos \theta_i + \eta_2 \cos \theta_t} = \frac{2 \sqrt{\frac{\mu_2}{\varepsilon_2}} \cos \theta_t}{\sqrt{\frac{\mu_1}{\varepsilon_1}} \cos \theta_i + \sqrt{\frac{\mu_2}{\varepsilon_2}} \cos \theta_t} \quad (\text{ค.44})$$

เมื่อ  $\Gamma_{\parallel}^b$  และ  $T_{\parallel}^b$  คือสัมประสิทธิ์การสะท้อนและสัมประสิทธิ์การส่งผ่าน ตามลำดับ พารามิเตอร์เหล่านี้เป็นพิเศษของ บุนเดสฟุตบอล บุนส่งผ่าน และคุณสมบัติของตัวกลางทั้งสอง



โครงการวิเคราะห์สัมประสิทธิ์การสะท้อนและการส่งผ่าน

## โปรแกรมวิเคราะห์สัมประสิทธิ์การสะท้อนและการส่งผ่าน

### โปรแกรมค่าสัมประสิทธิ์การสะท้อนและการส่งผ่าน

โปรแกรม MATLAB ได้รับการพัฒนาขึ้นเพื่อแสดงค่าสัมประสิทธิ์การสะท้อนและการส่งผ่านของคลื่นทางบทรอยต่อในลักษณะตั้งฉากจะอาศัยสมการ (2.31) ซึ่งเป็นโปรแกรมได้ดังนี้

```
%*****  
% Reflection and Transmission coefficient  
%*****  
  
max=80;  
min=1;  
num=101;  
step=(max-min)/(num-1);  
  
for ii=1:num  
    temp1=ii;  
    temp2=min+(ii-1)*step;  
    T(ii,1)=(2/(sqrt(temp1)+1));  
    E(ii,1)=temp2;  
  
    for jj=1:num  
        temp1=ii;  
        temp2=min+(jj-1)*step;  
        gamma(jj,1)=abs((1.sqrt(temp1))/(1+sqrt(temp1)));  
        E(jj,1)=temp2;  
  
    %%%%%%  
end
```

โปรแกรม MATLAB ได้รับการพัฒนาขึ้นเพื่อแสดงค่าสัมประสิทธิ์การสะท้อนในพจน์ของมุม  $\theta$ , และค่า  $\varepsilon_1$  และ  $\varepsilon_2$  และค่า  $\Gamma_1^b$  เป็นฟังก์ชันของมุมทางบทจะอาศัยสมการ (2.31) ซึ่งเป็นโปรแกรมได้ดังนี้

```
%*****
```

```
% Reflection coefficients for perpendicular polarization as a function
% of incident angle
%*****
max=pi/2;
min=0;
num=100;
step=(max-min)/(num-1);
e2e10=[2.56,4,9,16,25,81];
position1=[0.2,0.3,0.4,0.56,0.75,0.9];
figure(1)
hold on
for ii=1:length(e2e10)
    e2e1=e2e10(ii);
    for jj=1:num
        theta=min+(jj-1)*step;
        temp1=cos(theta).sqrt(e2e1)*sqrt(1.(1/e2e1)*sin(theta).^2);
        temp2=cos(theta)+sqrt(e2e1)*sqrt(1.(1/e2e1)*sin(theta).^2);
        temp3(jj)=abs(temp1./temp2);
        theta_now(jj)=theta*180/pi;
    end
%%%%%

```

การหาค่าสัมประสิทธิ์การส่งผ่านในพจน์ของมุม  $\theta_i$  และค่า  $\epsilon_1$  และ  $\epsilon_2$  และคงขนาดของ  $T_{\perp}^b$  เป็นฟังก์ชันของมุมตอกกระทนงจะอาศัยสมการ (2.31) ซึ่งเขียนโปรแกรมได้ดังนี้

```
%%%%%
% Transmission coefficients for perpendicular polarization of incident angle
%%%%%
max=pi/2;
```

```
min=0;
num=100;
step=(max,min)/(num,1);
e2e1=81;
for ii=1:num
    theta=min+(ii,1)*step;
    temp1=2*cos(theta);
    temp2=cos(theta)+sqrt(e2e1)*sqrt(1.(1/e2e1)*sin(theta).^2);
    temp3(ii)=abs(temp1./temp2);
    theta_now(ii)=theta*180/pi;
end
e2e1=25;
for ii=1:num
    theta=min+(ii,1)*step;
    temp1=2*cos(theta);
    temp2=cos(theta)+sqrt(e2e1)*sqrt(1.(1/e2e1)*sin(theta).^2);
    temp3(ii)=abs(temp1./temp2);
    theta_now(ii)=theta*180/pi;
end
e2e1=16;
for ii=1:num
    theta=min+(ii,1)*step;
    temp1=2*cos(theta);
    temp2=cos(theta)+sqrt(e2e1)*sqrt(1.(1/e2e1)*sin(theta).^2);
    temp3(ii)=abs(temp1./temp2);
    theta_now(ii)=theta*180/pi;
end
e2e1=9;
for ii=1:num
    theta=min+(ii,1)*step;
    temp1=2*cos(theta);
    temp2=cos(theta)+sqrt(e2e1)*sqrt(1.(1/e2e1)*sin(theta).^2);
```

```

temp3(ii)=abs(temp1./temp2);
theta_now(ii)=theta*180/pi;
end
e2e1=4;
for ii=1:num
    theta=min+(ii.1)*step;
    temp1=2*cos(theta);
    temp2=cos(theta)+sqrt(e2e1)*sqrt(1.(1/e2e1)*sin(theta).^2);
    temp3(ii)=abs(temp1./temp2);
    theta_now(ii)=theta*180/pi;
end
e2e1=2.56;
for ii=1:num
    theta=min+(ii.1)*step;
    temp1=2*cos(theta);
    temp2=cos(theta)+sqrt(e2e1)*sqrt(1.(1/e2e1)*sin(theta).^2);
    temp3(ii)=abs(temp1./temp2);
    theta_now(ii)=theta*180/pi;
end
%%%%%%%%%%%%%

```

การหาค่าสัมประสิทธิ์การสะท้อนของคลื่นรั้นainen ในพจน์ของมุม  $\theta_i$  และค่า  $\epsilon_1$  และ  $\epsilon_2$  แสดงขนาดของ  $\Gamma_{\parallel}^b$  เป็นฟังก์ชันของมุมต่อกรอบจะอาศัยสมการ (2.45) ซึ่งเขียนโปรแกรมได้ดังนี้

```

%*****
% Reflection coefficients for parallel polarization of incident angle
%*****
max=pi/2;
min=0;
num=100;

```

```

step=(max,min)/(num,1);
e2e1=4;
for ii=1:num
    theta=min+(ii,1)*step;
    temp1=.cos(theta)+sqrt(1/e2e1)*sqrt(1.(1/e2e1)*sin(theta).^2);
    temp2=cos(theta)+sqrt(1/e2e1)*sqrt(1.(1/e2e1)*sin(theta).^2);
    temp3(ii)=abs(temp1./temp2);
    theta_now(ii)=theta*180/pi;
end
e2e1=2.56;
for ii=1:num
    theta=min+(ii,1)*step;
    temp1=.cos(theta)+sqrt(1/e2e1)*sqrt(1.(1/e2e1)*sin(theta).^2);
    temp2=cos(theta)+sqrt(1/e2e1)*sqrt(1.(1/e2e1)*sin(theta).^2);
    temp3(ii)=abs(temp1./temp2);
    theta_now(ii)=theta*180/pi;
end
e2e1=9;
for ii=1:num
    theta=min+(ii,1)*step;
    temp1=.cos(theta)+sqrt(1/e2e1)*sqrt(1.(1/e2e1)*sin(theta).^2);
    temp2=cos(theta)+sqrt(1/e2e1)*sqrt(1.(1/e2e1)*sin(theta).^2);
    temp3(ii)=abs(temp1./temp2);
    theta_now(ii)=theta*180/pi;
end
e2e1=16;
for ii=1:num
    theta=min+(ii,1)*step;
    temp1=.cos(theta)+sqrt(1/e2e1)*sqrt(1.(1/e2e1)*sin(theta).^2);
    temp2=cos(theta)+sqrt(1/e2e1)*sqrt(1.(1/e2e1)*sin(theta).^2);
    temp3(ii)=abs(temp1./temp2);
    theta_now(ii)=theta*180/pi;

```

```

end

e2e1=25;

for ii=1:num

    theta=min+(ii.1)*step;

    temp1=.cos(theta)+sqrt(1/e2e1)*sqrt(1.(1/e2e1)*sin(theta).^2);

    temp2=cos(theta)+sqrt(1/e2e1)*sqrt(1.(1/e2e1)*sin(theta).^2);

    temp3(ii)=abs(temp1./temp2);

    theta_now(ii)=theta*180/pi;

end

e2e1=81;

for ii=1:num

    theta=min+(ii.1)*step;

    temp1=.cos(theta)+sqrt(1/e2e1)*sqrt(1.(1/e2e1)*sin(theta).^2);

    temp2=cos(theta)+sqrt(1/e2e1)*sqrt(1.(1/e2e1)*sin(theta).^2);

    temp3(ii)=abs(temp1./temp2);

    theta_now(ii)=theta*180/pi;

end

%%%%%%%%%%%%%%%

```

การหาค่าสัมประสิทธิ์การส่งผ่านของคลื่นในพจน์ของมุม  $\theta$ , และค่า  $\epsilon_1$  และ  $\epsilon_2$  แสดงขนาดของ  $\Gamma_{\parallel}^b$  เป็นฟังก์ชันของมุมตកะระทบจะอาศัยสมการ (2.46) ซึ่งเขียนโปรแกรมได้ดังนี้

```

%*****
% Transmission coefficients for parallel polarization of incident angle
%*****

max=pi/2;
min=0;
num=100;
step=(max-min)/(num.1);
e2e1=4;

```

```

for ii=1:num
    theta=min+(ii.1)*step;
    temp1=2*sqrt(1/e2e1)*cos(theta);
    temp2=cos(theta)+sqrt(1/e2e1)*sqrt(1.(1/e2e1)*sin(theta).^2);
    temp3(ii)=abs(temp1./temp2);
    theta_now(ii)=theta*180/pi;
end
e2e1=2.56;
for ii=1:num
    theta=min+(ii.1)*step;
    temp1=2*sqrt(1/e2e1)*cos(theta);
    temp2=cos(theta)+sqrt(1/e2e1)*sqrt(1.(1/e2e1)*sin(theta).^2);
    temp3(ii)=abs(temp1./temp2);
    theta_now(ii)=theta*180/pi;
end
e2e1=9;
for ii=1:num
    theta=min+(ii.1)*step;
    temp1=2*sqrt(1/e2e1)*cos(theta);
    temp2=cos(theta)+sqrt(1/e2e1)*sqrt(1.(1/e2e1)*sin(theta).^2);
    temp3(ii)=abs(temp1./temp2);
    theta_now(ii)=theta*180/pi;
end
e2e1=16;
for ii=1:num
    theta=min+(ii.1)*step;
    temp1=2*sqrt(1/e2e1)*cos(theta);
    temp2=cos(theta)+sqrt(1/e2e1)*sqrt(1.(1/e2e1)*sin(theta).^2);
    temp3(ii)=abs(temp1./temp2);
    theta_now(ii)=theta*180/pi;
end
e2e1=25;

```

```

for ii=1:num
    theta=min+(ii.1)*step;
    temp1=2*sqrt(1/e2e1)*cos(theta);
    temp2=cos(theta)+sqrt(1/e2e1)*sqrt(1.(1/e2e1)*sin(theta).^2);
    temp3(ii)=abs(temp1./temp2);
    theta_now(ii)=theta*180/pi;
end
e2e1=81;
for ii=1:num
    theta=min+(ii.1)*step;
    temp1=2*sqrt(1/e2e1)*cos(theta);
    temp2=cos(theta)+sqrt(1/e2e1)*sqrt(1.(1/e2e1)*sin(theta).^2);
    temp3(ii)=abs(temp1./temp2);
    theta_now(ii)=theta*180/pi;
end
%%%%%%%

```

โปรแกรมหาอินพุทสัมประสิทธิ์การสะท้อนที่ขากริชีการของความไม่ต่อเนื่องของอิมพีแคนซ์  
โดยอาศัยสมการ (2.79) สามารถเขียนโปรแกรมได้ดังนี้

```
%*****
```

```
% Magnitude of input reflection coefficient
```

```
%*****
```

```
e0=8.854e.12; %permittivity of free space
```

```
u0=4*pi*1e.7; %permeability of free space
```

```
c=299792458; %speed of light
```

```
d=0.9375/100; %the thickness of slab#2
```

```
%*****
```

```
% relative permittivity and permeability
%*****%
er1=1;
ur1=1;

er2=2.56;
ur2=1;

er3=1;
ur3=1;

%*****%
%intrinsic impedance
%*****%

n1=sqrt(ur1*u0/(er1*e0));
n2=sqrt(ur2*u0/(er2*e0));
n3=sqrt(ur3*u0/(er3*e0));

%*****%
%reflection coefficient
%*****%

gamma_12=(n2.n1)/(n2+n1);
gamma_23=(n3.n2)/(n3+n2);
min=5e9;
max=15e9;
num=101;
step=(max.min)/(num.1);
for ii=1:num
ff=min+(ii.1)*step;
```

```

beta2=(2*pi*ff)*sqrt(u0*e0)*sqrt(ur2*er2);
temp1=gamma_12+gamma_23*exp(j*2*beta2*d);
temp2=1+gamma_12*gamma_23*exp(j*2*beta2*d);
gamma_in=temp1/temp2;
abs_gamma_in(ii)=abs(gamma_in);
f(ii)=ff/1e9;

```

%%%%%%%%%%%%%%

โปรแกรมหาอินพุตสัมประสิทธิ์การสะท้อนที่หางากความไม่ต่อเนื่องของอินพีเดนซ์และวิธีอาศัยการติดตามรังสี โดยอาศัยสมการ (2.79) และ (2.90) สามารถเขียนโปรแกรมได้ดังนี้

%\*\*\*\*\*

% Magnitude of input reflection coefficient

%\*\*\*\*\*

e0=8.854e.12; %permittivity of free space

u0=4\*pi\*1e.7; %permeability of free space

c=299792458; %speed of light

d=0.9375/100; %the thickness of slab#2

%\*\*\*\*\*

% relative permittivity and permeability

%\*\*\*\*\*

er1=1;

ur1=1;

er2=2.56;

ur2=1;

er3=1;

ur3=1;

```

%*****
%intrinsic impedance

%*****

n1=sqrt(ur1*u0/(er1*e0));
n2=sqrt(ur2*u0/(er2*e0));
n3=sqrt(ur3*u0/(er3*e0));

%*****
%reflection coefficient
%*****



gamma_12=(n2.n1)/(n2+n1);
gamma_23=(n3.n2)/(n3+n2);
min=5e9;
max=15e9;
num=101;
step=(max.min)/(num.1);
for ii=1:num
ff=min+(ii.1)*step;
beta2=(2*pi*ff)*sqrt(u0*e0)*sqrt(ur2*er2);
temp1=gamma_12+gamma_23*exp(j*2*beta2*d);
temp2=1+gamma_12*gamma_23*exp(j*2*beta2*d);
gamma_in=temp1/temp2;
abs_gamma_in(ii)=abs(gamma_in);
f(ii)=ff/1e9;
end
er2=12;
ur2=1;
for ii=1:num
ff=min+(ii.1)*step;

```

```

beta2=(2*pi*ff)*sqrt(u0*e0)*sqrt(ur2*er2);
temp1=gamma_12+gamma_23*exp(j*2*beta2*d);
temp2=1+gamma_12*gamma_23*exp(j*2*beta2*d);
gamma_in=temp1/temp2;
abs_gamma_in(ii)=abs(gamma_in);
f(ii)=ff/1e9;

```

%%%%%%%%%%%%%

โปรแกรมหาผลของค่าคงตัวไฟฟ้า โดยอาศัยสมการ (2.43) สามารถเขียนโปรแกรมได้ดังนี้

```

%*****%
% Amplitude of electric field
%*****%

```

```

min=0;
num=100;
T=6;
max=1.5*T;
step=(max,min)/(num,1);
t1=0;
for ii=1:num
    x1=min+(ii,1)*step;
    z(ii,1)=cos(2*pi*x1/T.t1);
    t(ii,1)=x1;
end
t2=T/6;
for ii=1:num
    x1=min+(ii,1)*step;
    z(ii,1)=cos(2*pi*x1/T.t2);
    t(ii,1)=x1;
end

```

```
t3=T/3;
for ii=1:num
    x1=min+(ii.1)*step;
    z(ii,1)=cos(2*pi*x1/T.t3);
    t(ii,1)=x1;

%%%%%%%%%%%%%%%

```

โปรแกรมหาผลของค่าคงตัวการลดTHON โดยอาศัยสมการ (2.46) สามารถเขียนโปรแกรมได้ดังนี้

```
%*****
% Amplitude of electric field
%*****

max=9;
min=0;
num=501;
u1e1=3
u2e2=10
theta=pi/2
beta2=2*pi
step=(max,min)/(num.1);
for ii=1:num
    z1=min+(ii+1)*step;
    temp1=(u1e1/u2e2);
    temp2=(sin(theta)^2);
    alpha=sqrt(((beta2*temp1*temp2).1));
    y(ii,1)=exp(.alpha*z1);
    z(ii,1)=z1;

%%%%%%%%%%%%%%%

```